

ГЛАВНОЕ УПРАВЛЕНИЕ ГИДРОМЕТЕОРОЛОГИЧЕСКОЙ СЛУЖБЫ
ПРИ СОВЕТЕ МИНИСТРОВ СССР

ИНСТИТУТ ГЕОГРАФИИ АКАДЕМИИ НАУК СССР

РЕСУРСЫ ПОВЕРХНОСТНЫХ ВОД СССР

т. 16 - 5B16 - 70 в

КАТАЛОГ ЛЕДНИКОВ СССР

ТОМ 16 - 5B

АНГАРО-ЕНИСЕЙСКИЙ РАЙОН

ВЫПУСК 1

ЕНИСЕЙ

Части 3—5

ВЫПУСК 2

АНГАРА

Часть 1



ГИДРОМЕТЕОИЗДАТ
ЛЕНИНГРАД • 1973

ГЛАВНОЕ УПРАВЛЕНИЕ ГИДРОМЕТЕОРОЛОГИЧЕСКОЙ СЛУЖБЫ
ПРИ СОВЕТЕ МИНИСТРОВ СССР

ИНСТИТУТ ГЕОГРАФИИ АКАДЕМИИ НАУК СССР

РЕСУРСЫ ПОВЕРХНОСТНЫХ ВОД СССР

КАТАЛОГ ЛЕДНИКОВ СССР

ТОМ 16

АНГАРО-ЕНИСЕЙСКИЙ РАЙОН

ВЫПУСК 1

ЕНИСЕЙ

Часть 3

БАССЕЙНЫ РЕК КАЗЫРА, КАНА

Часть 4

БАССЕЙН р. КЕМЧИКА

Часть 5

БАССЕЙН ВЕРХОВЬЕВ р. ЕНИСЕЯ ВЫШЕ УСТЬЯ р. КЕМЧИКА

ВЫПУСК 2

АНГАРА

Часть 1

БАССЕЙНЫ ВЕРХОВЬЕВ РЕК ОКИ, УДЫ

В. И. СИЛЬНИЦКАЯ, Л. П. ЧЕРНОВА



ГИДРОМЕТЕОИЗДАТ

ЛЕНИНГРАД • 1973

Каталог ледников Восточного Саяна просмотрен и отредактирован в отделе гляциологии Института географии АН СССР. Каталог рекомендован к печати секцией гляциологии Междисциплинарного геофизического комитета при Президиуме АН СССР.

Ответственный редактор
М. Г. ГРОСВАЛЬД

Редактор
Г. И. КОНОВАЛОВА

В Каталоге дается характеристика географического положения, морфологии и режима ледников, климатических условий их существования. Подчеркиваются особенности поверхностного режима ледников, влияющие на режим рек, величину и распределение стока во времени. Приводятся сведения об экспедиционных исследованиях, проведенных на ледниках.

Рассчитан на географов, гляциологов, гидрологов, метеорологов.

АНГАРО-ЕНИСЕЙСКИЙ РАЙОН
(Саяны)

ВЫПУСК 1
ЕНИСЕЙ

Часть 3

БАССЕЙНЫ РЕК КАЗЫРА, КАНА

Часть 5

БАССЕЙН ВЕРХОВЬЕВ р. ЕНИСЕЯ ВЫШЕ УСТЬЯ р. КЕМЧИКА
ВЫПУСК 2

АНГАРА

Часть 1

БАССЕЙНЫ ВЕРХОВЬЕВ РЕК ОКИ, УДЫ

ПРЕДИСЛОВИЕ

Каталог ледников Ангаро-Енисейского района является частью многотомного издания «Каталога ледников СССР», входящего в свою очередь в качестве самостоятельного раздела в издание «Ресурсы поверхностных вод СССР».

Деление Каталога ледников СССР на тома, выпуски и части приведено ниже.

Настоящие Каталоги содержат данные о ледниках Восточного Саяна, расположенных на территории южной части Ангаро-Енисейского района, и составляют: вып. 1, часть 3 — Бассейны рек Казыра, Кана, часть 5 — Бассейн верховьев р. Енисея (выше устья р. Кемчика); и вып. 2, часть 1 — Бассейн верховьев рек Оки, Уды — издания «Каталог ледников СССР». Сведения о ледниках бассейна р. Кемчик в Шапшальском хребте Алтая (вып. 1, часть 4) помещены отдельно.

Ледники Восточного Саяна располагаются в бассейнах рек: Кок-Хем, Соруг, Чойган-Хем, Дотот, Кижи-Хем, Казыр, Проходной, Поселенки, Прорывы, Верхний Китат, Кизира, Пезо, Кан, Агул, Уды, Сенцы, Тиссы, Саган-Гол, Сорхой, Забит, Жохой, Белый Иркут; первые 14 рек относятся к бассейну Верхнего Енисея, остальные — к бассейну Ангарты.

Все морфометрические сведения о ледниках помещены в табл. I — Основные сведения о ледниках, которая является наиболее важной частью Каталога. Непосредственно за ней помещены пояснения.

Таблица II — Список гидрометеорологических станций в районе ледников — содержит сведения о станциях и постах, наблюдения которых могут быть использованы для характеристики режима и климатических условий существования ледников.

Таблица III — Список суммарных осадкомеров и снегомерных пунктов в районе ледников — в настоящем Каталоге отсутствует, так как подобных пунктов и осадкомеров в пределах рассматриваемых районов оледенения нет.

Таблица IV — Стационарные и экспедиционные исследования ледников — посвящена исследованиям, проведенным на ледниках или непосредственно к ним относящимся.

В таблице V приводится список работ, содержащих сведения о ледниках.

Все таблицы составлены в соответствии с «Руководством по составлению Каталога ледников». В тех случаях, когда на характеризуемые объекты имелись материалы аэрофотосъемки с пониженными возможностями для дешифрирования или при недостаточно достоверных сведениях о ледниках, соответствующие графы таблиц остались незаполненными.

Для подавляющего большинства ледников морфометрические данные основных таблиц Каталога были получены по крупномасштабным топографи-

ческим картам. При нанесении на карту специальной гляциологической нагрузки привлекались и широко использовались аэрофотосъемочные материалы. Перенесение контуров со снимков на карты производилось глазомерным способом. Ориентиром при этом служили элементы рельефа местности.

Гляциологическое дешифрирование аэрофотоснимков, необходимое для получения гляциологических характеристик, выполнено В. И. Сильницкой.

В Каталоге помещены схемы расположения ледников и фотографии. Схемы характеризуют положение ледников на местности. Нумерация ледников, принятая на схемах, сохраняется в тексте и во всех таблицах. Ввиду незначительности размеров ледников Восточного Саяна их изображение на схемах условно.

Так как описание оледенения Восточного Саяна относится к трем различным частям, входящим в разные выпуски тома 16, то и схемы расположения ледников и все основные таблицы приводятся для каждой части отдельно.

Помимо морфометрических данных, Каталог содержит краткую физико-географическую характеристику областей современного оледенения Восточного Саяна, составленную по литературным данным. Она дается для всего Восточного Саяна без разделения его на районы оледенения.

При нумерации ледников учитывалась их группировка по отдельным мелким речным бассейнам. Нумерация всякий раз начинается от ледника, расположенного в бассейне притока, наиболее удаленного от истоков основной реки. Сначала нумеровались ледники левобережья потока, потом — правобережья.

Так как территория Восточного Саяна имеет несколько районов оледенения, была установлена особая нумерация ледников для каждой части Каталога отдельно. Это позволило в таблицах сгруппировать и дать суммарные данные для отдельных бассейнов рек, а также для каждой части данного выпуска и по оледенению Восточного Саяна в целом.

Характеристика ледников дана по состоянию на 1965 г.

Методика картоизмерительных работ состояла в следующем. Прежде всего на топографической карте визуально наносились контуры и ось ледника. Как дополнительный материал использовались отдешифрированные снимки. Определение наибольшей длины ледника производилось при помощи измерителя по оси от конца ледника до верховьев самого длинного из питающих его ледниковых потоков. Раствор измерителя был равен 1—2 мм по поперечному масштабу.

Наибольшая длина открытой части ледника определялась по его оси от верховьев самого дли-

ного из питающих его ледниковых потоков до точки пересечения этой оси со сплошным чехлом моренного покрытия. Измерение каждого элемента производилось дважды в противоположных направлениях. Величина расхождения двух измерений не превышала 1% общей протяженности у ледников длиной не более 1,0 км и 2% у ледников длиной до 2,5 км. Длины ледника и открытой его части принимались как среднее арифметическое из двух измерений. Эти величины записывались в графах 6 и 7 табл. I с точностью до 0,1 км.

Измерение площади всего ледника и открытой его части выполнялось также на специально подготовленной топографической карте при помощи палеток. Применялись палетки с клетками размером 4 мм^2 , измерение каждого элемента производилось дважды. На ледниках площадью не более 0,5 км^2 величина расхождения из двух измерений не превышала 2% измеряемой площади. В том случае, когда площадь ледника колеблется в пределах 0,5—1,2 км^2 , эта величина составляет 1% измеряемой площади. За окончательную площадь ледника принималось среднее ее значение, полученное из двух равноточных измерений. Полученная величина с точностью до 0,1 км^2 вносилась соответственно в графы 8 и 9 табл. I.

Абсолютные высоты характерных точек ледника, а именно: низшей точки конца ледника — самой низшей точки его поверхности вблизи оси ледника, низшей точки его открытой части — точки пересечения продольной оси ледника со сплошным моренным покрытием и высшей точки ледника — самой высшей точки на поверхности ледника, определялись по крупномасштабным топографическим картам с точностью до 10 м и записывались соответственно в графы 10, 11, 12 табл. I.

Если определение какой-либо из морфологических характеристик оказывалось невозможным, то

в соответствующих графах табл. I (графы 6—12) ставился вопросительный знак. Если тот или иной элемент отсутствовал, в соответствующую графу табл. I вносился прочерк.

Высота фирновой линии определялась по внешнему виду поверхности ледника на аэрофотоснимках. Затем она визуально наносилась на откорректированное изображение ледника на топографической карте. Сведения о высоте фирновой линии изза отсутствия данных приводятся лишь для части ледников. Среднее ее значение приводится в графе 13 табл. I с точностью до 10 м. В случаях, когда выделенный объект находится целиком внутри области питания или абляции, вместо значения высоты фирновой линии ставился прочерк.

Графа 14 табл. I заполнялась согласно методическим указаниям, т. е. указывался способ и дата определения высоты фирновой линии.

Площади областей аккумуляции и абляции определялись на аэрофотоснимках с изображением ледников на конец периода таяния. Сведения в графах 15 и 16 табл. I даны на соответствующую дату аэрофотосъемки, указанную в графе 14.

Поскольку данные об объеме ледников отсутствуют, в графе 17 табл. I поставлен прочерк.

В графе 18 табл. I даются ссылки на данные о соответствующем леднике, содержащиеся в табл. IV и V.

Настоящий Каталог ледников составлен в отделе гляциологии Института географии АН СССР. Большую помощь в работе по дешифрированию аэрофотоснимков и выявлению границ зон льдообразования оказали сотрудники стереофотолаборатории того же института О. И. Ильина и Н. М. Сватков. В технической обработке материалов приняли участие А. М. Гринберг, Л. В. Рачкова и Е. Д. Никанорова

ДЕЛЕНИЕ КАТАЛОГА ЛЕДНИКОВ СССР НА ТОМА, ВЫПУСКИ И ЧАСТИ

Подразделение Каталога ледников СССР на тома и выпуски полностью соответствует подразделению на тома и выпуски издания «Ресурсы поверхностных вод СССР» (рис. 1). Этот справочник состоит из 20 томов, характеризующих вместе всю территорию Советского Союза. В основу разделения справочника на тома положен принцип принадлежности территории к крупным речным бассейнам.

Поскольку области современного оледенения

имеются не в каждом из 20 районов — томов издания «Ресурсы поверхностных вод СССР», Каталог ледников СССР составляется лишь на районы, охватываемые томами 1, 3, 8, 9, 13—17, 20 этого издания.

В связи с неравномерностью распределения оледенения по территории СССР в пределах выделенных томов и отдельных выпусков предусматривается издание нескольких частей Каталога ледников СССР (см. список).

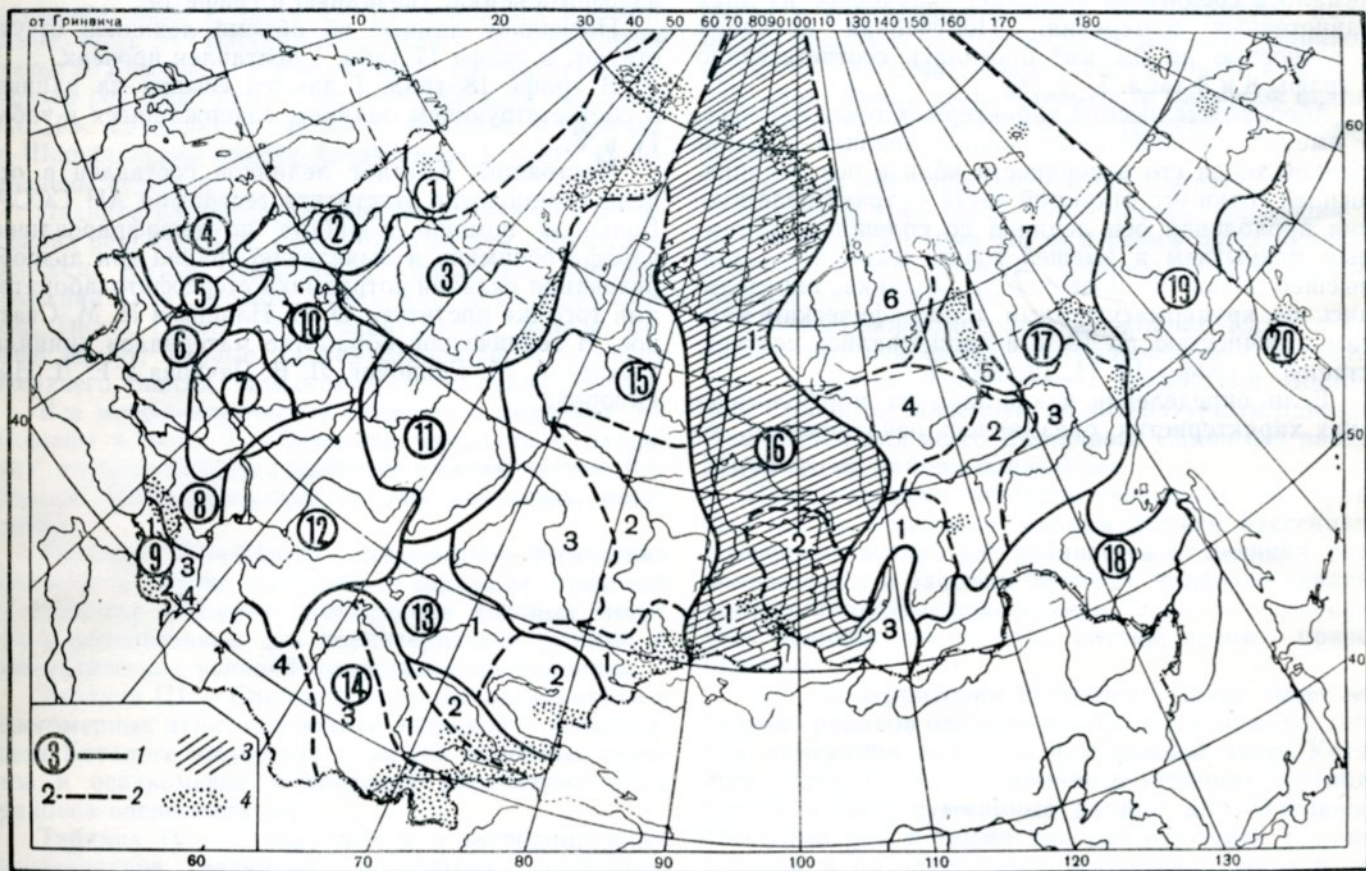


Рис. 1. Схема деления территории СССР на тома и выпуски Каталога ледников СССР.

1 — номера томов и границы отнесенных к ним территорий, 2 — номера выпусков и границы отнесенных к ним территорий, 3 — территории, сведения о которой включены в том 16, вып. 1, 2, 4 — районы современного оледенения.

СПИСОК ТОМОВ, ВЫПУСКОВ И ЧАСТЕЙ КАТАЛОГА ЛЕДНИКОВ СССР

Том 1. КОЛЬСКИЙ ПОЛУОСТРОВ

Часть 1. Хибинские горы (издано в 1966 г.)

Том 3. СЕВЕРНЫЙ КРАЙ

Часть 1. Земля Франца-Иосифа (издано в 1965 г.)

Часть 2. Новая Земля

Часть 3. Урал (издано в 1966 г.)

Том 8. СЕВЕРНЫЙ КАВКАЗ

- Часть 1. Бассейны рек Белой, Лабы, Урупа (издано в 1967 г.)
- Часть 2. Бассейны рек Большого Зеленчука, Малого Зеленчука (издано в 1967 г.)
- Часть 3. Бассейн р. Теберды (издано в 1967 г.)
- Часть 4. Бассейн верховьев р. Кубани (издано в 1967 г.)
- Часть 5. Бассейны рек Малки, Баксана (издано в 1970 г.)
- Часть 6. Бассейн р. Чегем
- Часть 7. Бассейн р. Черек

- Часть 8. Бассейн р. Урух
 Часть 9. Бассейн р. Ардон
 Часть 10. Бассейны рек Фиагдон, Гизельдон
 Часть 11. Бассейн верховьев р. Терека
 Часть 12. Бассейны правых притоков р. Сунжи

Том 9. ЗАКАВКАЗЬЕ И ДАГЕСТАН

Выпуск 1. Западное Закавказье

- Часть 1. Бассейн р. Мзымы
 Часть 2. Бассейн р. Бзыби
 Часть 3. Бассейн р. Келасури
 Часть 4. Бассейн р. Кодори
 Часть 5. Бассейн р. Ингури
 Часть 6. Бассейн р. Рioni
 Часть 7. Бассейны левых притоков р. Куры

Выпуск 2. Армения

- Часть 1. Бассейн р. Аракса

Выпуск 3. Дагестан

- Часть 1. Бассейн р. Сулака
 Часть 2. Бассейн р. Самура

Выпуск 4. Восточное Закавказье

- Часть 1. Бассейн р. Кусарчая

Том 13. ЦЕНТРАЛЬНЫЙ И ЮЖНЫЙ КАЗАХСТАН

Выпуск 2. Бассейн оз. Балхаш

- Часть 1. Бассейны левых притоков р. Или, от устья р. Курты до устья р. Тургень (издано в 1967 г.)
 Часть 2. Бассейн р. Чилик (издано в 1968 г.)
 Часть 3. Бассейны рек Чарын, Текес (издано в 1969 г.)
 Часть 4. Бассейны рек Хоргоса, Усека
 Часть 5. Бассейн р. Карагата
 Часть 6. Бассейны рек Бисен, Аксу, Лепсы (издано в 1970 г.)
 Часть 7. Бассейны рек Тентек, Ргайты (издано в 1969 г.)

Том 14. СРЕДНЯЯ АЗИЯ

Выпуск 1. Сырдарья

- Часть 1. Бассейн р. Пскем (издано в 1968 г.)
 Часть 2. Бассейн р. Чаткал (издано в 1970 г.)
 Часть 3. Бассейны правых притоков р. Нарына ниже устья р. Кёкемерен
 Часть 4. Бассейны правых притоков р. Нарына от устья р. Кёкемерен до устья р. Малого Нарына
 Часть 5. Бассейны правых и левых притоков верховьев р. Нарына
 Часть 6. Бассейн р. Атбashi
 Часть 7. Бассейны левых притоков р. Нарына от устья р. Атбashi до устья р. Карадары
 Часть 8. Бассейн р. Карадары
 Часть 9. Бассейны левых притоков р. Сырдарьи от устья р. Карадары до устья р. Аксу
 Часть 10. Бассейны левых притоков р. Сырдарьи от устья р. Аксу и ниже
 Часть 11. Бассейн р. Арысь

Выпуск 2. Киргизия

- Часть 1. Бассейны рек Ассы, Таласа (издано в 1968 г.)
 Часть 2. Бассейны левых притоков р. Чу ниже устья р. Ко-морчек
 Часть 3. Бассейн верховьев р. Чу
 Часть 4. Бассейны правых притоков р. Чу ниже Боамского ущелья (издано в 1969 г.)
 Часть 5. Реки бассейна оз. Иссык-Куль
 Часть 6. Бассейн р. Акшийрака (издано в 1970 г.)
 Часть 7. Бассейны правых притоков р. Сарыджаз между устьями рек Акшийрака и Куйлю (издано в 1969 г.)
 Часть 8. Бассейн верховьев р. Сарыджаз от устья р. Куйлю и выше
 Часть 9. Бассейны левых притоков р. Сарыджаз (реки Инылчек, Каинды, Каюкан)

- Часть 10. Бассейн р. Кокшаал (издано в 1971 г.)
 Часть 11. Реки бассейна оз. Чатыркель (издано в 1971 г.)

Выпуск 3. Амударья

- Часть 1. Бассейн верховьев р. Зеравшан от устья р. Фандары
 Часть 2. Бассейн р. Зеравшан ниже устья р. Фандары
 Часть 3. Бассейн р. Каракадары (издано в 1969 г.)
 Часть 4. Бассейн р. Сурхандары (издано в 1969 г.)
 Часть 5. Бассейн р. Кафирнигана
 Часть 6. Бассейн р. Сурхоб между устьями рек Обихингоу и ниже устья р. Муксу (издано в 1971 г.)
 Часть 7. Бассейн р. Кызылсу
 Часть 8. Бассейн р. Муксу (А — система ледника Федченко) (издано в 1968 г.)
 Часть 9. Бассейн р. Обихингоу
 Часть 10. Бассейны правых притоков р. Пяндж от устья р. Вахш до устья р. Ванч
 Часть 11. Бассейн р. Ванча
 Часть 12. Бассейн р. Язгулема
 Часть 13. Бассейн р. Бартанга
 Часть 14. Бассейн р. Мургаб
 Часть 15. Бассейн р. Гунта
 Часть 16. Бассейн верховьев р. Пяндж выше устья р. Гунт
 Часть 17. Реки бассейна оз. Кара-Куль
 Часть 18. Бассейн верховьев р. Маркансу

Том 15. АЛТАЙ И ЗАПАДНАЯ СИБИРЬ

Выпуск 1. Горный Алтай и Верхний Иртыш

- Часть 1. Бассейны левых притоков р. Иртыша (издано в 1969 г.)
 Част 2. Бассейн р. Кабы (издано в 1969 г.)
 Част 3. Бассейны рек Курчум, Бухтармы, Ульбы, Убы (издано в 1969 г.)
 Част 4. Бассейн верховьев р. Катуни
 Част 5. Бассейн р. Аргута
 Част 6. Бассейн р. Чуи
 Част 7. Бассейн р. Бин
 Част 8. Бассейны рек Кобдо, Караги

Том 16. АНГАРО-ЕНИСЕЙСКИЙ РАЙОН

Выпуск 1. Енисей

- Часть 1. Северная Земля
 Часть 2. Бассейн р. Таймыры
 Часть 3. Бассейны рек Казыра, Кана
 Часть 4. Бассейн р. Кемчика
 Часть 5. Бассейн верховьев р. Енисей выше устья р. Кемчик

Выпуск 2. Ангара

- Часть 1. Бассейн верховьев рек Оки, Уды

Том 17. ЛЕНО-ИНДИГИРСКИЙ РАЙОН

Выпуск 2. Средняя Лена

- Часть 1. Бассейны рек Чары и Витим (хребет Кодар) (издано в 1972 г.)

Выпуск 3. Алдан

- Часть 1. Бассейн р. Юдомы

Выпуск 5. Нижняя Лена

- Часть 1. Хараулахские горы
 Часть 2. Хребет Орулгана (издано в 1972 г.)

Выпуск 7. Яна, Индигирка

- Часть 1. Острова Де-Лонга
 Часть 2. Бассейн Средней Индигирки (хребет Черского)
 Часть 3. Бассейны левых притоков р. Индигирки, берущих начало на склонах хребта Сунтар-Хаята

Том 19. СЕВЕРО-ВОСТОК

- Часть 1. Остров Врангеля
 Часть 2. Бассейн р. Анадырь (хребет Пекульней)
 Часть 3. Бассейн р. Дельку (хребет Сунтар-Хаята)

Мурзак

Том 20. КАМЧАТКА

Часть 1. Корякский хребет

Часть 2. Бассейны рек западного побережья Камчатки (издано в 1968 г.)

Часть 3. Бассейн р. Камчатки (издано в 1968 г.)

Часть 4. Бассейны рек восточного побережья Камчатки (издано в 1968 г.)

СПИСОК ПРИНЯТЫХ СОКРАЩЕНИЙ

Учреждения и организации

АН СССР — Академия Наук СССР

ВАГТ — Всесоюзный аэрогеологический трест

ГУГК СССР — Главное управление геодезии и картографии при Совете Министров СССР

ЗСУГМС — Западно-Сибирское управление гидрометеорологической службы

ИГАН — Институт географии АН СССР

ИУГМС — Иркутское управление гидрометеорологической службы

КУГМС — Красноярское управление гидрометеорологической службы

МГГ — Международный геофизический год

МГУ — Московский государственный университет

НИИГА — Научно-исследовательский институт геологии Арктики

УГМС — Управление гидрометеорологической службы

РГО — Русское географическое общество

ВГО — Всесоюзное географическое общество

Типы ледников

асимм. кар. — асимметричные каровые; вис. — висячие; вис. (кар.) — висячие ледники каров; вис. кар. — висячие каровые; вис. переметн. — висячие переметные; дол. — долинные; кар. — каровые; кар.-вис. — карово-висячие; кар.-дол. — карово-долинные; кул. — ледники кулуаров; присклон. — присклоновые; прискл.-дол. — присклоново-долинные; прискл. кар. — присклоновые каровые; перем.-дол. — переметно-долинные.

Прочие сокращения

АФС — аэрофотосъемка; г. — гора; гпI, гпII, гпIII — гидрологический пост 1-го, 2-го, 3-го разряда; ледн. — ледник; мп — метеорологический пост; мст — метеорологическая станция; оз. — озеро; пр. — приток; р. — река; руч. — ручей; табл. — таблица; усл. — условно; хр. — хребет.

Бюо международн. размежев. в 30 км² (105 км²)
зар

в 600 км к сев от Байкала

ХАРАКТЕРИСТИКА ГЕОГРАФИЧЕСКОГО ПОЛОЖЕНИЯ, МОРФОЛОГИИ, КЛИМАТИЧЕСКИХ УСЛОВИЙ И РЕЖИМА ЛЕДНИКОВ

Общие сведения. Восточный Саян — горная страна, лежащая на южной окраине Сибири между долинами рек Енисея и Ангара. Она занимает южную часть Красноярского края и Иркутской области, северо-восток Тувинской и запад Бурятской АССР. Ее площадь превышает 150 000 км².

О существовании ледников в Восточном Саяне известно еще с прошлого столетия. Первым указал на наличие ледников в Саянах (массив Мунку-Сардык) Г. И. Радде в 1859 г.; позже эти ледники изучали Е. Де-Геннинг-Михэлис (1898) и С. П. Перетолчин (1908). В 1888 г. геолог Л. А. Ячевский обнаружил ледники на междуречье рек Тиссы и Сенцы и по реке Саган-Гол. В 1902 г. 4 ледника г. Мунку-Сардык видел В. Л. Комаров (1904). В 1925 г. Г. И. Стальновым обнаружены ледники в северо-западной части Восточного Саяна в истоках левого притока Белой — р. Орзагай.

В результате исследований в 40-х годах С. В. Обручев установил, что оледенением охвачена вся осевая часть Большого Саяна. В 1948 и 1949 гг. Ал. и Ан. Федоровы обнаружили ледники в Канском Белогорье. Позднее стало известно о существовании нескольких ледников в восточной части хр. Крыжина (вып. 1, часть 5, табл. V/2). И, наконец, полевые исследования, проведенные в 1953—1956 гг. М. Г. Гросвальдом и позднее Г. М. Томиловым, дополнили сведения о ледниках.

К 1963 г. на территории Восточного Саяна было известно 38 ледников общей площадью 16 км² (вып. 1, часть 5 и вып. 2, часть 1, табл. V/3).

После изучения материалов аэрофотосъемки можно говорить о существовании в пределах нагорья 107 ледников общей площадью 31,8 км² (вып. 1, часть 3, табл. V/4). В настоящем выпуске даны сведения о 105 ледниках общей площадью 30,3 км², так как 2 ледника, расположенные на южном склоне г. Мунку-Сардык, находятся на территории Монгольской Народной Республики.

Камеральное дешифрирование материалов аэрофотосъемки без полевой проверки не может полностью исключить некоторые ошибки — отдельные мелкие ледники могли быть приняты за снежники и не учтены, так же как некоторые крупные снежники могли быть приняты за ледники вследствие того, что аэрофотосъемка проведена в самом конце сезона аблации, вероятно, уже после первых снегопадов.

Рельеф. Средней высоты горная страна Восточный Саян простирается более чем на тысячу километров в юго-восточном направлении от левобережья Енисея в районе Красноярска до южной оконечности оз. Байкал, где Тункинская котловина отделяет ее от нагорья Хамар-Дабан (рис. 2).

Наиболее высокие массивы образуют главный водораздельный хребет в основном юго-восточного простирания, от которого к северу, западу и югу отходят многочисленные отроги, разделенные глубокими речными долинами. Долины восточного склона принадлежат речной системе Ангары, а долины западного и северного склонов — рекам системы верхнего Енисея. Непосредственным водоразделом между двумя этими бассейнами служит один из северных меридиональных отрогов — Агульский хребет.

Полоса высоких хребтов на северо-западе начинается Манским Белогорьем, ее продолжением на востоке являются Канское Белогорье и Агульские Белки. Далее к юго-востоку в верховьях Кизира, Казыра и Уды располагается мощный горный узел, в котором сходятся хребты Крыжина, Ергак-Таргак-Тайга и Большой Саян. К нему приурочен один из районов современного оледенения (25% всех ледников нагорья).

Другой крупный горный узел с современным оледенением располагается южнее, там, где к южной оконечности Большого Саяна подходит с запада хребет Орангы-Ула. Большой Саян имеет здесь меридиональное направление, и лишь южнее в верховьях рек Иркут и Оки простижение основных хребтов вновь становится юго-восточным. На этом участке в горной группе Мунку-Сардык также имеется несколько небольших ледников.

Высота хребтов увеличивается с северо-запада на юго-восток. Максимальные отметки Манского Белогорья не превышают 1800 м, в Канском Белогорье уже имеются вершины выше 2000 м (г. Пирамида, 2256 м), на меридиональном отрезке Большого Саяна они достигают высоты 3000 м (пик Топографов, 3044 м), а на самом юго-востоке пик Мунку-Сардык имеет отметку 3491 м.

Современное распределение высот отражает особенности геологического строения и геологической истории нагорья. Докембрийский складчатый массив Восточного Саяна, сложенный толщами мраморов, гнейсов, метаморфических сланцев, прорванных многочисленными интрузиями преимущественно гранитного состава, к концу третичного периода представлял пенеплен. Формирование современного рельефа связано с альпийским тектогенезом, во время которого пенеплен испытал поднятие, наиболее интенсивные в юго-восточной части Восточного Саяна, в результате чего образовался крупный, сравнительно узкий (200—300 км шириной) мегантеклиниорий с крутым северо-восточным и пологим юго-западным крылом. Поднятие сопровождалось глыбовыми перемещениями и излияниями базальтов. Крупные хребты представляют собой своды большого радиуса кривизны, разбитые разломами

102

100

98

96

94

54°

2875

51°

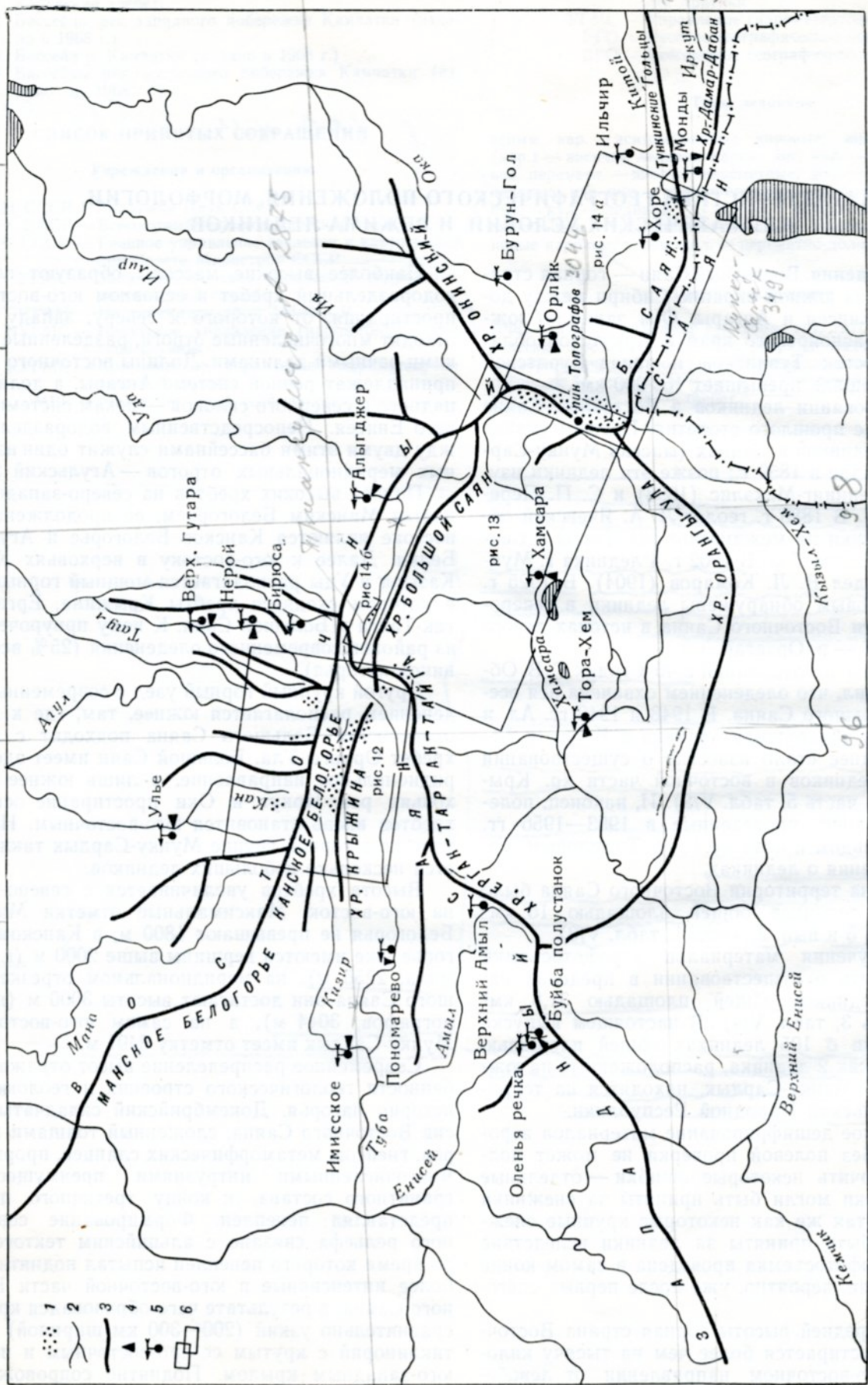


Рис. 2. Схема расположения ледниковых районов и гидрометеостанций Восточного Саяна.

1 — район расположения ледников, 2 — река, 3 — хребет, 4 — гидрометеорологические станции и посты, 5 — границы схем расположения ледников отдельных частей каталога.

на системы ступеней. Участки древней денудационной поверхности, отстававшие в поднятии, образуют обширные, слаборасчлененные плато, покрытые местами базальтовыми лавами. Поднятие осевой части продолжается и сейчас. Большая часть Восточного Саяна лежит в зоне землетрясений 6—8 баллов, юго-восточная часть — в зоне 9 баллов.

Наименее приподнятые плосковерхие хребты — «белогорья» — расположены в северо-западной части Саян. Над ними возвышаются округлые, лишенные лесной растительности вершины — «гольцы». Глубокие врезы речных долин резко контрастируют с мягкими округлыми формами водоразделов.

Для расположенных южнее более высоких хребтов характерен альпийский рельеф с ярко выраженным следами древнего оледенения — оглаженными скалами, ледниковой штриховкой, висячими долинами притоков, моренными отложениями на дне долин. Состав и строение ледниковых отложений, по мнению М. Г. Гросвальда (вып. 1, часть 5, вып. 2, часть 1, табл. V/4) (1965), свидетельствуют о наличии трех четвертичных оледенений в Саяно-Тувинском нагорье, причем во время максимального оледенения ледяной покров опускался до высот 800—900 м — уровня современного степного пояса.

В Восточном Саяне четко прослеживается высотная поясность природных условий. Здесь хорошо выражены три природных пояса: степной (до высот 1000—1500 м), таежный, распространенный на большей части территории, на северо-западе до высоты 1500 м, а на юго-востоке до 1800—2000 м, и высокогорный, где господствуют горные тундры и интенсивно идут процессы морозного выветривания и солифлюкции. Здесь широко распространены каменные венцы, многоугольники, пятна-медальоны, а также курумы и каменные глетчеры; большие площади занимают многолетнемерзлые породы (мощность их измеряется первыми сотнями метров), опускающиеся иногда значительно ниже границы высокогорного пояса. К разломам приурочены сравнительно небольшие, но многочисленные наледи.

Именно в этом поясе в интервале высот 1400—2800 м на северо-западе и 2800—3200 м на юго-востоке расположены современные ледники нагорья, занимающие в основном кары и цирки, созданные древним оледенением.

Климат. На Восточном Саяне нет ни одной метеорологической станции вблизи ледников (см. рис. 2), поэтому для описания климата высокогорья и среднегорья в основном использовались данные метеостанций среднегорья. Климат межгорных котловин (мст Монды, Хамсара, Тора-Хем) своей крайней сухостью, теплым летом, малоснежной зимой представляет прямую противоположность климатическим условиям высокогорья. Отметим в качестве примера, что над среднегорьем в течение многих часов могут выпадать конвективные осадки, в то время как над межгорными котловинами стоит ясная сухая погода.

В целом Восточный Саян расположен в сфере действия ветров западного переноса. Поэтому на западных и северо-западных склонах выпадает в среднем около 700 мм осадков, а на плоскогорьях юго-востока годовые суммы осадков не превышают 300—400 мм. Максимум осадков приходится на летние месяцы, их приносят приходящие с запада, северо-запада, а иногда с юга циклоны.

Режим осадков высокогорья почти не изучен. По данным Н. А. Ефимцева (вып. 1, часть 5, табл. V/7), на высоте более 2600 м выпадение жидкого осадков часто с градом наблюдается только в июле—августе, однако и в это время обычны снегопады. М. Г. Гросвальд (вып. 1, часть 5, вып. 2, часть 1, табл. V/4), по данным В. А. Скорнякова о стоке (вып. 1, часть 5, табл. V/12), определил их сумму в верховьях Кизира и Казыра в 1800—1850 мм, а в истоках Бий-Хема и Хамсары в 1350—1400 мм. По данным Г. М. Томилова (вып. 1, часть 5, табл. V/14; вып. 2, часть 1, табл. V/19), в районе пика Топографов выпадает 1000—1500 мм осадков.

Таким образом, количества выпадающих в центральных частях Восточного Саяна осадков вполне достаточно для существования здесь оледенения. В холодную часть года на территории преобладает холодная тихая ясная погода. Прохождение фронтов обычно сопровождается резкими колебаниями погоды — температура изменяется на десятки градусов в течение нескольких часов, резко меняется направление ветра и его скорость, которая в январе может достигать 15—17 м/сек. На западных склонах хребтов выпадает 30—40 мм осадков в месяц, с высотой их количество растет.

Весной количество осадков быстро возрастает в связи с увеличением влагосодержания воздуха и усилением циклонической деятельности. В мае в зависимости от экспозиции выпадает от 40 до 100 мм.

Весьма важную роль в климате играют вторжения арктического воздуха, создающие резкие колебания температуры, особенно в переходные сезоны. С циклонами арктического фронта связано чаще всего выпадение осенних осадков. В сентябре и октябре выпадает не меньше осадков, чем в летние месяцы, но температура при этом значительно ниже, меняется также и характер осадков: они становятся менее интенсивными и более продолжительными. В высокогорье это снегопады, создающие основные запасы снега.

В среднегорье устойчивый снежный покров ложится уже в начале октября. Восточные плоскогорья малоснежны (мощность снежного покрова 5—20 см). На западном склоне Восточного Саяна мощность снега достигает 1—1,5 м, местами и более. Здесь наблюдаются снежные лавины. Значительные скорости ветра приводят к перераспределению снежного покрова. Большие скопления снега на перевалах, особенно на подветренной восточной стороне, образуют многометровые снежные надувы. Большинство ледников нагорья также имеют восточную и северо-восточную ориентацию. В центральных частях на высотах более 2500 м снежные «забои» не ставят круглый год. Многочисленные пятна снежников на темном фоне скал — характерный летний ландшафт высокогорья. Большая часть снега ставит лишь в начале августа, и в этом же месяце выпадает новый снег.

Зима в высокогорье суровая и продолжительная, морозы доходят до 40° . Средняя годовая температура на западных склонах Западного Саяна около $-3,8^{\circ}$, в центральной части она понижается до $-5,4^{\circ}$ (мст Буйба полустанок, 1256 м), а по расчетам Г. М. Томилова (вып. 1, часть 5, табл. V/14; вып. 2, часть 1, табл. V/19), в центральных частях Восточного Саяна она приближается к -10° . По данным Б. П. Алисова (вып. 1, части 3 и 5, вып. 2, часть 1, табл. V/1), средняя температура января падает

с высотой на $0,2^{\circ}$ на каждые 100 м высоты, а средняя температура июля — на $0,7^{\circ}$. Безморозный период длится в среднегорье 100—110 дней. В отдельные летние дни температура может повышаться до 20—25°. Ночные же температуры часто отрицательны, в центральных частях территории морозы могут наблюдаваться в любую ясную ночь.

Реки. Реки западного и восточного склонов Восточного Саяна имеют разные режимы питания (табл. 1).

Таблица 1

Режим питания рек Восточного Саяна
по данным Л. К. Давыдова (вып. 1, части 3 и 5,
вып. 2, часть 1, табл. V/6)

Склон	Река	Режим питания, %			Слой стока, мм
		снего-вой	дожде-вой	грунто-вой	
Западный	Енисей	47	37	16	300—350
	Тубы	51	31	18	788
	Кан	48	32	20	340
	Ока	17	67	16	200
	Уда	19	66	15	293

Реки, стекающие с западного склона, относятся к категории рек либо преимущественно снегового питания (верховья рек Тубы, Каны), либо смешанного с преобладанием снегового (Верхний Енисей). Первые относятся к алтайскому типу питания (с гребенчатым летним половодьем, растягивающимся до конца лета вследствие разновременности таяния снега в различных высотных зонах), вторые — к восточносибирскому (с высоким весенним половодьем, систематическими летне-осенними паводками и низким стоком зимой). Летняя межень у этих рек отсутствует.

На восточном склоне подавляющая часть осадков выпадает летом в виде дождей. Здесь преобладают реки дальневосточного типа питания (вып. 1, часть 5, табл. V/6). Водный режим рек характеризуется высокими летними паводками, осенней меженем и незначительным зимним стоком. С июля по август реки проносят до 60% годового стока. В этот период проходит несколько непродолжительных паводков, отличающихся резкими подъемами и спадами, с амплитудой колебания 4—5 м.

Большая часть зимнего стока рек, в особенности по малым притокам, аккумулируется в виде многочисленных наледей. Незначительный по мощности снежный покров под действием солнечной радиации большей частью испаряется задолго до наступления паводков. Поэтому наледи становятся эффективным источником питания и играют существенную роль в паводочном стоке. Озера среднегорья и высокогорья не оказывают существенного влияния на сток. По большей части это мелкие каровые, моренные или подпруженные моренами озера.

Условия стока в Восточном Саяне весьма благоприятны. Район покрыт густой речной сетью ($0,5$ — $0,6$ км/км 2). Модуль годового стока рек увеличивается вверх по течению с переходом от степных предгорных котловин к горной тайге и высокогорным тундрям от 6—10 (слой стока 180—300 мм) до 10—15 л/сек. км 2 (300—350 мм).

По данным В. А. Скорнякова (вып. 1, часть 5, табл. V/12), два района отличаются наиболее высокими (30 — 40 л/сек. км 2) модулями стока: 1) верховья бассейна Тубы, где идущие с запада и северо-запада воздушные массы заходят как бы в мешок, образованный сходящимися здесь Западным и Восточным Саянами; 2) юго-восточная часть бассейна Бий-Хема, где на западных склонах меридионального отрезка Большого Саяна оставляют свою влагу воздушные массы, проникающие сюда с запада благодаря понижению осевого хребта Западного Саяна на водоразделе рек Амыла и Систиг-Хема.

Именно к этим двум районам тяготеет большинство современных ледников Восточного Саяна (см. рис. 2). Существенного влияния на сток они не оказывают.

Морфология и режим ледников. Современное оледенение Восточного Саяна в границах СССР занимает площадь, равную $30,3$ км 2 . Размеры ледников невелики. Сравнительно крупные ледники немногочисленны: из 105 ледников лишь 4 более 1,0 км 2 каждый и 9 ледников имеют площадь 0,7—1,0 км 2 (табл. 2).

Таблица 2

Распределение ледников Восточного Саяна по речным бассейнам

Бассейн	Общее количество ледников	Из них имеют площадь, км 2					Общая площадь ледников, км 2
		более 1,0	1,0—0,7	0,6—0,4	0,3—0,1	менее 0,1	
Рек Казыра, Кана Верховьев р. Енисея выше устья р. Кемчика . .	33	1	5	66	19	2	12,3
Верховьев рек Оки, Уды	28	1	1	3	16	7	6,6
Итого	44	2	3	3	23	13	11,4
	105	4	9	72	58	22	30,3

В Саянах преобладают малые ледники. Около 20% ледников не превышают 0,1 км 2 каждый. Соответственно требованию «Руководства по составлению каталога ледников СССР» в данном Каталоге охарактеризованы ледники, площадь которых превышает 0,1 км 2 .

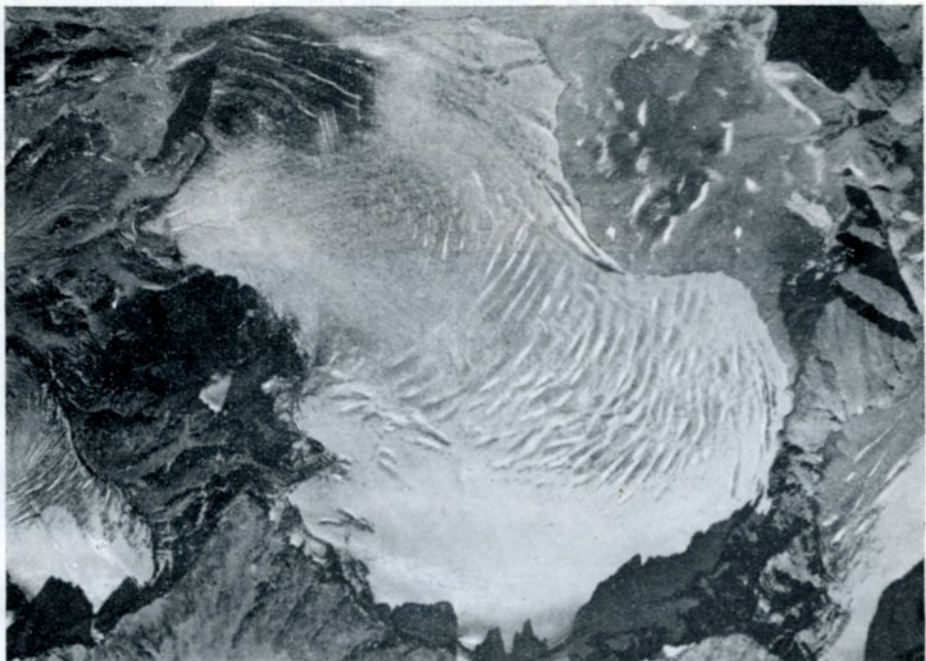
Их насчитывается 83 общей площадью 29,1 км 2 (табл. 3).

Таблица 3

Распределение оледенения Восточного Саяна по речным бассейнам

Бассейн	Общее количество ледников	Площади оледенения в каждой из групп, км 2				Наибольшая площадь ледника, км 2	Общая площадь ледников, км 2
		более 1,0	1,0—0,7	0,6—0,4	0,3—0,1		
Рек Казыра, Кана Верховьев р. Енисея выше устья р. Кемчика . .	31	1,2	3,6	2,8	4,6	1,2	12,2
Верховьев рек Оки, Уды	21	1,4	0,8	1,6	2,4	1,4	6,2
Итого	83	2,5	2,1	1,6	4,5	1,3	10,7
		5,1	6,5	6,0	11,5		29,1

Рис. 3. Караво-долинный ледник Августа в верховьях р. Кок-Хем.



83
12/105

Рис. 4. Долинный ледник Ячевского в верховьях р. Хэлгин у пика Топографов.

Самым крупным ($1,4 \text{ км}^2$) ледником Восточного Саяна является карово-долинный ледник № 3 (рис. 3), расположенный в истоках р. Кок-Хем (верховья Большого Енисея), который авторы предлагают назвать ледником Авгевича в память профессора Витольда Ивановича Авгевича — бывшего руководителя стереофотограмметической лаборатории Института географии АН СССР.

прислоновые и висячие. Из них наиболее многочисленны каровые ледники. Они округлы в плане и занимают, как правило, лишь часть каров, выработанных древним оледенением (рис. 5). Средняя площадь карового ледника около $0,3 \text{ км}^2$.

Карово-долинные ледники (рис. 6) превосходят по размеру каровые (средняя площадь ледника $0,6 \text{ км}^2$). Они малочисленны, так же как и наиболее



Рис. 5. Каровый ледник № 5 в истоках правого притока р. Прокходной.

Наибольшей длиной (2,7 км) обладает долинный ледник № 20 (рис. 4) в бассейне р. Хэлгин (левый приток р. Тиссы, пик Топографов). Его мы предлагаем назвать ледником Ячевского в память о гео-

крупные ледники Восточного Саяна — долинные ледники (со средней площадью $0,8 \text{ км}^2$). Довольно часто встречаются прислоновые ледники, образующие полосы в ветровой или световой тени склонов и вы-



Рис. 6. Карово-долинный ледник Вологдина в истоках р. Поселенки.

логе Л. А. Ячевском — первом исследователе, установившем относительно широкое распространение ледников в центральной части Восточного Саяна.

Ледники нагорья занимают кары и короткие троговые долины, расчленяющие высокогорные, типично альпийские хребты и пики, реже они располагаются на склонах гольцовых массивов. В Восточном Саяне встречаются ледники пяти морфологических типов: каровые, карово-долинные, долинные,

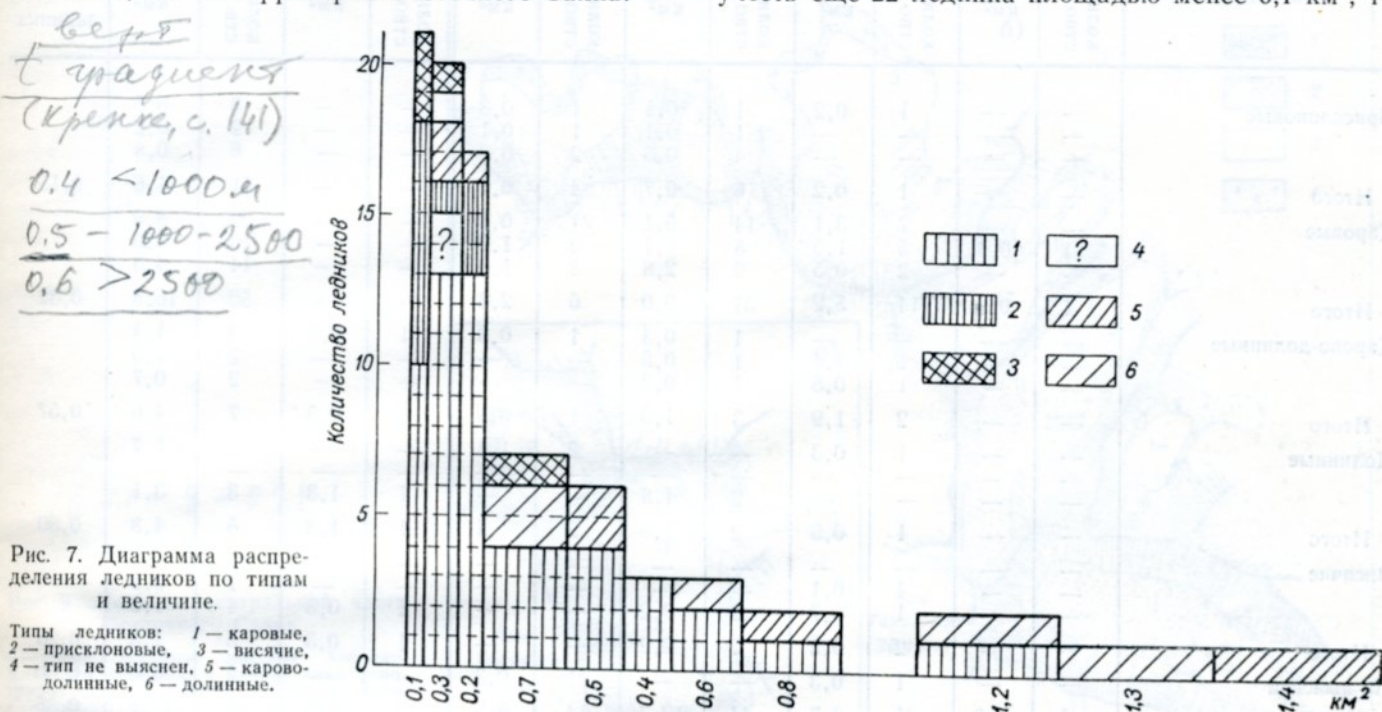
тянутые вдоль их подножия. Это самые маленькие леднички (в основном $0,1—0,2 \text{ км}^2$).

Соотношение площадей и количества ледников разных типов и размеров показано на рис. 7. Ширина столбика пропорциональна площади одного ледника, а по вертикальной оси отложено количество ледников, причем вертикальный и горизонтальный масштабы подобраны таким образом, что площадь, занимаемая каждым столбцом адекватна пло-

щади соответствующей группе ледников, т. е. по гистограмме можно подсчитать и площадь, и количество ледников любой группы; фоновой закраской показано разделение ледников на типы. Анализ гистограммы, а также табл. 4 позволяет сделать заключение, что на территории Восточного Саяна:

5) не определен тип у двух ледников (2% площади оледенения, 2% количества ледников);

6) преобладающие в Саянах малые ледники ($0,1-0,3 \text{ км}^2$ каждый) составляют 76% числа ледников и занимают 40% площади оледенения, а если учесть еще 22 ледника площадью менее $0,1 \text{ км}^2$, то

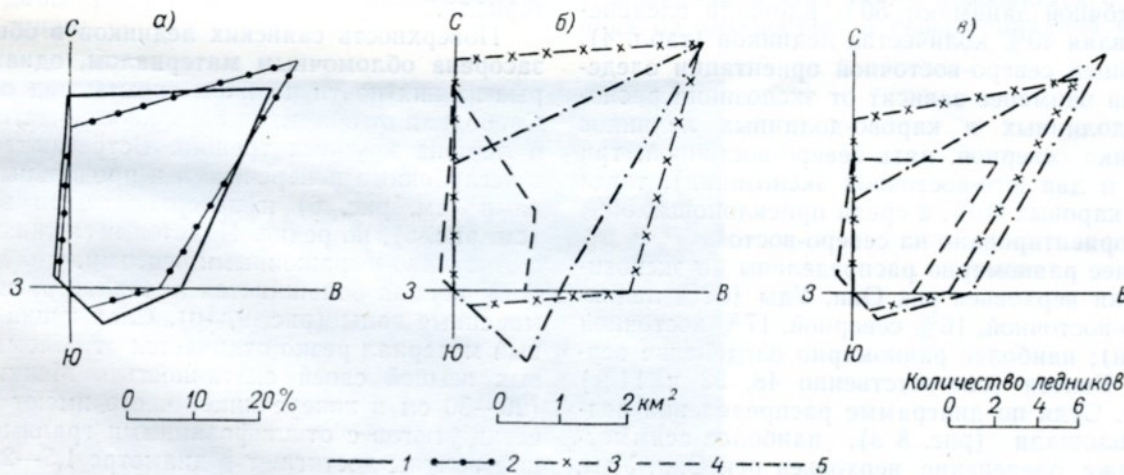


1) резко преобладают каровые ледники (63% числа ледников, 58% площади оледенения);

2) долинные и карово-долинные ледники занимают всего 30% площади оледенения вследствие как своей малочисленности (16% числа ледников), так и относительно небольших размеров (минималь-

из 105 существующих в Саянах ледников более 80% составят ледники с площадью, не превышающей $0,3 \text{ км}^2$.

Характерная черта оледенения Восточного Саяна — преимущественно северо-восточная ориентация ледников: 95% ледников нагорья имеют север-



ный размер $0,2 \text{ км}^2$, максимальный $1,4 \text{ км}^2$), хотя и являются самыми крупными ледниками района;

3) незначительные по размеру прислоновые ледники составляют 13% числа ледников, занимая 6% площади оледенения ($1,6 \text{ км}^2$);

4) самые малочисленные (6% количества ледников) висячие ледники занимают площадь $1,3 \text{ км}^2$ (4% площади оледенения);

южную, северо-восточную и восточную экспозиции, причем на северо-восток обращено 55% всех ледников. На северо-запад ориентирован один каровый ледник площадью $0,3 \text{ км}^2$, на юго-восток обращено три ледника (небольшие карово-долинный и висячий и самый длинный ледник нагорья — долинный ледник Ячевского).

На юг, юго-запад и запад не экспонировано ни

Таблица 4

Соотношение площадей (км^2) и количества ледников разных типов и экспозиций

Тип ледника	СЗ		С		СВ		В		ЮВ		Всего		Средний размер ледника
	количество	км^2											
Присклоновые	—	—	1	0,2	1	0,1	1	0,3	—	—	3	0,6	
	—	—	—	—	1	0,1	1	0,1	—	—	2	0,2	
	—	—	—	—	4	0,5	2	0,3	—	—	6	0,8	
Итого	—	—	1	0,2	6	0,7	4	0,7	—	—	11	1,6	0,15
Каровые	—	—	7	3,1	14	5,1	1	0,3	—	—	22	8,5	
	1	0,3	5	1,6	8	1,1	2	1,0	—	—	16	4,0	
	—	—	2	0,5	9	2,8	3	1,0	—	—	14	4,3	
Итого	1	0,3	14	5,2	31	9,0	6	2,3	—	—	52	16,8	0,32
Карово-долинные	—	—	—	—	1	0,3	1	0,8	1	0,3	3	1,4	
	—	—	1	1,4	1	0,5	—	—	—	—	2	1,9	
	—	—	1	0,5	1	0,2	—	—	—	—	2	0,7	
Итого	—	—	2	1,9	3	1,0	1	0,8	1	0,3	7	4,0	0,57
Долинные	—	—	1	0,3	—	—	2	1,4	—	—	3	1,7	
	—	—	—	—	—	—	—	—	—	—	—	—	
	—	—	—	—	2	1,8	—	—	1	1,3	3	3,1	
Итого	—	—	1	0,3	2	1,8	2	1,4	1	1,3	6	4,8	0,80
Висячие	—	—	—	—	—	—	—	—	—	—	—	—	
	—	—	1	0,1	—	—	—	—	—	—	1	0,1	
	—	—	1	0,7	2	0,2	—	—	1	0,3	4	1,2	
Итого	—	—	2	0,8	2	0,2	—	—	1	0,3	5	1,3	0,26
Не выяснен	—	—	1	0,3	—	—	1	0,3	—	—	2	0,6	0,30
Всего	1	0,3	21	8,7	44	12,7	14	5,5	3	1,9	83	29,1	0,35

одного ледника (рис. 8 а). Заметим, что наиболее многочисленные ледники северо-восточной экспозиции относительно невелики (55% общего числа ледников, 45% площади оледенения), тогда как северной и восточной занимают 50% площади оледенения, составляя 40% количества ледников (табл. 4).

При общей северо-восточной ориентации оледенения Саян наименее зависит от экспозиции расположение долинных и карово-долинных ледников (три ледника северной, пять северо-восточной, три восточной и два юго-восточной экспозиции), тогда как среди каровых 60%, а среди присклоновых 55% ледников ориентировано на северо-восток.

Наименее равномерно распределены по экспозиции ледники верховьев рек Оки, Уды (60% ледников северо-восточной, 16% северной, 17% восточной экспозиции); наиболее равномерно оледенение верховьев р. Енисея (соответственно 48, 33 и 14%) (рис. 8 б). Судя по диаграмме распределения ледников по площади (рис. 8 в), наиболее асимметрично также оледенение верховьев рек Оки, Уды, а наибольшую площадь занимает расположение на самом северо-западе оледенение верховьев рек Казыр, Кан, где самая большая средняя площадь ледника и ледники расположены низко (см. ниже).

Учитывая расположение района в зоне преобладания ветров западного переноса и приуроченность оледенения к горным узлам, открытым западным ветрам, можно с уверенностью говорить о том, что в существовании саянских ледников самую важную роль играет орография. В результате влияния орографических условий на местную циркуляцию ветров происходит неравномерное выпадение и отложение твердых осадков у склонов преимущественно

северо-восточной четверти горизонта, причем осадки сохраняются в местах, наиболее затененной северной экспозиции, особенно если поверхность снега и льда прикрыта сплошным плащом обломочного материала.

Поверхность саянских ледников в общем слабо засорена обломочным материалом, однако некоторые из них почти целиком скрыты под обломками. Свободная от обломков поверхность часто гладжена и лишена крупных трещин. Встречаются ледники с неглубокими поперечными и продольными трещинами (см. рис. 6) и поверхностными водотоками (см. рис. 5), но редко. Имеется несколько ледников с отчетливо выраженным огивами.

У концов большинства ледников располагаются моренные валы (рис. 9, 10). Слагающий их валунный материал резко отличается от обломков глыбовых осыпей своей окатанностью. Мелкие валуны (20–30 см в поперечнике) часто имеют форму чечевиц-утюгов с отшлифованными гранями. Отдельные валуны достигают в диаметре 1,5–2,0 м. Мел-

Таблица 5

Основные высотные показатели оледенения

Бассейн	Средняя высота, м		Средний ледниковый коэффициент
	конца ледника	firновой линии	
Рек Казыра, Кана . .	1900	2250	0,8
Верховья р. Енисея выше устья р. Кемчика	2250	2550	0,6
Верховьев рек Оки, Уды	2400	2600	—

козема в морене мало, и представлен он белесыми зеленовато-серыми глинистыми песками со щебнем. По наблюдениям М. Г. Гросвальда (вып. 2, часть 1, табл. V/3), мутность ледниковых ручьев довольно высока.

По направлению на юго-восток концы ледников постепенно повышаются. В центральной части Восточного Саяна средняя высота концов ледников равна 2250 м при крайних значениях 2100 и 2500 м. Далее к юго-востоку, в истоках рек Сорхой и Забиг,

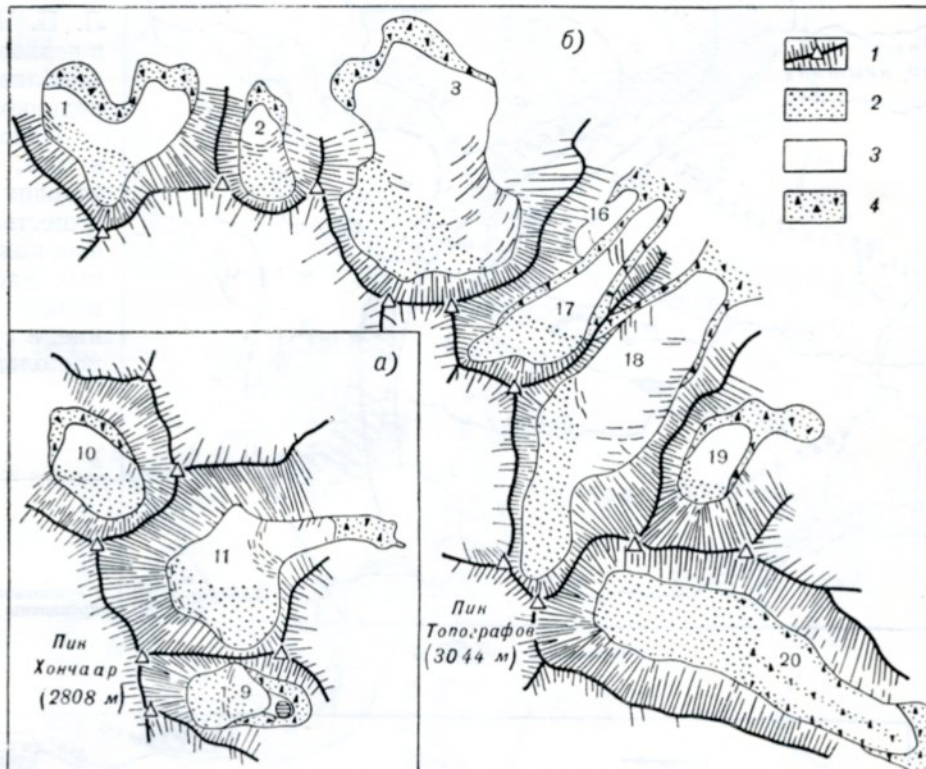


Рис. 9. Ледники центральной части Восточного Саяна.

а — схема ледников массива Хончаар, б — схема ледников в районе пика Топографов. 1 — альпийские гребни и пики, 2 — поверхность фирновых бассейнов, 3 — область абляции ледников, 4 — конечная морена. Рис. М. Г. Гросвальд (1965 г.).

Абсолютные высоты ледников Восточного Саяна были определены В. И. Сильницкой по аэрофотоснимкам (вып. 2, часть 1, табл. V/17), сделанным в конце сезона абляции 1948, 1953, и 1956 гг. В табл. 5 даны средние высоты концов ледников и фирновой линии.

она поднимается до 2850 м. На крайнем юго-востоке (г. Мунку-Сардык) высота концов ледников поднимается в среднем до 3000 м.

Высоту фирновой линии удалось определить у 30 ледников. Она также повышается с северо-запада на юго-восток. В северо-западной части Вос-

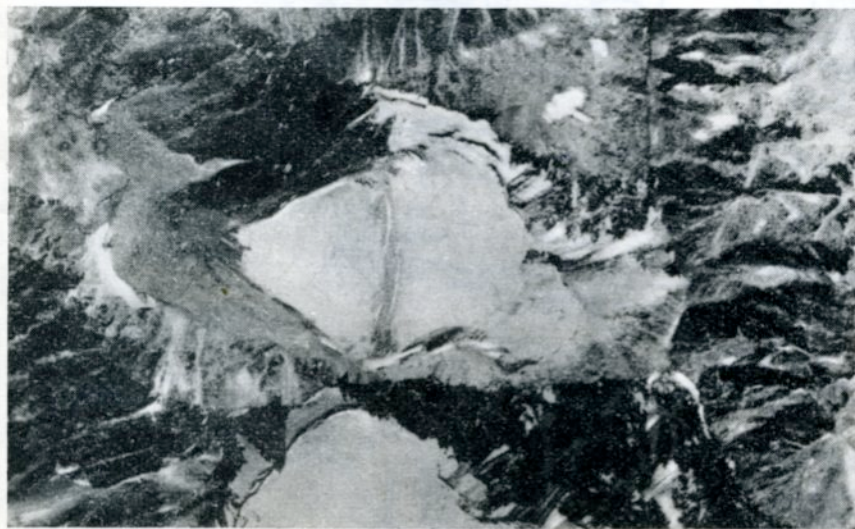


Рис. 10. Каровый ледник № 9 в бассейне р. Изиг-Суг у пика Хончаар.

Как видно из табл. 5, высотное положение ледников изменяется с северо-запада на юго-восток (рис. 11). Высота концов ледников в северо-западной части Восточного Саяна (бассейны рек Казыр, Кан) составляет в среднем 1900 м при колебаниях от 1800 до 2250 м. Наиболее низко опускаются ледники № 12 и 13 в истоках р. Кинзелиук (1500 м).

Восточного Саяна средняя высота фирновой линии составляет 2250 м, в верховьях Енисея — уже около 2550 м. Наиболее высоко фирновая линия поднимается на крайнем юго-востоке (3050 м) (г. Мунку-Сардык).

Аэрофотосъемка, проведенная в конце сезона абляции, позволила подсчитать ледниковый коэффи-

циент. Для ледников северо-западного района он равен 0,8, центрального 0,6. На юго-востоке из-за недостатка материалов ледниковый коэффициент определить не удалось. Сравнительно низкие значе-

ния ледникового коэффициента, составляющего по Восточному Саяну в целом 0,7, указывают на убытие оледенения.

О современной деградации оледенения свидетельствует и сокращение размеров ледников с 1953 г. (по наблюдениям Л. П. Черновой, площадь ледника № 5 в верховьях Казыра за 11 лет сократилась приблизительно на 10%), и отступание ледников от своих конечных морен.

Изложенный материал свидетельствует о том, что современные климатические условия нагорья мало благоприятны для существования ледников. Довольно большое количество выпадающих в центральных частях твердых осадков не может полностью компенсировать летнее таяние, и существующее сейчас незначительное оледенение деградирует.

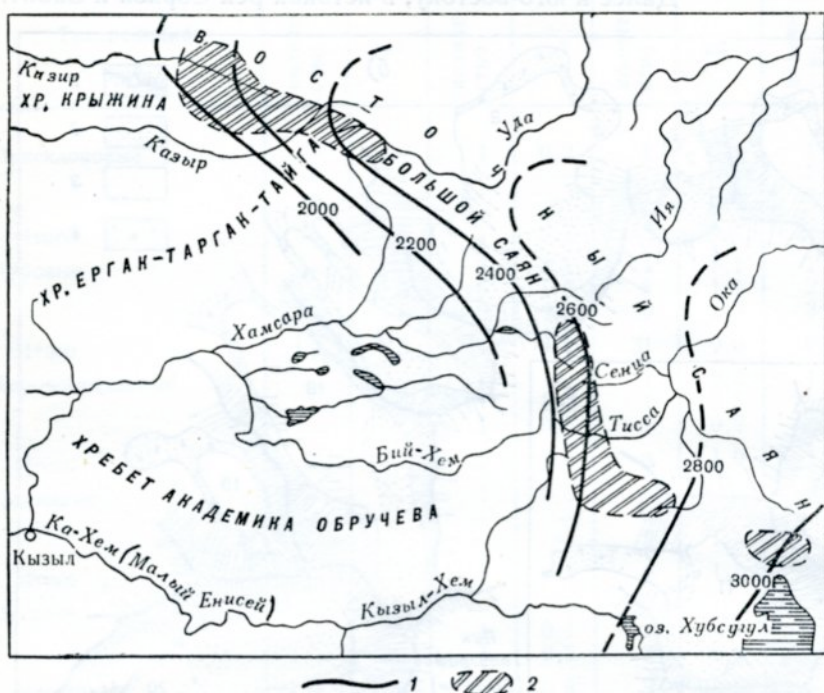


Рис. 11. Высота границы питания ледников на территории Восточного Саяна.

1 — изохона (линия равной высоты границы питания проведены через 200 м), 2 — районы оледенения. Рис. М. Г. Гросвальда (1965 г.).

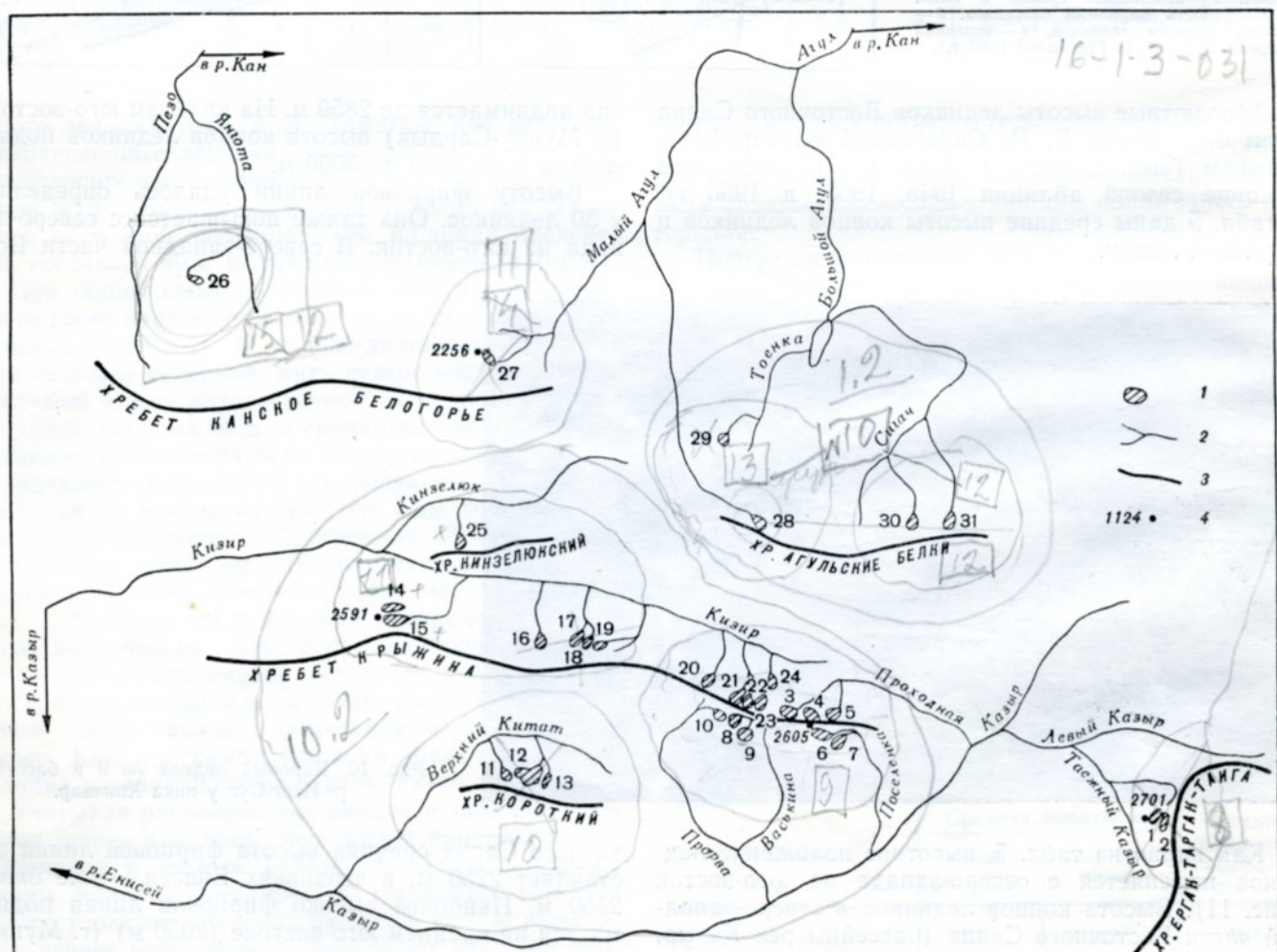


Рис. 12. Схема расположения ледниковых бассейнов рек Казыра, Кана.

1 — ледники, 2 — реки, 3 — хребты, 4 — высотные отметки.

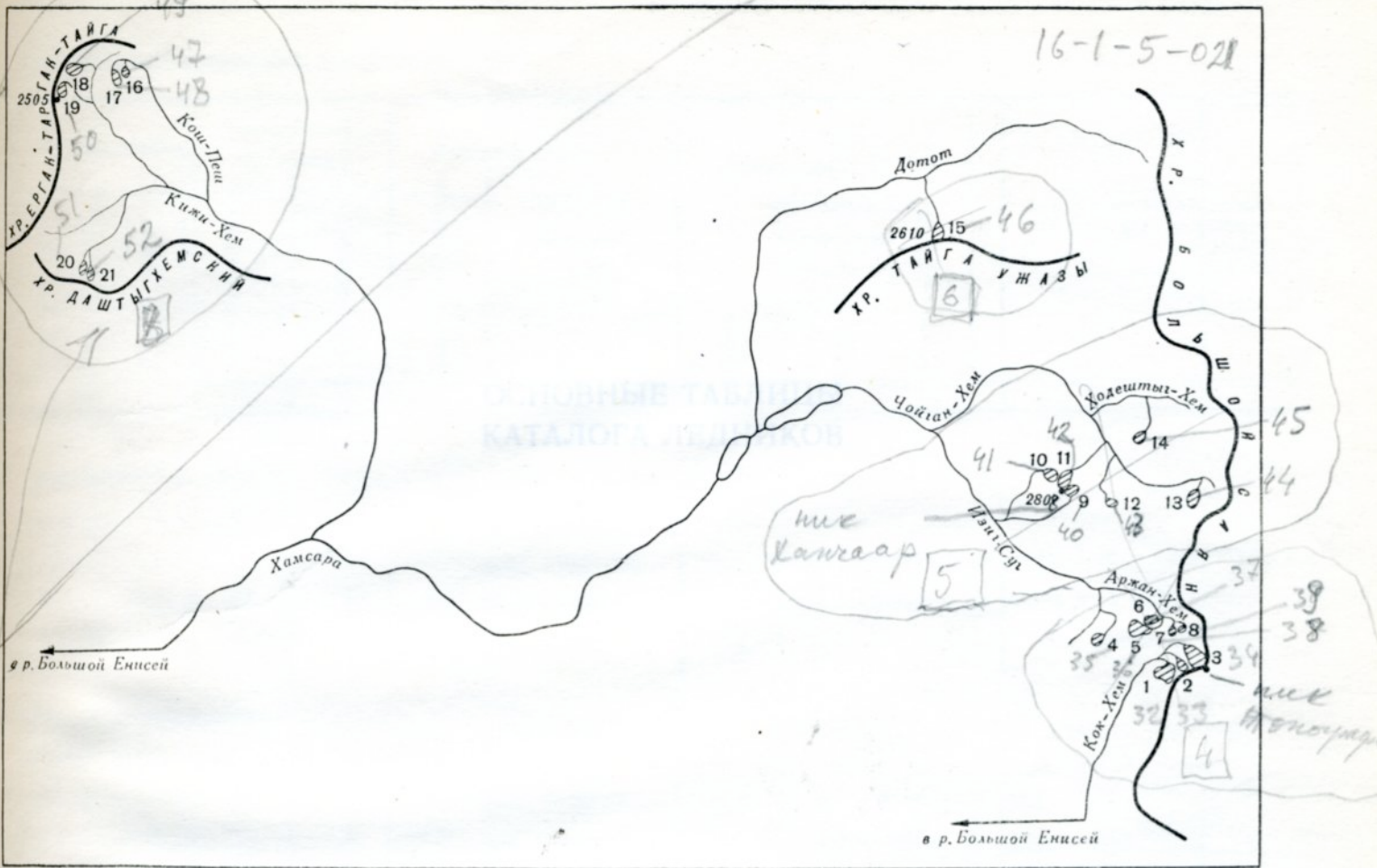


Рис. 13. Схема расположения ледников верховьев р. Енисей выше устья р. Кемчика.

Усл. обозначения см. на рис. 12.

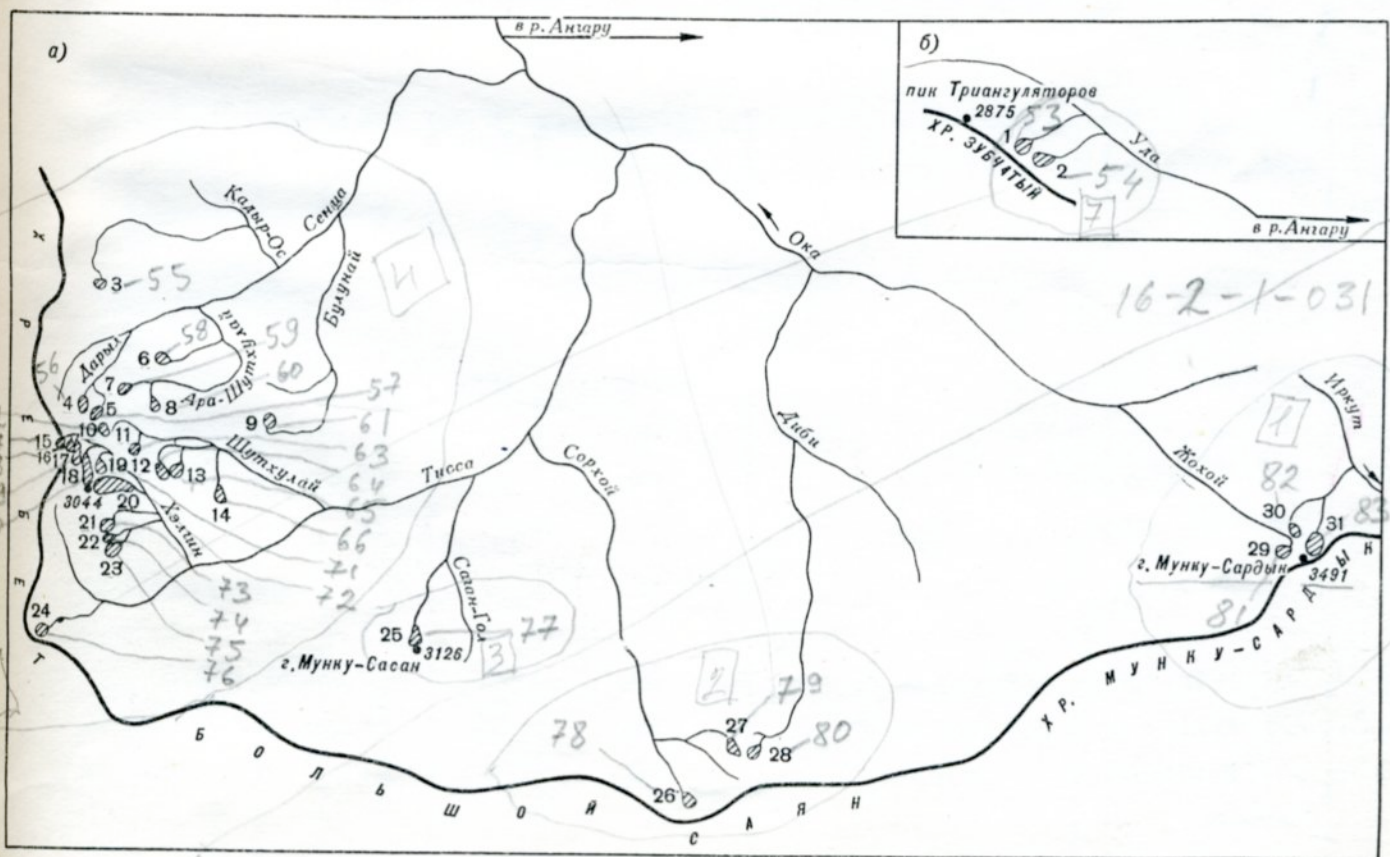


Рис. 14. Схема расположения ледников бассейнов верховьев рек Оки (а), Уды (б).

Усл. обозначения см. на рис. 12.



**ОСНОВНЫЕ ТАБЛИЦЫ
КАТАЛОГА ЛЕДНИКОВ**

ОСНОВНЫЕ СВЕДЕНИЯ О ЛЕДНИКАХ

№ по схеме	Название	Название реки, вытекающей из ледника	Морфоло- гический типа	Общая экспозиция	Наибольшая длина, км		Площадь, км ²	
					всего ледника	в том числе открытой части	всего ледника	в том числе открытой части
1	2	3	4	5	6	7	8	9

16-1-3-001 Бассейн р. Левого Казыра

5215B 16 103001

53 42 (1354	2475 № 1 9641	пр. р. Таежный Казыр	кар.	СВ	0,5	0,5	0,2	0,2
53 42 2355	2425 № 2 9641	пр. р. Таежный Казыр	кар.	СВ	0,7	0,7	0,2	0,2
	2 ледника						0,4	0,4

Бассейн р. Проходной (реки)

Северный склон

53 51 (3056	2150 № 3 9609	Проходная	кар.	СВ	0,5	0,5	0,2	0,2
53 51 4357	2300 № 4 9609	пр. р. Проходной	кар.	С	0,8	0,8	0,3	0,3
53 51 5358	2325 № 5 9609	пр. р. Проходной	кар.	СВ	1,0	1,0	0,5	0,5
	3 ледника						1,0	1,0

Бассейн р. Поселенка (реки)

Южный склон

53 50 6359	2300 Вологдина 9610	Поселенка	кар.-дол.	В	1,5	1,5	0,8	0,8
53 50 7360	2050 № 7 9610	Поселенка	кар.	СВ	0,6	0,6	0,3	0,3
	2 ледника						1,1	1,1

Бассейн р. Прорвы (реки)

Южный склон

53 53 8361	2400 № 8 9559	Васькина	кар.-дол.	ЮВ	0,8	0,8	0,3	0,3
53 53 9362	1980 № 9 9559	Васькина	кар.	СВ	0,3	0,3	0,1	0,1
53 53 10363	1990 № 10 9558	Прорва	кар.	С	0,5	0,4	0,2	0,2
	3 ледника						0,6	0,6

Бассейн р. Верхний Китат

Северный склон

53 52 11364	1700 № 11 9536	пр. р. Верхний Китат	кар.	С	1,1	?	0,5	?
53 51 12365	1650 № 12 9537	пр. р. Верхний Китат	кар.	СВ	1,6	?	1,2	?
53 51 13366	1650 № 13 9537	пр. р. Верхний Китат	кар.	С	1,8	?	0,6	?
	3 ледника						2,3	

ТАБЛИЦА I

БАССЕЙНОВ РЕК КАЗЫРА, КАНА

Высота, м			Фирновая линия		Площадь области аблации, км ²		Объем льда, км ³	Ссылки на последующие таблицы (иллюстрации) № таблиц и иллюстраций порядковые № сведений в таблицах
низшей точки конца ледника	низшей точки открытой части ледника	высшей точки ледника	высота, м	способ определения и дата	общая	в том числе открытой части		
10	11	12	13	14	15	16	17	18

(реки Казыр, Туба, Енисей)

гак-Таргак-Тайга

2350	2350	2600	2450	АФС 18/IX 1953 г.	0,1	0,1	—	V/4, 8
2250	2250	2600	2400	АФС 18/IX 1953 г.	0,1	0,1	—	V/4, 8
					0,2	0,2		

Казыр, Туба, Енисей)

хр. Крыжина

2000	2000	2300	2200	АФС 17/IX 1953 г.	0,1	0,1	—	IV/4, V/2, 4, 8
2150	2150	2450	2350	АФС 17/IX 1953 г.	0,2	0,2	—	IV/4, V/2, 4, 8
2200	2200	2450	2350	АФС 17/IX 1953 г.	0,4	0,4	—	IV/4, V/2, 4, 8; рис. 5
					0,7	0,7		

Казыр, Туба, Енисей)

хр. Крыжина

2100	2100	2500	2300	АФС 17/IX 1953 г.	0,5	0,5	—	V/4, 8; рис. 6
1950	1950	2150	2100	АФС 17/IX 1953 г.	0,1	0,1	—	V/4, 8
					0,6	0,6		

Казыр, Туба, Енисей)

хр. Крыжина

2100	2100	2500	—	—	0,3	0,3	—	V/4, 8
1860	1860	2100	—	—	0,1	0,1	—	V/8
1880	1920	2100	—	—	0,2	0,2	—	V/4, 8
					0,6	0,6		

(реки Казыр, Туба, Енисей)

хр. Короткий

1600	?	1800	—	—	—	—	—	V/8
1400	?	1900	—	—	—	—	—	V/8
1400	?	1900	—	—	—	—	—	V/8

№ по схеме	Название	Название реки, вытекающей из ледника	Морфоло- гический тип	Общая экспозиция	Наибольшая длина, км		Площадь, км ²	
					всего ледника	в том числе открытой части	всего ледника	в том числе открытой части
1	2	3	4	5	6	7	8	9

Бассейн р. Кизир (реки)

Северный склон

54 02	14* ³⁶⁷ 2160	Стальнова (север- ный)	Белая	95 26	дол.	B	1,5	?	0,7	?
54 01	15* ³⁶⁸ 2050	Стальнова (юж- ный)	Белая	95 27	дол.	B	2,0	?	0,7	?
53 59	16* ³⁶⁹ 1880	№ 16	пр. р. Кизир	95 44	кар.	C	0,8	0,7	0,7	0,6
53 59	17* ³⁷⁰ 2040	№ 17	пр. р. Кизир	95 45	кар.	CB	1,0	0,7	0,7	0,5
53 59	18* ³⁷¹ 2050	№ 18	пр. р. Кизир	95 45	кар.	CB	0,7	0,6	0,4	0,4
53 59	19* ³⁷² 1960	№ 19	Нижний Сенчит	95 45	присклон.	C	0,3	0,3	0,2	0,2
53 51	20* ³⁷³ 2020	№ 20	пр. р. Кизир	96 07	кар.	CB	0,5	0,5	0,2	0,2
53 51	21* ³⁷⁴ 2450	№ 21	пр. р. Кизир	96 07	кар.	C	0,9	0,9	0,4	0,4
53 50	22* ³⁷⁵ 2350	№ 22	пр. р. Кизир	96 08	кар.	CB	0,8	0,8	0,2	0,2
53 51	23* ³⁷⁶ 2050	№ 23	пр. р. Кизир	96 08	кар.	CB	1,0	0,6	0,3	0,2
53 51	24* ³⁷⁷ 2210	№ 24	пр. р. Кизир	96 08	кар.	CB	0,5	0,5	0,3	0,2
54 05	25* ³⁷⁸ 1700	№ 25	пр. р. Кинзелюк	95 40	кар.	C	0,9	0,6	0,4	0,3
	12 ледников								5,2	

Бассейн р. Пезо

Северный склон хр.

54 23	26* ³⁷⁹ —	№ 26	пр. р. Янготы	95 33	присклон.	CB	0,3	0,3	0,1	0,1
-------	----------------------	------	---------------	-------	-----------	----	-----	-----	-----	-----

Кроме того, в бассейне р. Пезо имеется один ледник площадью 0,06 км²

Итого 2 ледника общей площадью 0,2 км²

В бассейне р. Кан, выше р. Пезо (р. Енисей), северный склон хр. Канское Белогорье, имеется один ледник пло-

Бассейн р. Агул

Северные склоны хребтов Канско

54 17	27* ³⁸⁰ 2100	Мильина	пр. р. Малый Агул	95 40	присклон.	B	0,2	0,2	0,3	0,3
54 05	28* ³⁸¹ 2120	Кусургашева	Орзагай	96 04	дол.	C	1,0	1,0	0,3	0,3
54 07	29* ³⁸² 2170	№ 29	пр. р. Тоенки	96 01	кар.	CB	0,7	0,7	0,3	0,3
54 04	30* ³⁸³ 2220	№ 30	пр. р. Сигач	96 24	кар.-дол.	CB	0,8	0,8	0,3	0,3
54 04	31* ³⁸⁴ 2250	№ 31	Чатыг-Хем	96 24	кар.	B	0,6	0,6	0,3	0,3
	5 ледников								1,5	

Всего по району оледенения 33 ледника общей площадью 12,3 км², в том числе 2 ледника площадью менее 0,1 км²

$$\begin{array}{r}
 28 \\
 44 \\
 \hline
 105
 \end{array}
 \quad
 \begin{array}{r}
 6,6 \\
 71,4 \\
 \hline
 30,3
 \end{array}$$

Высота, м			Фирновая линия		Площадь области аблации, км ²		Ссылки на последующие таблицы (иллюстрации) № таблиц и иллюстраций порядковые № сведений в таблицах		
нижней точки конца ледника	нижней точки открытой части ледника	высшей точки ледника	высота, м	способ определения и дата	общая	в том числе открытой части	объем льда, км ³	18	
10	11	12	13	14	15	16	17		

Казыр, Туба, Енисей)

хр. Крыжина

1800	?	2500	—	—	—	—	—	IV/1, 2; V/3, 4, 8, 9
1600	?	2500	—	—	—	—	—	IV/1, 2; V/3, 4, 8, 9
1660	1700	2100	—	—	—	—	—	V/8
1800	1900	2280	—	—	—	—	—	V/8
1900	1940	2200	—	—	—	—	—	V/8
1850	1850	2050	—	—	—	—	—	V/8
1840	1840	2200	2100	АФС 17/IX 1953 г.	0,2	0,2	—	IV/4; V/2, 4, 8
2100	2100	2800	—	—	—	—	—	IV/4; V/2, 4, 8
2100	2100	2600	—	—	—	—	—	IV/4; V/2, 4, 8
1900	2000	2200	—	—	0,3	0,2	—	V/4, 8
2020	2020	2400	—	—	0,3	0,2	—	V/4, 8
1500	1600	1900	—	—	—	—	—	V/8

(реки Кан, Енисей)

Канское Белогорье

1900	—	—	—	—	0,1	0,1	—	V/8
------	---	---	---	---	-----	-----	---	-----

площадью 0,06 км²

(реки Кан, Енисей)

Белогорье и Агульские Белки

2000	2000	2200	—	—	—	—	—	IV/3; V/4, 8, 10
1900	1900	2350	2100	АФС 31/VII 1948 г.	0,2	0,2	—	IV/1, 2; V/3, 4, 8, 9
2040	2040	2300	—	—	—	—	—	V/8
2140	2140	2300	2260	АФС 31/VII 1948 г.	0,2	0,2	—	V/4, 8
2100	2100	2400	—	—	—	—	—	V/4, 8

каждый, общей площадью 0,1 км² и 31 ледник площадью более 0,1 км² каждый, общей площадью 12,2 км²

ПОЯСНЕНИЯ К ТАБЛИЦЕ I

№ ледника по таблице	Название	№ граф	Пояснения	
			1	2
6—58 8, 9, 10 11, 12, 13, 14, 15 16, 17, 18, 19	Вологдина № 8, 9, 10 № 11, 12, 13, Стальнова (сев.), Стальнова (южн.) № 16, 17, 18, 19	2 13, 14 7, 9, 11, 13, 15, 16 13, 15, 16		Название ледника дано сотрудниками отдела гляциологии ИГАН в 1964 г. (табл. V/4); официально не утверждено Ледники расположены в тени скал АФС пониженного качества, производилась 11/VI 1948 г. Ледники покрыты снегом АФС производилась 8/IX 1956 г. Ледники покрыты свежевыпавшим снегом. Определить высоту фирновой линии и площади аблации невозможно

СПИСОК ГИДРОМЕТЕОРОЛОГИЧЕСКИХ

№ п/п	Название реки, в бассейне которой расположена станция	Название станции или поста	В чьем ведении находится	Абсолютная высота, м	Площадь водосбора гидрологических постов, км ²	
					1	2
1	Казыр	мст, гр I Пономарево	КУГМС	445	9160	
2	Кизир	мп, гр I Имисское	КУГМС	316	9080	
3	Амыл	мп, гр I Верхний Амыл	КУГМС	780 усл.	537	
4	Оленья	мп, гр I Оленья речка	КУГМС	1398	3,84	
5	Кан	мп, гр I Улье	КУГМС	440	3950	
6	Бирюса	гр I Прииск Покровский	ИУГМС	845	480	
7	Бирюса	мст, гр I Нерой	ИУГМС	901	1770	
8	Гутара	мст, гр I Верхняя Гутара	ИУГМС	980	783	

ТАБЛИЦА IV

ЭКСПЕДИЦИОННЫЕ И СТАЦИОНАРНЫЕ ИССЛЕДОВАНИЯ ЛЕДНИКОВ

№ п/п	Номера и названия ледников по схеме	Время проведения работ	Характеристика (состав) произведенных исследований	Организация, производившая работы	№ источни- ков по табл. V	
					1	2
1	14, 15, 28 — Кусургашева	1925 г.	Ледники обнаружены во время геологических исследований. Дано описание местоположения ледников, их размеры, высота снеговой линии	Геол. комитет, г. Ленинград	9	
2	14, 15, 28 — Кусургашева	Лето 1929 г.	Во время проведения геологических исследований собран материал по древнему оледенению	Геол. комитет, г. Ленинград	3	
3	27 — Ильина	Июль 1948 г.	Ледник открыт во время полевых исследований по изучению флоры в центральных Саянах. Дано краткое описание ледника	Ботанический ин-т им. В. Л. Комарова АН СССР	10	
4	3—5, 20—22	1961 г.	Ледники обнаружены в ходе полевых геологических исследований. Очень коротко охарактеризованы ледники	Геол. фак. МГУ	2	

№ ледника по таблице	Название	№ граф	Пояснения	
			1	2
13, 15, 16	№ 21, 22	(73) (74)	13, 15, 16	AFC производилась 17/IX 1953 г. Ледники покрыты снегом. Определить высоту фирновой линии и площадь аблации невозможно
13, 15, 16	№ 25, Ильина, № 29	13, 15, 16	13, 15, 16	AFC производилась 8/IX 1956 г. Ледники покрыты свежевыпавшим снегом. Определить высоту фирновой линии и площади аблации невозможно
13, 15, 16	Кусургашева, № 30, 31	(80)	13, 15, 16	AFC пониженного качества, производилась 31/VII 1948 г.

СТАНЦИИ И ПОСТОВ В РАЙОНЕ ЛЕДНИКОВ

ТАБЛИЦА II

уровень воды	сток воды	сток наносов	Периоды наблюдений (годы)				
			химический состав воды	основные метеороло- гические	осадки	высота снега	дополнительные
7	8	9	10	11	12	13	14
1948—1963	1948—1963	—	1945—1955	1947—1965	1947—1965	1947—1965	
1909—1963	1909—1963	—	1963	—	1953—1965	1955—1965	
1958—1965	1960—1964	—	—	1958—1965	1958—1965	1958—1965	
1953—1965	1958—1965	—	—	1926—1965	1926—1965	1926—1965	
1958—1963	1958—1963	—	1963	—	1958—1965	1959—1965	
1941—1944	—	—	—	—	—	—	
1950—1962	1959—1962	—	—	1960—1964	1960—1964	1960—1964	
1955—1964	1955—1964	—	—	1935—1965	1935—1965	1935—1965	

ТАБЛИЦА V

СПИСОК РАБОТ, СОДЕРЖАЩИХ СВЕДЕНИЯ О ЛЕДНИКАХ

№ п/п	Номера и названия ледников по схеме	Авторы и наименования работ	Место издания работ			
			1	2	3	4
1		Алисов Б. П. Климат СССР				M., Изд-во МГУ, 1956
2	3—5, 20—22	Богатиков О. А. Новые ледники хребта Крыжина				Природа, 1962, № 8
3	14, 15, 28 — Кусургашева	Вологдин А. Г. Кизир-Казырский район				Труды Глав. геол.-развед. упр., вып. 92. M.—L., Геол. изд-во, 1931
4	1—8, 10, 14, 15, 20—24, 27, 28, 30, 31	Гросвальд М. Г. и Сильницкая В. И. Современные ледники Саяно-Тувинского нагорья				Материалы гляциол. исслед. Хроника, обсуждения. Вып. 10. M., 1964
5	1—31	Давыдов Л. К. Гидрография СССР				L., Изд-во ЛГУ, 1955
6	Оледенение Восточного Саяна в целом	Лиханов Б. Н. и Хаустова М. Н. Физико-географические различия Красноярского края				Природные условия Красноярского края. M., Изд-во АН СССР, 1961
7	Оледенение Восточного Саяна в целом	Предбайкалье и Забайкалье				M., «Наука», 1965
8	1—31	Сильницкая В. И. Новые данные о современных ледниках Восточного Саяна				Материалы гляциол. исслед. Хроника, обсуждения. Вып. 12. M., 1965
9	14, 15, 28	Стальнов Г. И. К вопросу о современных саянских ледниках				Вестник Геол. комитета, 1925, № 4
10	27	Федоровы Ал. и Ан. Два года в Саянах				Географгиз, 1951
11	Оледенение Восточного Саяна в целом	Щербакова Л. Н. Новые материалы по орографии и современному оледенению Восточного Саяна (на основании анализа крупномасштабных карт)				География и хозяйство, сб. 3—4. M., 1958

ОСНОВНЫЕ СВЕДЕНИЯ О ЛЕДНИКАХ БАССЕЙНА

№ по схеме	Название	Название реки, вытекающей из ледника	Морфологи- ческий тип	Общая экспозиция	Наибольшая длина, км		Площадь, км ²	
					всего ледника	в том числе открытой части	всего ледника	в том числе открытой части
1	2	3	4	5	6	7	8	9

16-1-3-5-001

16-1-5

52 31 1 32	Nº 1 488	Кок-Хем	98 76	кар.	C	1,1	1,0	0,6	0,5
52 31 2 33	Nº 2 489	Кок-Хем	98 77	кар.	C	0,9	0,8	0,3	0,2
52 31 3 34	Авгевича 490	Кок-Хем	98 78	кар.-дол.	C	1,7	1,7	1,4	1,4
	3 ледника						2,3		2,1

5B 16-1-5-001

5B 16-1-5

Бассейн р. Кок-Хем (реки

Северо-западный склон

В бассейне р. Соруг (реки Хамсара, Большой Енисей, Енисей) имеется 3 ледника размерами менее 0,1 км² каждый,

Бассейн р. Изиг-Суг (реки Чойган-Хем,

Западный склон

52 33 4 35	Nº 4 491	пр. р. Тыбра-Хем	98 73	присклон.	B	0,3	0,3	0,1	0,1
52 33 5 492	Nº 5 492	Аржан-Хем	98 75	кар.	B	1,5	1,0	0,8	0,6
52 32 6 493	Nº 6 493	Аржан-Хем	98 78	кар.	CB	0,5	0,5	0,1	0,1
52 32 7 494	Nº 7 494	Аржан-Хем	98 79	вис.	C	0,4	0,4	0,1	0,1
52 32 8 495	Nº 8 495	Аржан-Хем	98 79	присклон.	CB	0,4	0,4	0,1	0,1
52 43 9 496	Nº 9 496	Улуг-Уузю	98 71	кар.	B	0,5	0,5	0,2	0,2
52 43 10 497	Nº 10 497	Биче-Уузю	98 70	кар.	C3	0,7	0,7	0,3	0,3
	7 ледников							1,7	1,5

Бассейн р. Чойган-Хем (реки

Западный склон

52 44 11 42	Nº 11 498	пр. р. Чойган-Хем	98 71	кар.-дол.	CB	1,0	1,0	0,5	0,5
52 41 12 43	Nº 12 499	пр. р. Чойган-Хем	98 74	кар.	C	0,4	0,3	0,1	0,1
52 40 13*44	Nº 13 500	Чойган-Хем	98 72	кар.	C	1,2	?	0,5	?
52 42 14 45	Nº 14 501	пр. р. Ходештыг-Хем	98 75	кар.	CB	0,5	0,4	0,1	0,1
	4 ледника							1,2	

Кроме того, в бассейне р. Чойган-Хем имеется 4 ледника размерами менее 0,1 км² каждый, общей площадью 0,2 км²

Итого 8 ледников общей площадью 1,4 км²

Бассейн р. Дотот (реки Хамсара,

Северный склон

56 00 15 46	Nº 15 502	пр. р. Дотот	98 07	кар.	CB	0,9	0,7	0,3	0,2
-------------	-----------	--------------	-------	------	----	-----	-----	-----	-----

Бассейн р. Кижи-Хем (реки Хамсара,

Северо-восточный склон

53 43 16 47	96 53 № 16 503	Кош-Пёш		кар.	CB	0,6	0,5	0,1	0,1
53 43 17*48	96 52 № 17 504	Кош-Пёш		кар.	CB	0,5	—	0,1	—
53 43 18 49	96 51 № 18 505	Кижи-Хем		кар.	CB	0,5	0,5	0,2	0,2
53 42 19 50	96 51 № 19 506	Кижи-Хем		кар.	CB	0,4	0,4	0,1	0,1
53 31 20*51	96 41 № 20 507	руч. Биче-Даштыг-Хем		кар.	C	0,6	0,6	0,1	0,1
53 30 21*52	96 41 № 21 508	руч. Биче-Даштыг-Хем		кар.	CB	0,5	0,5	0,1	0,1
	6 ледников							0,7	

Всего по району оледенения 28 ледников общей площадью 6,6 км², в том числе 7 ледников площадью менее 0,1 км²

ТАБЛИЦА I

ВЕРХОВЬЕВ р. ЕНИСЕЯ ВЫШЕ УСТЬЯ р. КЕМЧИКА

Высота, м			Фирновая линия		Площадь области аблации, км ²		Ссылки на последующие таблицы (иллюстрации) № таблиц и иллюстраций порядковые № сведений в таблицах	
нижней точки конца ледника	нижней точки открытой части ледника	высшей точки ледника	высота, м	способ определения и дата	общая	в том числе открытой части	Объем льда, км ³	
10	11	12	13	14	15	16	17	18

Большой Енисей, Енисей)

хр. Большой Саян

2300	2400	2650	2600	АФС 15/IX 1953 г.	0,4	0,3	—	IV/1, 2; V/2, 3, 5, 12, 13
2300	2350	2700	2520	АФС 15/IX 1953 г.	0,2	0,1	—	IV/1, 2; V/2, 3, 5, 12, 13
2500	2500	2900	2700	АФС 15/IX 1953 г.	1,1	1,1	—	IV/1, 2; V/2, 3, 5, 12, 13;

общей площадью 0,2 км²

Хамсара, Большой Енисей, Енисей)

хр. Большой Саян

2400	2400	2500	—	АФС 16/IX 1953 г.	0,1	0,1	—	V/5, 12
2250	2450	2800	2700	—	0,6	0,4	—	V/5, 12
2200	2200	2500	—	—	0,1	0,1	—	V/5, 12
2200	2200	2500	—	—	0,1	0,1	—	V/5, 12
2300	2300	2550	—	—	0,1	0,1	—	V/5, 12
2400	2400	2700	2550	АФС 16/IX 1953 г.	0,1	0,1	—	IV/1, 2; V/2, 3, 5, 12, 13; рис. 9, 10
2300	2300	2700	2600	АФС 16/IX 1953 г.	0,2	0,2	—	IV/1, 2; V/2, 3, 5, 12, 13; рис. 9

Хамсара, Большой Енисей, Енисей)

хр. Большой Саян

2200	2200	2700	2600	АФС 16/IX 1953 г.	0,3	0,3	—	IV/1, 2; V/2, 3, 5, 12, 13; рис. 9
2200	2240	2400	2300	АФС 16/IX 1953 г.	0,1	0,1	—	V/5, 12
2200	?	2600	—	—	—	—	—	V/5, 12
2280	2300	2400	2350	АФС 16/IX 1953 г.	0,1	0,1	—	V/5, 12

Большой Енисей, Енисей)

хр. Тайга Ужазы

2000	2100	2500	—	—	0,3	0,2	—	V/5, 12
------	------	------	---	---	-----	-----	---	---------

Большой Енисей, Енисей)

хр. Ергак-Таргак-Тайга

2280	2300	2500	—	—	0,1	0,1	—	V/5, 12
2100	—	2260	—	—	—	—	—	V/4, 5, 12
2400	2400	2650	2600	АФС 18-IX 1953 г.	0,1	0,1	—	V/4, 5, 12
2300	2300	2450	—	—	0,1	0,1	—	V/4, 5, 12
2100	2100	2400	—	—	—	—	—	V/4, 5, 12
2300	2300	2500	—	—	—	—	—	V/4, 5, 12

каждый, общей площадью 0,4 км² и 21 ледник площадью более 0,1 км² каждый, общей площадью 6,2 км²

ПОЯСНЕНИЯ К ТАБЛИЦЕ I

№ ледника по таблице	Название	№ графы	Пояснения
1	2	3	4
3	Авгевича	2	Название ледника официально не утверждено. Дано автором каталога В. И. Сильницкой (табл. V/11)
13	№ 13	7, 9, 11, 13, 15, 16	Графы остались незаполненными из-за плохого качества АФС, производившейся 28/VIII 1949 г. Ледник под снегом

СПИСОК ГИДРОМЕТЕОРОЛОГИЧЕСКИХ

№ п/п	Название реки, в бассейне которой расположена станция	Название станции или поста	В чьем ведении находится	Абсолютная высота, м	Площадь водосбора гидрометеорологических постов, км ²
1	2	3	4	5	6
1	Большой Енисей	мст, гп I Тора-Хем	КУГМС	895	13 300
2	Хамсара	мп, гп I Хамсара	КУГМС	1080	4 890
3	Уда	мст, гп I Алыгджер	ИУГМС	935	4 980

ТАБЛИЦА IV

ЭКСПЕДИЦИОННЫЕ И СТАЦИОНАРНЫЕ ИССЛЕДОВАНИЯ ЛЕДНИКОВ

№ п/п	Номера и названия ледников по схеме	Время проведения работ	Характеристика (состав) произведенных исследований	Организация, производившая работы	№ источников по табл. V
					1
1	2	3	4	5	6
1	1—3, 9—11	1953—1956 гг.	Проведены геолого-съемочные работы в центральной части Восточного Саяна. Обнаружены современные ледники, дано морфологическое описание ледников, описаны морены, определена снеговая граница на ледниках и ледниковый коэффициент. Изучались климатические условия района	Геогр. фак. МГУ	2, 3, 5

ТАБЛИЦА V

СПИСОК РАБОТ, СОДЕРЖАЩИХ СВЕДЕНИЯ О ЛЕДНИКАХ

№ п/п	Номера и названия ледников по схеме	Авторы и наименование работ	Место издания работ
1	2	3	4
1		Алисов Б. П. Климат СССР	М., Изд-во МГУ, 1956
2	1—3, 9—11	Гросвальд М. Г. Центральный Восточно-Саянский район современного оледенения	Вестн. МГУ. Сер. 5, геогр., 1962, вып. 5
3	1—3, 9—11	Гросвальд М. Г. Современные ледники в горах северо-восточной Тувы	Исследования ледников и ледниковых районов. Вып. 3. М., Изд-во АН СССР, 1963
4	1—21	Гросвальд М. Г. Развитие рельефа Саяно-Тувинского нагорья	М., «Наука», 1965
5	16—21	Гросвальд М. Г. и Сильницкая В. И. Современные ледники Саяно-Тувинского нагорья	Материалы гляциол. исслед. Хроника, обсуждения, № 10. М., 1964
6	Оледенение Восточного Саяна	Давыдов Л. К. Гидрография СССР	Л., Изд-во ЛГУ, 1955
7	1—21	Ефимцев Н. А. Климатический очерк Тувы	Труды Тувинской компл. экспедиции. Вып. 3. М., Изд-во АН СССР, 1957

№ ледника по таблице	Название	№ графы	Пояснения			
			1	2	3	4
17	№ 17	7, 9, 11, 13, 15, 16	Ледник расположен в тени скалы и покрыт моренным плащом			
20, 21	№ 20, 21	13, 15, 16	Ледники покрыты свежевыпавшим снегом			

ТАБЛИЦА II

СТАНЦИЙ И ПОСТОВ В РАЙОНЕ ЛЕДНИКОВ

уровень воды	сток воды	сток наносов	химический состав воды	Периоды наблюдений (годы)				
				основные метеороло- гические	осадки	высота снега	дополни- тельные	
								7
				1945—1963	1945—1963	1945—1965	1945—1965	1945—1963
				1960—1963	1960—1963	1960—1965	1960—1965	1960—1963
				1937—1964	1951—1964	1935—1965	1935—1965	1935—1964
				1962	1962—1963	1945—1965	1945—1965	1945—1962
				—	—	—	—	—
				1945—1965	1945—1965	1945—1965	1945—1965	1945—1965
				1935—1965	1935—1965	1935—1965	1935—1965	1935—1965

№ п/п	Номера и названия ледников по схеме	Время проведения работ	Характеристика (состав) произведенных исследований	Организация, производившая работы	№ источников по табл. V
					1
1	2	3	4	5	6
2	1—3, 9—11	Лето 1959, 1960, 1962 г.	Обследованы ледники, определена площадь оледенения, ориентация ледников. Изучались климатиче- ские условия района оледенения	Геогр. фак. ИГУ	13, 14

№ п/п	Номера и названия ледников по схеме	Авторы и наименование работ	Место издания работ
1	2	3	4
8	1—21	Клопова А. С. Реки Тувы	Труды Тувинской компл. экспедиции, вып. 3. М., Изд-во АН СССР, 1957
9	1—21	Кушев С. А. Рельеф Тувы	Труды Тувинской компл. экспедиции. Вып. 3. М., Изд-во АН СССР, 1957
10	Оледенение Восточного Саяна	Предбайкалье и Забайкалье	М., «Наука», 1965
11	1—21	Сильницкая В. И. Новые данные о современных ледниках Восточного Саяна	Материалы гляциол. исслед. Хроника, об- суждения. Вып. 12. М., 1965
12	1—21	Скорняков В. А. Сток на территории бассейна Верхнего Енисея	Изв. АН СССР. Сер. геогр., 1957, № 6
13	1—3, 9—11	Томилов Г. М. Современное оледене- ние пика Топографов (Восточный Саян)	Сб. кратких науч. сообщений геогр. ф-та Иркутск. гос. ун-та. Иркутск, 1962
14	1—3, 9—11	Томилов Г. М. Современное оледене- ние юго-восточной части Восточного Саяна	Материалы гляциол. исслед. Хроника, об- суждения. Вып. 11. М., 1965

ОСНОВНЫЕ СВЕДЕНИЯ О ЛЕДНИКАХ

№ по схеме	Название	Название реки, вытекающей из ледника	Морфоло- гический тип	Общая экспозиция	Наибольшая длина, км		Площадь, км ²	
					всего ледника	в том числе открытой части	всего ледника	в том числе открытой части
1	2	3	4	5	6	7	8	9

SU5D-16-2-1

SB16201

Бассейн р. Уды (реки)
Северный склон

53 45 1 53	533 № 1	Холь-Хем	96 53	кар.-дол.	C	1,0	0,8	0,5	0,4
53 45 2 54	534 № 2	пр. р. Уды	96 54	кар.	CB	0,7	0,6	0,2	0,2
2 ледника									

В бассейне р. Жом-Болок (реки Ока, Ангара) имеется 3 ледника размерами менее 0,1 км² каждый, общей площадью

Бассейн р. Сенцы
Восточный склон

52 38 3 55	535 № 3 99 08	Барун-Кадыр-Ос	98 52	присклон.	CB	0,4	0,3	0,1	0,1
52 32 4 56	536 № 4	Дарыл	98 53	присклон.	CB	0,6	0,5	0,1	0,1
52 32 5 57	537 № 5	Дарыл	98 53	кар.	CB	0,9	0,7	0,3	0,2
52 32 6 58	538 № 6	пр. р. Ара-Шутхурай	98 56	присклон.	B	0,4	0,4	0,1	0,1
52 32 7 59	539 № 7	Ара-Шутхурай	98 54	присклон.	B	0,8	0,6	0,2	0,2
52 32 8 60	540 № 8	Ара-Шутхурай	98 54	вис.	CB	0,8	0,7	0,1	0,1
52 27 9*61	541 Прилавок	Нуурта-Салаа	99 05	вис.	ЮВ	0,9	0,9	0,3	0,3
7 ледников									

Кроме того, в бассейне р. Сенцы имеется 6 ледников размерами менее 0,1 км² каждый, общей площадью 0,3 км²

Итого 13 ледников общей площадью 1,5 км²

Бассейн р. Тиссы выше р. Саган-
Восточный склон

52 32 10 62	542 № 10	Шутхурай	98 50	присклон.	CB	0,6	0,6	0,2	0,2
52 30 11 63	543 № 11	Шутхурай	98 54	кар.	CB	0,4	0,3	0,1	0,1
52 27 12 64	544 № 12	Шутхурай	98 55	кар.	C	0,7	—	0,3	0,2
52 27 13 65	545 № 13	Шутхурай	98 56	кар.	CB	0,7	—	—	—
52 25 14 66	546 № 14	Шутхурай	98 58	присклон.	CB	0,6	0,6	0,1	0,1
52 32 15 67	547 № 15	Хэлгин	98 49	вис.	CB	0,4	0,4	0,1	0,1
52 31 16 68	548 № 16	Хэлгин	98 49	кар.-дол.	CB	0,6	0,6	0,2	0,2
52 31 17 69	549 № 17	Хэлгин	98 49	дол.	CB	1,8	1,6	0,6	0,5
52 30 18 70	550 № 18	Хэлгин	98 49	дол.	CB	2,5	2,5	1,2	1,1
52 30 19 71	551 № 19	Хэлгин	98 50	кар.	CB	0,7	0,6	0,3	0,2
52 29 20*72	Ячевского 552	Хэлгин	98 50	дол.	ЮВ	2,7	2,0	1,3	1,0
52 25 21 73	№ 21 553	пр. р. Хэлгин	98 49	кар.	CB	0,6	0,4	0,2	0,1
52 25 22 74	№ 22 554	пр. р. Хэлгин	98 49	кар.	B	0,4	0,3	0,1	0,1
52 25 23 75	№ 23 555	пр. р. Хэлгин	98 49	кар.	B	1,4	1,0	0,7	0,4
52 23 24 76	№ 24 556	Хутэл	98 38	кар.	B	0,5	0,3	0,2	0,1
15 ледников									

Кроме того, в бассейне р. Тиссы имеется 4 ледника размерами менее 0,1 км² каждый, общей площадью 0,2 км²

Итого 19 ледников общей площадью 6,0 км²

Бассейн р. Саган-Гол
Северный склон

52 13 25*77	Миддендорфа 557	пр. р. Саган-Гол	99 11	кар.	CB	1,2	?	0,7	?
-------------	-----------------	------------------	-------	------	----	-----	---	-----	---

1.2
5.8
7.0

ТАБЛИЦА I

БАССЕЙНОВ ВЕРХОВЬЕВ РЕК ОКИ, УДЫ

Высота, м				Фирновая линия		Площадь области аблации, км ²		Объем льда, км ³		Ссылки на последующие таблицы (иллюстрации) № таблиц и иллюстраций порядковые № сведений в таблицах
найменшей точки конца ледника	найменшей точки открытой части ледника	высшей точки ледника	высота, м	способ определения и дата		общая	в том числе открытой части			
10	11	12	13	14		15	16	17	18	

Чуна, Тасеева, Ангара)

хр. Зубчатый

2150	2180	2600	2400	AФС 15/IX 1953 г.	—	0,4	0,3	—	V/4, 10, 17
2300	2320	2600	—			0,2	0,2	—	V/4, 10, 17
<i>0,2 км²</i>									

(реки Ока, Ангара)

хр. Большой Саян

2440	2480	2600	—	—	—	0,1	0,1	—	V/4, 10, 17
2340	2360	2580	2500	AФС 15/IX 1953 г.	—	0,2	0,1	—	V/4, 10, 17
2450	2450	2620	—			0,1	0,1	—	V/4, 10, 17
2460	2480	2700	—			0,2	0,2	—	V/4, 10, 17
2550	2600	2700	2660	AФС 15/IX 1953 г.	—	0,1	0,1	—	V/4, 10, 17
2720	2720	2900	—			0,3	0,3	—	IV/1, V/4, 10, 17, 20
						1,2	1,0		

Гол (реки Ока, Ангара)

пика Топографов

2500	2500	2580	—	—	—	0,2	0,2	—	V/4, 10, 17
2600	2640	2800	2700	AФС 15/IX 1953 г.	—	0,1	0,1	—	V/4, 10, 17
2280	2340	2500	2400	AФС 15/IX 1953 г.	—	0,2	0,1	—	V/4, 10, 17
2450	—	2650	—			0,2	—	—	V/4, 10, 17
2600	2600	2900	—			0,2	—	—	V/4, 10, 17
2760	?	2630	—			0,1	0,1	—	V/4, 10, 17; рис. 9
2300	2320	—	—			0,2	0,2	—	IV/3, 4, 5; V/2—4, 10, 17—19; рис. 9
2200	2220	2900	2600	AФС 15/IX 1953 г.	—	0,4	0,4	—	IV/3—5; V/2—4, 10, 17—19; рис. 9
2320	2320	3000	2600	AФС 15/IX 1953 г.	—	0,8	0,8	—	IV/3—5, V/2—4, 10, 17—19; рис. 9
2300	2320	2650	2600	AФС 15/IX 1953 г.	—	0,2	0,1	—	IV/3—5, V/2—4, 10, 17—19; рис. 9
2280	2380	2950	2700	AФС 15/IX 1953 г.	—	1,0	0,7	—	IV/3—5; V/2—4, 10, 17—19; рис. 4, 9
2300	2400	2600	—			0,2	0,1	—	IV/3—5; V/2—4, 10, 17—19
2400	2500	2600	—			0,1	0,1	—	IV/3—5; V/2—4, 10, 17—19
2260	2300	2600	—			0,7	0,4	—	IV/3—5; V/2—4, 10, 17—19
2380	2400	2550	—			0,2	0,1	—	V/4, 10, 17

(реки Тисса, Ока, Ангара)

г. Мунку-Сасан

?	?	3120	—	—	—	?	?	—	IV/1, 3; V/4, 10, 17, 20
2600	—	—	—	—	—	—	—	—	

№ по схеме	Название	Название реки, вытекающей из ледника	Морфоло- гический тип	Общая экспозиция	Наибольшая длина, км		Площадь, км ²	
					всего ледника	в том числе открытой части	всего ледника	в том числе открытой части
77 - 0,7								
78 - 0,2								
79 - 0,3								
80 - 0,5	1	2	3	4	5	6	7	8
								9

Бассейн р. Сорхой (реки)

Северный склон

51 48 726* 559	Сорхойский № 27	Сорхой пр. р. Малый Сорхой 99 23	кар. кар.	C CB	0,7 1,0	?	0,2 0,3	?
51 48 727* 559	2 ледника						0,5	

Бассейн р. Забит (реки)

Северный склон

51 58 8028* 560	№ 28	Забит	99 32	кар.	CB	1,5	?	0,5 ?
-----------------	------	-------	-------	------	----	-----	---	---------

Бассейн р. Жохой

Северный склон

51 43 29* 561	№ 29	Жохой	100 36	?	V	?	?	0,3 ?
---------------	------	-------	--------	---	---	---	---	---------

Бассейн р. Белый Иркут

Северный склон

51 43 8230* 561	Радде	Белый Иркут	100 32	?	C	0,6	0,6	0,3
51 43 8331* 561	Перетолчина	Мугувек	100 37	вис.	C	1,0	1,0	0,7
	2 ледника							1,0

Всего по району оледенения 44 ледника общей площадью 11,4 км², в том числе 13 ледников площадью менее 0,1 км²

ПОЯСНЕНИЯ К ТАБЛИЦЕ 1

№ ледника по таблице	Название	№ граф	Пояснения	
			1	2
9	Прилавок	2	Название приводится в статье Г. М. Томилова (V/19) Название ледника дано В. И. Сильницкой (V/17). Официально не утверждено	Название приводится в статье Г. М. Томилова (V/19) АФС пониженного качества, производилась 28/VIII 1949 г. Ледник покрыт снегом
20	Ячевского	2		
25	Миддендорфа	2	Название приводится в статье Г. М. Томилова (V/19) АФС пониженного качества, производилась 28/VIII 1949 г. Ледник покрыт снегом	Название приводится в статье Г. М. Томилова (V/19) АФС отсутствует. Характеристика ледника получена с топографической карты
26	Сорхойский	7,9—11, 13, 15, 16 5, 6, 8, 10, 12, 13		

СПИСОК ГИДРОМЕТЕОРОЛОГИЧЕСКИХ

№ п/п	Название реки, в бассейне которой расположена станция	Название станции или поста	В чьем ведении находится	Абсолютная высота, м	Площадь водосбора гидрологических станций и постов, км ²	
					1	2
1	Ока	мст Хоре	ИУГМС	1590		
2	Ока	мст, гр III Орлик	ИУГМС	1370		6230
3	Ока	мст Бурун-Гол	ИУГМС	1180		
4	Китой	мст Ильчир	ИУГМС	2080		
5	Иркут	мст, гр I Монды	ИУГМС	1300		1200

Высота, м			Фирновая линия		Площадь области аблации, км ²		Ссылки на последующие таблицы (илюстрации) № таблиц и иллюстраций порядковые № сведений в таблицах		
нижней точки конца ледника	нижней точки открытой части ледника	высшей точки ледника	высота, м	способ определения и дата	общая	в том числе открытой части	Объем льда, км ²	18	
10	11	12	13	14	15	16	17		

Тисса, Ока, Ангара)

хр. Большой Саян

2900	?	3220	—	3110 1050	—	?	?	—	IV/3; V/4, 10, 17
3000	?	3100	—						IV/3; V/4, 10, 17

ки Диби, Ока, Ангара)

хр. Большой Саян

2800	?	3200	—	3300	—	?	?	—	IV/3; V/4, 10, 17
------	---	------	---	------	---	---	---	---	-------------------

(реки Ока, Ангара)

хр. Мунку-Сардык

2850	?	?	?	—	—	—	—	—	IV/2, 3; V/4, 10, 12, -17
------	---	---	---	---	---	---	---	---	---------------------------

(реки Иркут, Ангара)

хр. Мунку-Сардык

2830	2830	?	2990	Гефера, 1965 г.	—	—	—	IV/2, 3; V/4, 10, 12, 17
2910	2910	?	3140	Гефера, 1965 г.	—	—	—	IV/2, 3; V/4, 10, 12, 17

каждый, общей площадью 0,7 км² и 31 ледник площадью более 0,1 км² каждый, общей площадью 10,7 км²

№ ледника по таблице	Название	№ граф	Пояснения	
			1	2
3	4	5	6	7
27, 28	№ 27, № 28	7, 9—11, 13, 15, 16	AFC пониженного качества, производилась 28/VIII 1949 г.	
29	№ 29	4—8, 10, 11, 13	Ледники покрыты снегом AFC отсутствует. Характеристика ледника дана по подсчетам Е. В. Максимова (V/9)	
30, 31	Радде, Перетолчина	2 4—8, 10, 11, 13	Название приводится в статье Е. В. Максимова (V/9) AFC отсутствует. Характеристика ледников дана по подсчетам Е. В. Максимова (V/9)	

СТАНЦИИ И ПОСТОВ В РАЙОНЕ ЛЕДНИКОВ

Периоды наблюдений (годы)

уровень воды	сток воды	сток наносов	химический состав воды	основные метеорологические	осадки	высота снега	дополнительные
7	8	9	10	11	12	13	14
1942, 1943, 1946—1964	—	—	1963	1935—1965 1931, 1932, 1934—1965 1962—1965 1930—1965 1900—1903, 1905—1907, 1915—1917, 1929—1965	1935—1965 1931, 1932, 1934—1965 1962—1965 1930—1965 1900—1903, 1905—1907, 1915—1917, 1929—1965	1935—1965 1931, 1932, 1934—1965 1962—1965 1930—1965 1900—1903, 1905—1907, 1915—1919, 1929—1965	
1942—1964	1955—1964	—	1962—1964				

ТАБЛИЦА IV

ЭКСПЕДИЦИОННЫЕ И СТАЦИОНАРНЫЕ ИССЛЕДОВАНИЯ ЛЕДНИКОВ

№ п/п	Номера и названия ледников по схеме	Время проведения работ	Характеристика (состав) произведенных исследований	Организация, производившая работы	№ источ- ников по табл. V
1	2	3	4	5	6
1	9, 25	1888 г.	Ледники обнаружены геологической экспедицией в ходе полевых исследований. Дано описание местоположения ледников и их высоты	Вост.-Сиб. отд. РГО	20
2	29—31	1898—1907 гг.	Посещены ледники, дано краткое описание ледников г. Мунку-Сардык. Определена площадь ледников, высота снеговой линии и концов ледников	Томский технологический ин-т	12
3	Восток Восточного Саяна	1939—1944 гг.	В ходе полевых геологических исследований открыта группа ледников, даны краткое описание, длина ледников, высотное положение ледников и их снеговой границы	1939—1941 гг. Вост.-Сиб. геол. управление, с 1941 г. АН СССР	10
4	16—23	Лето 1959, 1953—1956 гг.	Обследованы ледники, определена площадь. Проведены геолого-съемочные работы в центральной части Восточного Саяна. Обнаружены современные ледники, дано описание морен, определена снеговая граница и ледниковый коэффициент. Изучались климатические условия района	Геогр. фак. МГУ	2, 3, 4
5	16—23	Лето 1959 г.	Обследованы ледники, определена площадь оледенения, ориентация ледников, высота снеговой линии. Изучались климатические условия района оледенения	Геогр. фак. МГУ	18, 19

ТАБЛИЦА V

СПИСОК РАБОТ, СОДЕРЖАЩИХ СВЕДЕНИЯ О ЛЕДНИКАХ

№ п/п	Номера и названия ледников по схеме	Авторы и наименования работ	Место издания работ
1	2	3	4
1			
2	16—23	Алисов Б. П. Климат СССР. Гросвальд М. Г. Центральный Восточно-Саянский район современного оледенения	М., Изд-во МГУ, 1956 Вестник МГУ. Сер. геогр., 1962, вып. 5
3	16—23	Гросвальд М. Г. Современные ледники в горах северо-восточной Тувы	Исследования ледников и ледниковых районов. Вып. 3, М., Изд-во АН СССР, 1963
4	1—31	Гросвальд М. Г. Развитие рельефа Саяно-Тувинского нагорья (оледенение, вулканизм, неотектоника)	М., «Наука», 1965
5	29—31	Давыдов Л. К. Гидрография СССР	Л., Изд-во ЛГУ, 1955
6	Оледенение всего нагорья в целом	Де-Генинг-Михелис Е. В. В Северной Монголии. Экспедиция на Мунку-Сардык и Коцогол в 1897 г.	Изв. Вост.-Сиб. отд. РГО, т. 29, № 3. Иркутск, 1898
7	29—31	Комаров В. Л. Ледники Мунку-Сардыка. Отчет о произведенных в течение 1902 г. наблюдениях над ледниками в России	Изв. РГО, 1904, т. 40, вып. 4
8	1—31	Копанев Г. В. Подземные и поверхностные воды Бурятской АССР	М., Изд-во АН СССР, 1960
9	29—31	Максимов Е. В. О ледниках массива Мунку-Сардык в Восточном Саяне	Изв. ВГО, 1965, т. 97, вып. 2
10	Восток Восточного Саяна	Обручев С. В. Орография и геоморфология восточной половины Восточного Саяна	Изв. ВГО, 1946, т. 78, вып. 5—6
11	21—31	Олюнин В. Н. Неотектоника и оледенение Восточного Саяна	М., «Наука», 1965
12	29—31	Перетолчин С. П. Восхождение на Мунку-Сардык летом 1896 г.	Изв. Вост.-Сиб. отд. РГО, 1897, т. 28, № 4

№ п/п	Номера и названия ледников по схеме	Авторы и наименования работ	Место издания работ
			1
13	29—31	Перетолчин С. П. Ледники хребта Мунку-Сардык	Изв. Томского технологич. ин-та, 1908, т. 9, вып. 1
14	Оледенение всего нагорья в целом	Предбайкалье и Забайкалье	М., 1965
15	1—31	Преображенский В. С., Фадеева Н. В., Мухина Л. И., Томилов Г. М. Типы местности и природное районирование Бурятской АССР	М., Изд-во АН СССР, 1959
16	31	Радде Г. И. Путешествие в юго-восточную Сибирь	Зап. РГО, 1861, кн. 4
17	1—31	Сильницкая В. И. Новые данные о современных ледниках Восточного Саяна	Материалы гляциол. исслед. Хроника, обсуждения. Вып. 2, М., 1965
18	16—23	Томилов Г. М. Современное оледенение пика Топографов (Восточный Саян)	Сб. кратких науч. сообщений геогр. фак. Иркутского ун-та. Иркутск, 1962
19	Юго-восток Восточного Саяна	Томилов Г. М. Современное оледенение юго-восточной части Восточного Саяна	Материалы гляциол. исслед. Хроника, обсуждения. Вып. 11. М., 1965
20	9, 25	Ячевский Л. А. Краткий предварительный отчет о геологической части Саянской экспедиции Н. П. Бобрия	Изв. Вост.-Сиб. отд. РГО, 1888, т. 19, № 1

КАРДИНАЛЬНЫЕ
ХАРАКТЕРИСТИКИ
КЛИМАТА
АНГАРО-ЕНИСЕЙСКИЙ РАЙОН
(Алтай)

ВЫПУСК 1

ЕНИСЕЙ

Часть 4

БАССЕЙН р. КЕМЧИКА

ПРЕДИСЛОВИЕ

Каталог ледников бассейна р. Кемчика является частью многотомного издания Каталога ледников СССР, входящего в свою очередь в качестве самостоятельного раздела в справочник «Ресурсы поверхностных вод СССР».

Деление Каталога ледников СССР на тома, выпуски и части приведено выше в Каталоге ледников Восточного Саяна.

Настоящая часть Каталога содержит сведения о ледниках восточного склона Шапшальского хребта и северного склона Цаган-Шибэту (Восточный Алтай), находящихся на крайнем юго-западе Ангаро-Енисейского района.

Ледники располагаются в истоках самого Кемчика и его притоков рек Алаш, Улуг-Оруг, Шагпай, Чон-Хем, Чинге-Хем, Шуй, Барлык — непосредственно вблизи гребня хребтов Шапшальского, Цаган-Шибэту и их восточных и северных отрогов.

Все морфометрические сведения о ледниках помещены в табл. I — Основные сведения о ледниках, которая является наиболее важной составной частью Каталога. Непосредственно за ней в Каталоге помещены пояснения.

Таблица II — Список гидрометеорологических станций в районе ледников — приводит сведения о станциях и постах, наблюдения которых могут быть использованы для характеристики режима и климатических условий существования ледников.

Таблица III — Список суммарных осадкомеров и снегомерных пунктов в районе ледников — в настоящем Каталоге отсутствует, так как подобных пунктов и осадкомеров в пределах рассматриваемого района оледенения нет.

Таблица IV — Стационарные и экспедиционные исследования ледников — также отсутствует, поскольку таких исследований в данном районе не проводилось.

В табл. V приводится список работ, содержащих сведения о ледниках и физико-географических особенностях территории.

Порядок заполнения граф таблиц и методика картоизмерительных работ аналогичны описанным в Каталоге ледников Восточного Саяна. Следует отметить, что авторы располагали очень точными крупномасштабными картами и материалами аэрофотосъемок разных лет, что позволило весьма точно провести измерения. Там, где измерения проводились по карте $m = 1:100\,000$, дается пояснение: высоты даны условно. На аэрофотосъемке 1964 г. снежная линия расположена выше фирновой, поэтому в табл. I указана ее точная высота; по аэрофотосъемке 1955 и 1959 гг. имелась возможность указать положение снежной линии на середину августа этих лет.

Гляциологическое дешифрирование аэроснимков, необходимое для получения гляциологических характеристик, выполнено В. И. Сильницкой.

В Каталоге помещены схемы расположения районов оледенения и фотографии ледников.

Схемы отражают положение ледников на местности. Ввиду незначительности размеров ледников их изображение на схемах условно. Нумерация ледников, принятая на схемах, сохраняется в тексте и во всех таблицах.

Всякий раз она начинается от ледника, расположенного в бассейне притока, наиболее удаленного от истоков основной реки. Сначала нумеровались ледники левобережья потока, потом правобережья.

Помимо морфометрических данных, Каталог содержит краткую физико-географическую характеристику области современного оледенения Шапшала и Цаган-Шибэту, составленную по литературным данным. Характеристика ледников дается по состоянию на 1955—1965 гг.

Настоящий Каталог ледников составлен в отделе гляциологии Института географии АН СССР.

Большую помочь в работе по дешифрированию аэроснимков и выявлению границ зон льдообразования оказали О. Н. Виноградов и сотрудники стереофотолаборатории О. И. Ильина и А. М. Гринберг. В технической обработке материалов приняла активное участие Е. Д. Никанорова.

ХАРАКТЕРИСТИКА ГЕОГРАФИЧЕСКОГО ПОЛОЖЕНИЯ, МОРФОЛОГИИ, КЛИМАТИЧЕСКИХ УСЛОВИЙ И РЕЖИМА ЛЕДНИКОВ

Общие сведения. Бассейн р. Кемчика, крупнейшего левого притока Верхнего Енисея, протягивается на 300 км в северо-восточном направлении и занимает почти всю западную часть Тувы — Кемчинскую котловину. Она представляет собой почти правильный прямоугольник площадью около 30 000 км², обрамленный горами Западного Саяна на северо-западе, Танну-Ола на юго-востоке и край-

Кемчика смешанное, снегово-дождевое. Значительную роль играет грунтовое питание. Зимний снежный покров невысок, поэтому весенние паводки невелики, в то время как летние бывают весьма значительны.

Небольшое оледенение на восточном склоне Шапшала и северном склоне Цаган-Шибэту в интервале высот 2500—3500 м (рис. 15) существенного влияния на сток не оказывает, но само наличие

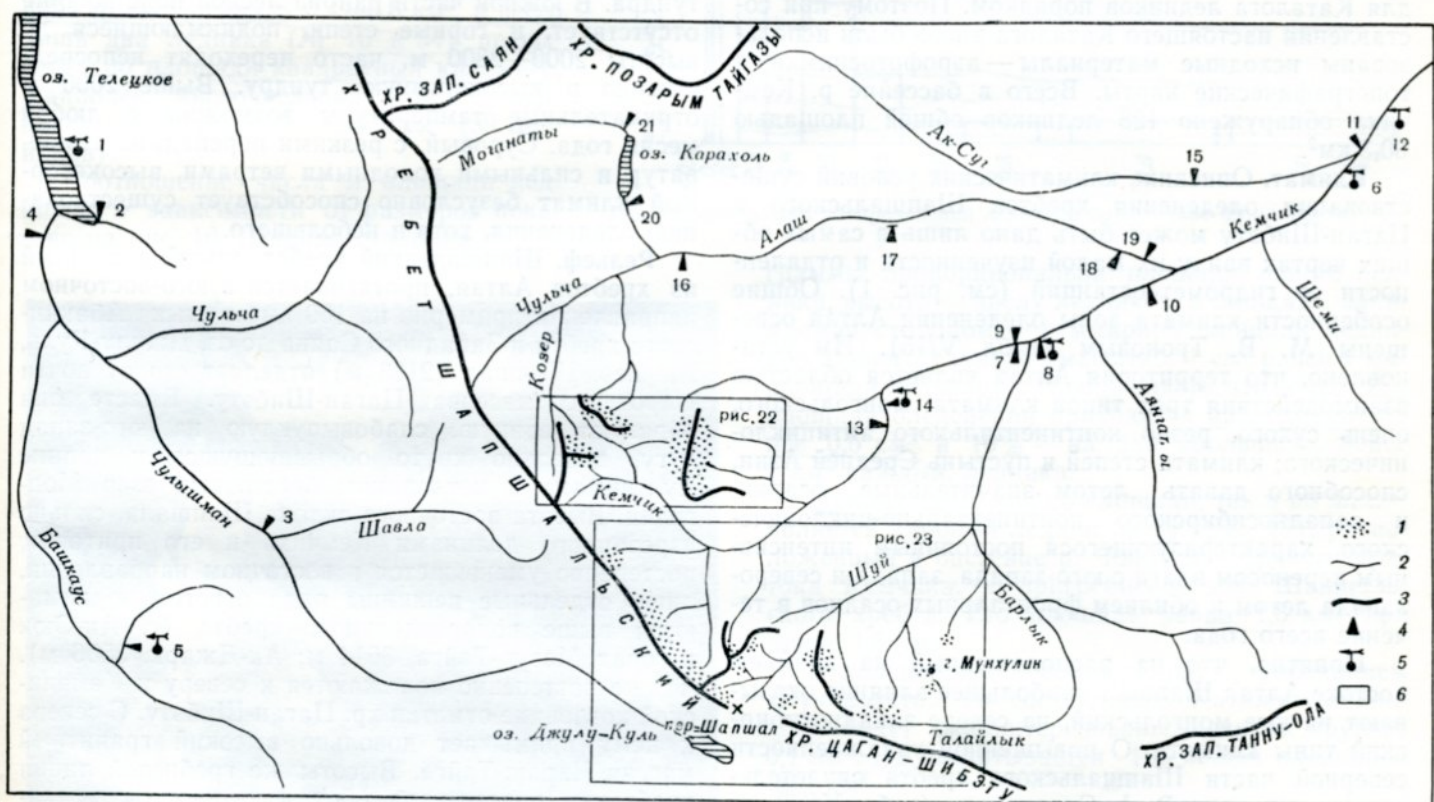


Рис. 15. Схема расположения ледниковых районов и гидрометеостанций.

1 — районы расположения ледников, 2 — реки и ручьи, 3 — горные хребты, 4 — гидрологические станции и посты (см. табл. II), 5 — метеорологические станции и посты, 6 — границы схем расположения ледников.

ними восточными отрогами Алтая — Шапшалом и Цаган-Шибэту — на юго-западе. Северо-восточную ее границу образует долина Енисея. Хребет Цаган-Шибэту отделяет бассейн Енисея от бассейна бессточных впадин Монголии, а почти меридиональный Шапшал является водоразделом систем рек Оби и Енисея. На его восточных склонах на высоте 2275 м над ур. м. и начинается Кемчик. Для него, как и для его притоков, характерно изобилие порогов и перекатов и бурное течение. Общее падение реки 1770 м на 323 км, площадь водосбора 27 320 км². Особенно круты верхние участки (уклон 37%). Средний годовой сток Кемчика в месте слияния с Енисеем около 160 км³ (табл. V/2, 8). Питание

такого оледенения свидетельствует о значительных суммах твердых осадков в пригребневых частях этих хребтов.

Первые посещения русскими исследователями верховьев Кемчика относятся к концу 19 — началу 20 века. Здесь проводили исследования А. В. Адрианов (1881), Д. А. Клеменец (1885), П. Г. Игнатов (1901), В. А. Ошурков (1902), В. В. Сапожников (1905—1909), впервые нанесший на карту два ледника к востоку от пер. Шапшал. В известном труде Г. Е. Грумм-Гржимайло «Западная Монголия и Урянхайский край» содержится указание на то, что гребни Шапшала и Цаган-Шибэту поднимаются выше линии вечного снега.

В течение последующих шестидесяти лет территория была обстоятельно изучена геологами. Подробная история исследований содержится в работах В. А. Обручева¹ и З. А. Лебедевой² и в 29-м томе издания «Геология СССР». К сожалению, эти исследования не содержат почти никаких сведений о ледниках.

Первая обстоятельная характеристика современного оледенения бассейна Кемчика была дана Н. И. Михайловым (1961) и Е. Д. Донченко (1960) по результатам изучения аэрофотосъемки и крупномасштабных топографических карт. Н. И. Михайлов (табл. V/10) указывает на наличие 27 ледников общей площадью 10,85 км², Е. Д. Донченко (табл. V/6) — 43 ледников площадью 17,9 км². В 1962 г. Е. Д. Донченко на основании перечня вопросов Паспорта ледника (табл. V/7) публикует сведения о 58 ледниках общей площадью 19,8 км². К сожалению, ни одна из этих трех работ не охватывает всей территории оледенения, нумерация ледников не согласована и не совпадает с принятой для Каталога ледников порядком. Поэтому при составлении настоящего Каталога вновь были использованы исходные материалы — аэрофотоснимки и топографические карты. Всего в бассейне р. Кемчика обнаружено 128 ледников общей площадью 30,3 км².

Климат. Описание климатических условий существования оледенения хребтов Шапшальского и Цаган-Шибэту может быть дано лишь в самых общих чертах ввиду их малой изученности и удаленности от гидрометеостанций (см. рис. 1). Общие особенности климата зоны оледенения Алтая освещены М. В. Троновым (табл. V/15). Им установлено, что территория Алтая является областью взаимодействия трех типов климата: монгольского, очень сухого, резко континентального антициклического; климата степей и пустынь Средней Азии, способного давать летом значительные осадки, и западносибирского континентально-циклонического, характеризующегося постоянным интенсивным переносом влаги с юго-запада, запада и северо-запада летом и обилием фронтальных осадков в течение всего года.

Понятно, что на расположенный на крайнем востоке Алтая Шапшал наибольшее влияние оказывают на юге монгольский, на севере западносибирский типы климата. О повышенной увлажненности северной части Шапшальского хребта свидетельствуют и данные В. А. Скорнякова (табл. V/13) по стоку в верховьях р. Абакан. Таким образом, увлажнение района оледенения уменьшается с северо-запада на юго-восток одновременно с увеличением степени континентальности климата. По имеющимся данным (табл. V/10), на западном склоне Шапшала выпадает около 800—1000 мм осадков, причем 80% в виде снега, доминирующего даже в летние месяцы. Преобладание осадков в теплое время года (апрель—октябрь) благоприятствует существованию оледенения. Сохранение густой облачности и летние снегопады в поясе высот 3000—4000 м препятствуют аблации.

¹ Обручев В. А. Естественные богатства Танну-Тувинской республики и степень изученности последней. — Новый Восток, 1926, № 13 и 14.

² Лебедева З. А. Основные черты геологии Тувы. — Труды Монгольской комиссии АН СССР, № 26, Л., 1938.

Поскольку территория советского Алтая находится в основном к северу от континентальной оси высокого давления, здесь должно преобладать юго-западное направление ветров (табл. V/15), а летом — ветры западных и северных румбов. В более высоких слоях атмосферы следует ожидать устойчивых юго-западных с некоторым поворотом на запад воздушных течений. Такое направление ветров подтверждается существованием многометровых карнизов и надувов снега на склонах северной и восточной экспозиций.

По-видимому, перевевание снега с западного склона Шапшала на восточный оказывает большое влияние на существование ледников.

Можно предполагать, что климат высокогорной зоны Шапшала и Цаган-Шибэту весьма схож с описанным выше климатом высокогорий Восточного Саяна. Это сходство подтверждается и сходством растительности. Верхняя граница леса проходит здесь на уровне 1900—2000 м (табл. V/14), выше располагаются высокогорные пустыни и тундра. В южной части района лесной пояс вообще отсутствует, и горные степи, поднимающиеся до высоты 2000—2800 м, часто переходят непосредственно в высокогорную тундру. Выше 2000 м отрицательные температуры возможны в любой месяц года. Суровый, с резкими перепадами температур и сильными холодными ветрами, высокогорный климат безусловно способствует существованию оледенения, хотя и небольшого.

Рельеф. Шапшальский хребет, самый восточный из хребтов Алтая, протягивается в юго-восточном направлении примерно на 160 км от стыка Абаканского хребта и Западного Саяна до оз. Джулу-Куль, где пер. Шапшал (2183 м) отделяет его от почти широтного массива Цаган-Шибэту. Вместе они образуют единую, слабовыпуклую на юго-запад дугу, довольно круто обрывающуюся к долине Чулышмана и котловинам бессточных озер Монголии. Высота восточного склона Шапшала, сильно изрезанного долинами Кемчика и его притоков, постепенно уменьшается в восточном направлении, лишь отдельные вершины ряда отрогов поднимаются выше водораздельного хребта (г. Ак-Оюк в горах Мозур-Тайга, 3614 м; Ак-Джарк, 3506 м). Также постепенно понижаются к северу к Кемчинской котловине отметки хр. Цаган-Шибэту. С севера к нему примыкает довольно высокий гранитный массив Чараш-Тайга. Высоты же гребневой линии хребтов в целом нарастают в юго-восточном направлении от 2700—2800 м в верховьях р. Алаш до 3400—3500 м на широте оз. Джулу-Куль. Наивысшая точка Шапшальского хребта (в массиве Тошкалы-Кая) 3507 м. Водораздельные поверхности хр. Цаган-Шибэту лежат на высотах 3500 м, высшая точка — г. Мунхулик (3578 м).

Район сложен допалеозойскими метаморфическими сланцами и нижнепалеозойскими песчано-сланцевыми толщами. Широкое распространение имеют гранитные интрузии палеозоя. Крупные осложненные сбросами своды современных хребтов образовались во время неоген-четвертичного поднятия территории, которое продолжается и в настоящее время. На Алтае обычно отмечается 2—3 землетрясения в год, некоторые из них достигают 8 баллов (табл. V/3).

В результате совместного воздействия тектонических процессов, ледниковой и водной эрозии обра-

зовались хребты с характерным чередованием плоских водоразделов и альпийских форм. В юго-восточном направлении расчлененность рельефа увеличивается, хребты приобретают вид узких быстрых гребней, изъеденных карами и цирками, зачастую нескольких порядков. Различными авторами здесь отмечено от двух до четырех эпох четвертичного оледенения.

В эпохи максимального развития оледенения ледники спускались по крайней мере до высот 1200—1300 м.

Морфология и режим ледников. Современное оледенение бассейна р. Кемчика располагается в интервале высот 2500—3500 м и занимает площадь 30,3 км². Оно представлено 128 небольшими ледниками. Площадь 25 ледников не достигает 0,1 км², площадь еще 78 ледников не превышает 0,1—0,3 км², 23 ледника имеют площадь 0,4—0,8 км², и всего лишь два ледника (№ 16 и 54) превышают по площади квадратный километр. Наиболее многочисленна группа ледников площадью в 0,1 и 0,2 км² (59 ледников).

Соотношение числа и площади ледников в зависимости от размеров показано на рис. 16. Ширина столбика гисто-

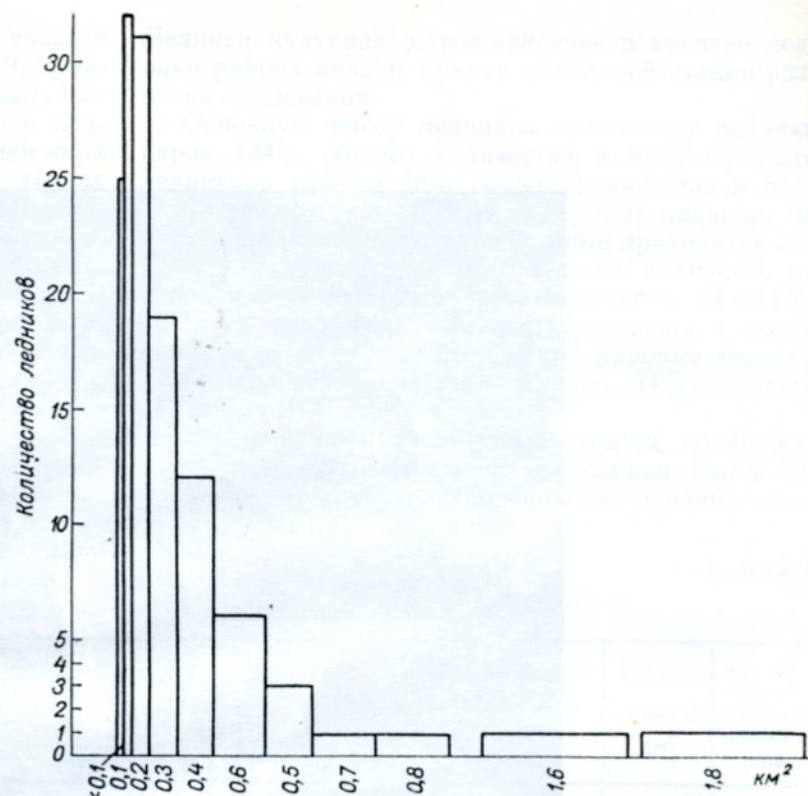


Рис. 16. Диаграмма распределения ледников по величине их площади.

граммы пропорциональны площади одного ледника, высота — числу ледников, а площадь, занимаемая столбцом, — суммарной площади ледников данного размера (масштаб: 1 см² равен 1 км² площади ледников). Можно видеть, что почти 70% площади оледенения приходится на ледники менее 0,5 км² и 10% — на два «больших», менее 2 км² каждый, ледника.

Наибольшим, как по площади, так и по длине, является каровый ледник № 54 (рис. 17), расположенный в бассейне р. Чой-Хем — правого притока Кемчика, в пригребневой зоне Шапшальского хребта. Его площадь равна 1,8 км² при длине 1,5 км.

В дальнейшем в соответствии с требованием «Руководства по составлению Каталога ледников» будут охарактеризованы ледники крупнее 0,1 км². Их насчитывается 103 общевойской площадью 29,1 км².

Оледенение левобережья Кемчика (ледники № 1—38) приурочено к трем небольшим хребтам, являющимся отрогами Шапшала: Высокому, Скалистому и безымянному хребту, одной из вершин которого является г. Снежная.

На правобережье Кемчика ледники (№ 39—103) расположены непосредственно в пригребневых участках Шапшала и Цаган-Шибэту и в их отрогах — горах Мозур-Тайга, Сайлыгхем-Тайгазы и на вершине Мунхулик. Таким образом, ледники района рассредоточены на сравнительно небольшой территории (2400 км²) несколькими компактными группами (рис. 18). Почти все они (исключение составляют 7 висячих ледников) расположены в карах древнего оледенения. Обычно в стенке большого кара выработаны несколько меньших, как бы второго порядка. Они и служат вместилищем для современных ледников, которые часто занимают дно такого



Рис. 17. Каровый ледник № 54 — самый крупный ледник района оледенения.



Рис. 19. Группа ледников хребта Скалистый: каровый № 11, висячий ледник кара № 12, прислоновый каровый № 14, асимметричный каровый № 15, карово-долинный № 16.

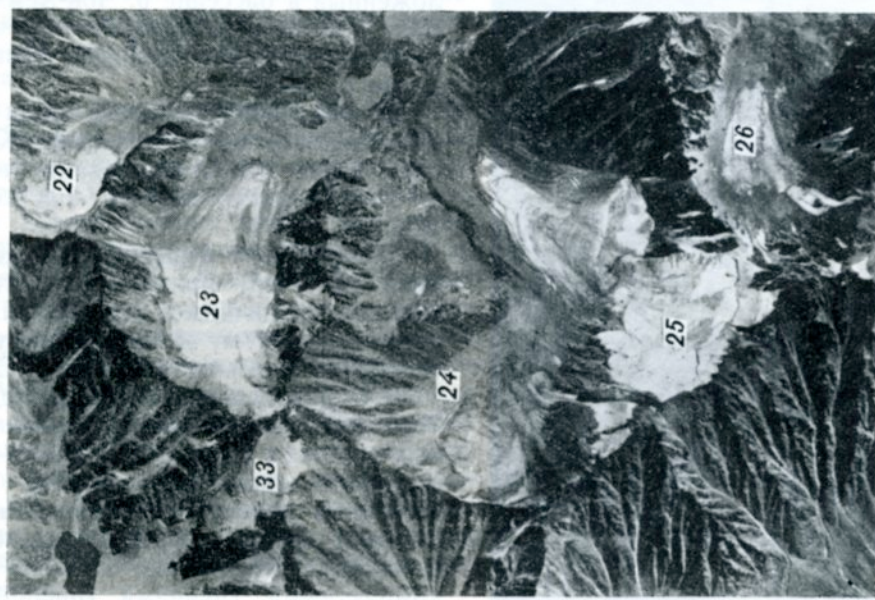


Рис. 18. Каровые ледники № 22—26 восточной половины горизонта и ледник кулуара № 33, обращенный на северо-запад.

кара (каровые ледники) или небольшой участок dna и стенку кара над ним (рис. 19, ледник № 15) (асимметричные каровые ледники), или только верхнюю часть стенки кара (висячие ледники каров), или только нижнюю часть стенки кара (прислоновые каровые ледники) (рис. 19, ледник № 14). Таким образом, оледенение бассейна р. Кемчика представлено несколькими видами каровых ледников — типично каровыми, асимметричными каровыми, прислоновыми каровыми, карово-висячими, висячими каровыми, одним карово-долинным (рис. 19, ледник № 16) — иическими видами висячих — типично висячими, карово-висячими, одним ледником кулуара (см. рис. 18, ледник № 33) и переметным ледником, составленным из висячего (ледник № 77) и карово-висячего (ледник № 76) (рис. 20, табл. 6).

Ледники кулуаров, карово-висячие и висячие ледники района являются пример начальной стадии развития оледенения.

Основную массу ледников составляют ледники каров (84% общего количества и 83% площади ледников), причем 48% общего количества и 55% площади занимают типичные каровые ледники; на висячие каровые и карово-долинные приходится 2% общего количества и 6% площади ледников, на различные виды висячих — соответственно 14 и 11%.

Наиболее характерны для оледенения в целом небольшие, размером 0,1—0,4 км², каровые ледники (40% общего количества ледников, 34% площади оледенения).

Соотношение размеров ледников не обнаруживает четкой зависимости от экспозиции (табл. 7).

Северо-восточную экспозицию имеет наибольшее

Таблица 6

Соотношение числа ледников разных типов и величины их площади

Типы ледников	Количе- ство	Площадь ледника, км ²								Общая площадь, км ²	% от общей площади оледене- ния
		0,1	0,2	0,3	0,4	0,5	0,6	0,7—0,8	>1		
Ледники кулуаров	1	1	—	—	—	—	—	—	—	0,1	0,3
Висячие	7	6	—	—	1	—	—	—	—	1,0	3,4
Карово-висячие	6	—	2	2	—	—	2	—	—	2,2	7,6
Всего	14	—	—	—	—	—	—	—	—	3,3	11,3
Висячие каровые	1	—	1	—	—	—	—	—	—	0,2	0,7
Карово-долинные	1	—	—	—	—	—	—	—	1	1,4	4,8
Всего	2	—	—	—	—	—	—	—	—	1,6	5,5
Каровые	48	10	10	11	9	2	3	2	1	16,0	55,0
Асимметричные каровые . . .	16	5	6	2	2	1	—	—	—	3,6	12,4
Висячие ледники каров . . .	16	4	8	3	—	—	1	—	—	3,5	12,0
Прислоновые каровые лед- ники	7	4	2	1	—	—	—	—	—	1,1	3,8
Всего	87	—	—	—	—	—	—	—	—	24,2	83,2
Количество ледников всех ти- пов	103	30	29	19	12	3	6	2	2	—	—
Площадь ледников всех типов	—	—	3,0	5,8	5,7	4,8	1,5	3,6	1,5	3,2	29,1
% от общей площади оледене- ния	—	10,3	19,9	19,6	16,5	5,2	12,3	5,2	11,0	—	100

Таблица 7

Распределение ледников разной величины
по экспозициям

Площадь одного ледника, км ²	СЗ	С	СВ	В	ЮВ	Ю	Общее количество ледников
0,1	3	8	9	6	2	2	30
0,2	3	10	10	4	2	—	29
0,3	3	3	8	5	—	—	19
0,4	2	5	3	1	1	—	12
0,5	1	1	—	1	—	—	3
0,6	1	1	3	1	—	—	6
0,7—0,8	1	—	1	—	—	2	2
>1	—	2	—	—	2	—	2
Итого:	14	28	36	18	5	2	103
Суммарная площадь ледников	0,31	0,24	0,34	0,24	0,20	0,10	—
% от общей площади	4,4	6,8	12,3	4,4	1,0	0,2	29,1
	15,1	23,4	42,3	15,1	3,4	0,7	100

Таблица 8

Распределение ледников разных типов по экспозициям

Типы ледников	СЗ	С	СВ	В	ЮВ	Ю	Суммарное количество ледников
Висячие (висячие, кулуаров, каро- во-висячие) . . .	4	2	2	2	2	2	14
Висячие каровые и карово-долин- ные	1	—	1	—	—	—	2
Каровые	4	11	16	14	3	—	48
Висячие ледники каров	2	10	4	—	—	—	16
Асимметричные каровые	2	3	10	1	—	—	16
Прислоновые ка- ровые	1	2	3	1	—	—	7
Всего	14	28	36	18	5	2	103

количество ледников (36), на северо-восток ориентированы три самых больших ледника (№ 16, 49 и 54). Довольно много ледников обращено на север (28), северо-запад и восток (соответственно 14 и 18). На юг и юго-восток обращено всего 7 небольших ($0,1$ — $0,4 \text{ км}^2$) ледников, на юго-запад и запад — ни одного.

Интересная зависимость обнаруживается при сравнении типа и экспозиции ледников (табл. 8). Если для восточной экспозиции наиболее характерны каровые ледники (14 из 18), для северо-восточной — каровые и асимметричные каровые (26 из 36), то для северной наиболее характерными являются каровые и висячие ледники каров, а для северо-западной и юго-восточной — каровые и ви-

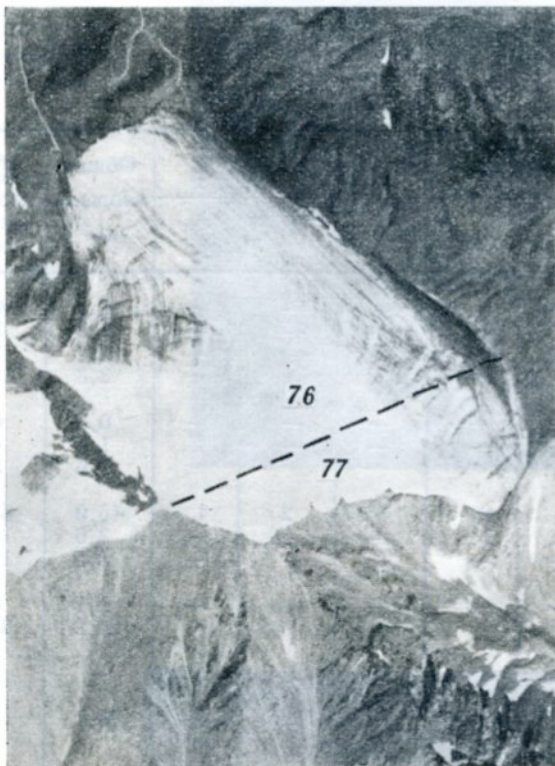


Рис. 20. Карово-висячий переметный ледник № 76 и висячий переметный ледник № 77.

сячие ледники. На юг обращены только висячие ледники.

Анализируя табл. 8, можно заметить, что при движении к юго-востоку исключительное преобладание каровых ледников сменяется преобладанием каровых и асимметричных каровых, далее — каровых и висячих ледников каров, затем — каровых и висячих и, наконец, на крайнем юго-востоке — висячих ледников.

При совместном анализе распределения ледников по экспозиции и высоте (табл. 9—14) выясняется интересная закономерность. Сведения о ледниках распределены в табл. 9—14 следующим образом: в каждую из них помещены ледники одной экспозиции в порядке возрастания номеров, т. е. от ледников, расположенных на северо-западе, к ледникам юго-востока. При таком расположении материала легко выяснить, что при движении к юго-востоку оледенение «поворачивает» с преимущественно восточной и северо-восточной экспози-

цией к северо-восточной и северной, а затем к северной и северо-западной. Два ледника южной экспозиции (№ 98 и 102) иллюстрируют положение ледников на крайнем юго-востоке, пять ледников юго-восточной экспозиции расположены на значительном удалении от гребневой зоны хребта на крайнем востоке территории.

Анализ рис. 21, построенного по данным табл. 9—14, позволяет сделать следующие выводы.

1. Верхняя граница оледенения (отметки высших точек ледников) равномерно повышается с северо-запада территории к юго-востоку и востоку.

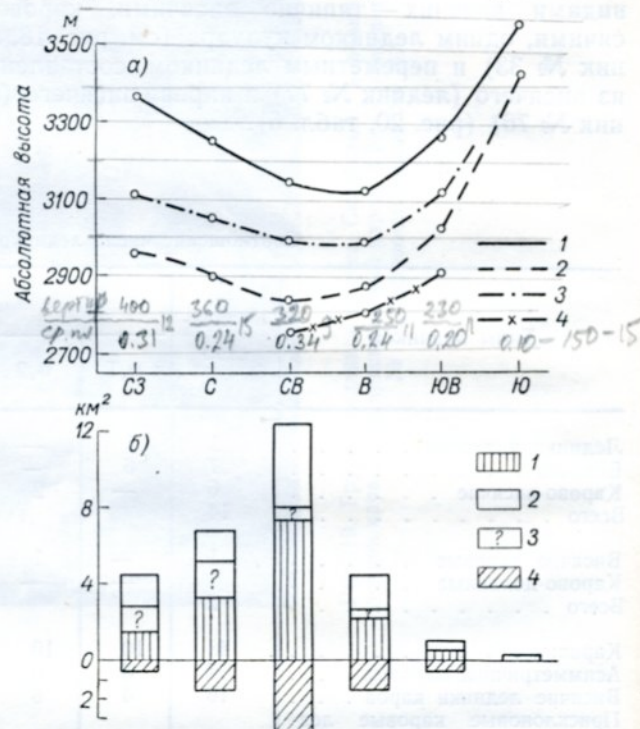


Рис. 21. Распределение оледенения по высоте (а) и площади (б) в зависимости от ориентации ледников.

а: 1 — высотное положение верхних точек ледников (в среднем по экспозиции), 2 — высотное положение нижних точек ледников (в среднем по экспозиции), 3 — высотное положение фирновой линии, 4 — положение нижних точек ясно выраженных конечных морен; б: 1 — суммарная площадь области аккумуляции ледников, 2 — суммарная площадь области абляции, 3 — суммарная площадь ледников, где положение фирновой линии не определено, 4 — суммарная площадь ясно выраженных конечных морен.

2. Снеговая линия сохраняет неизменное положение в северо-западных и центральных (пригребневых) частях оледенения, заметно повышаясь лишь на крайнем востоке и юго-востоке.

3. Концы ледников ниже всего опускаются в центральной, пригребневой части (2830 м), немного повышаясь к северо-западу (2870 м) и значительно — к востоку и юго-востоку (соответственно 3030, 3420 м).

Таким образом, вертикальная протяженность области абляции по территории меняется незначительно (от 120 до 160 м), несколько уменьшаясь на северо-западе и заметно — лишь на крайнем востоке, а области аккумуляции закономерно увеличивается от 120 м на северо-западе до 200 м в центральных частях и до 230 на юго-востоке. На востоке (ледники юго-восточной экспозиции) вертикальная протяженность зоны оледенения вообще мала (90 м зоны абляции и 140 м зоны аккумуляции).

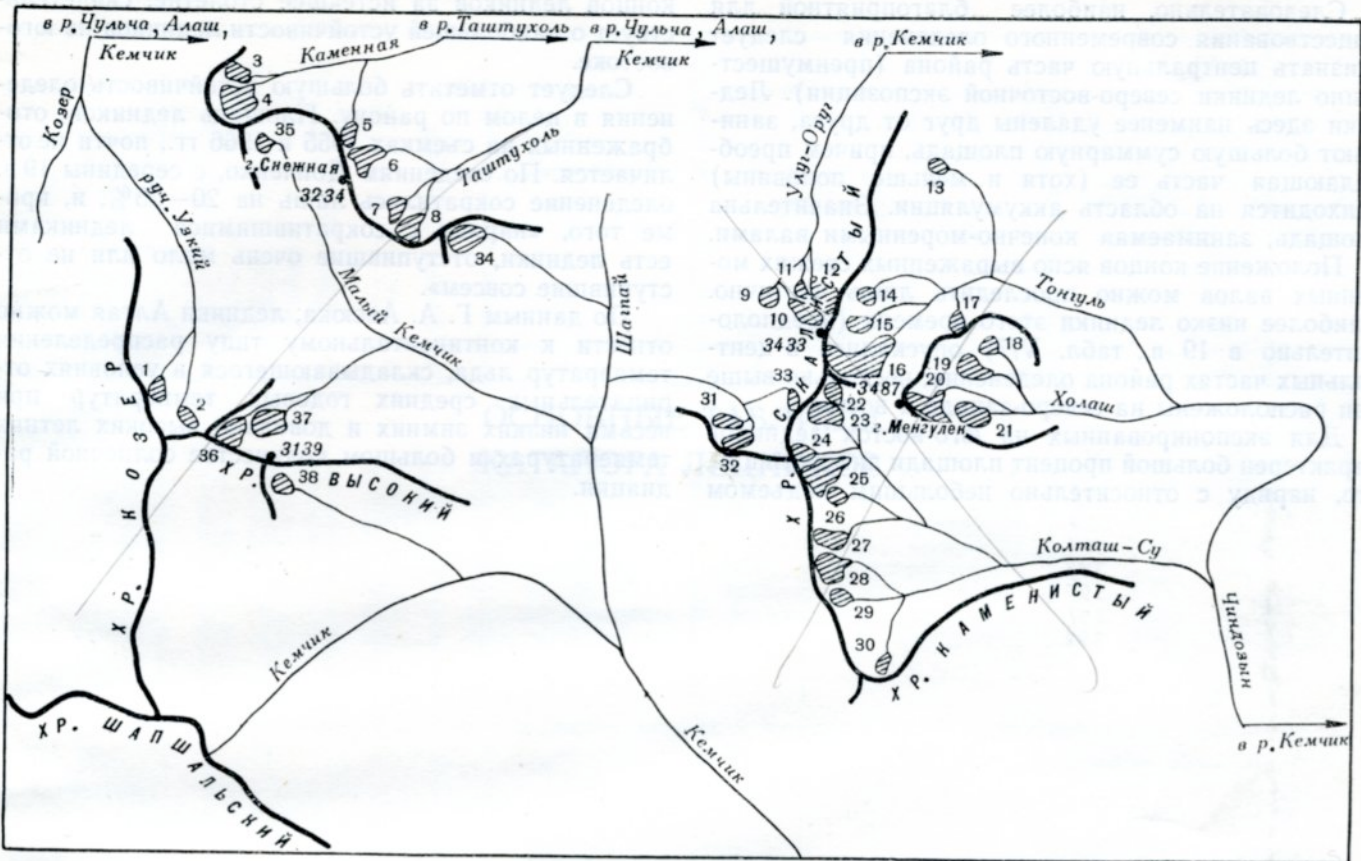


Рис. 22. Схема расположения ледников левобережья р. Кемчика.

Усл. обозначения см. на рис. 12.

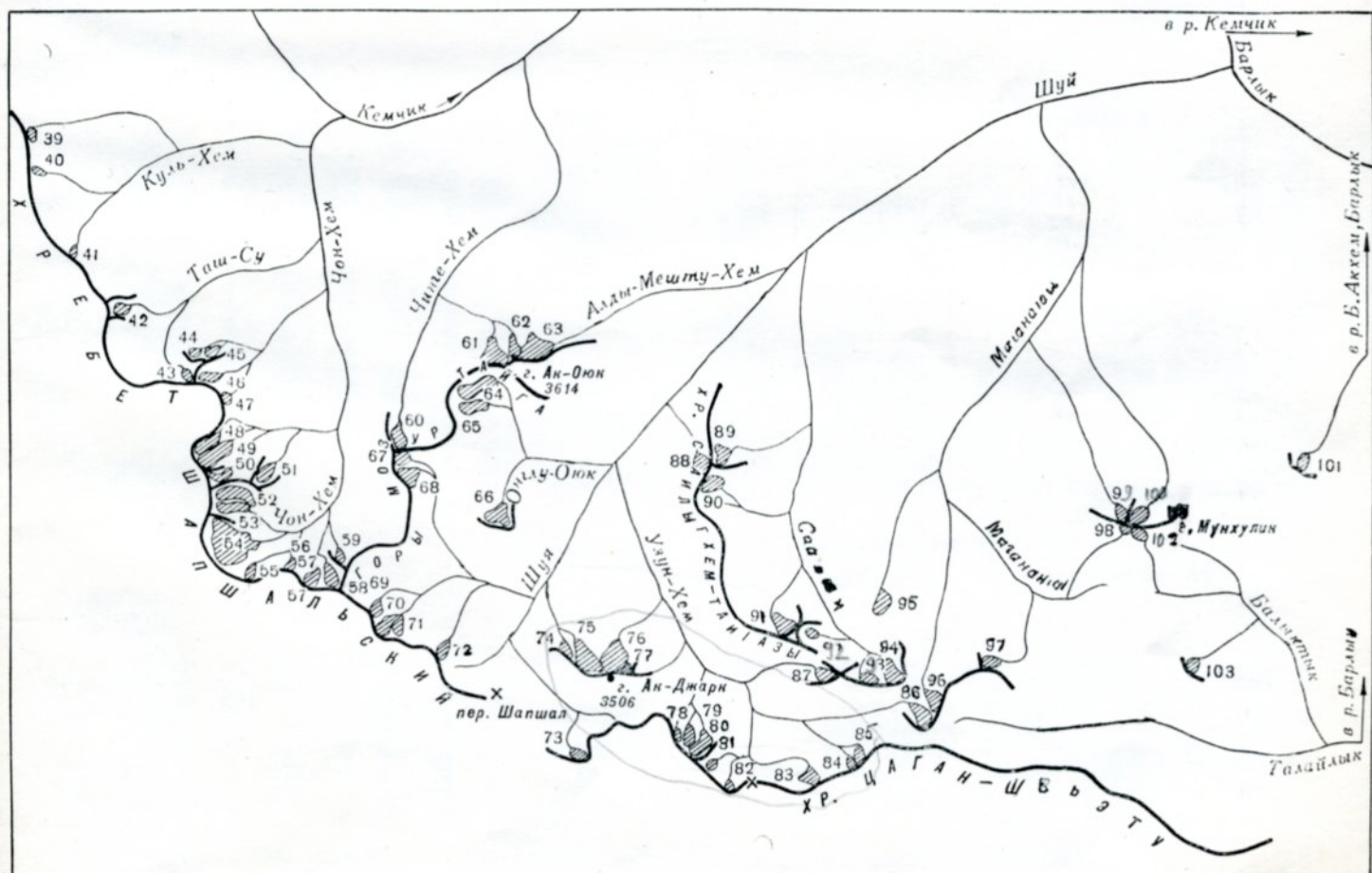


Рис. 23. Схема расположения ледников правобережья р. Кемчика.

Усл. обозначения см. на рис. 12.

Следовательно, наиболее благоприятной для существования современного оледенения следует признать центральную часть района (преимущественно ледники северо-восточной экспозиции). Ледники здесь наименее удалены друг от друга, занимают большую суммарную площадь, причем преобладающая часть ее (хотя и меньше половины) приходится на область аккумуляции. Значительна площадь, занимаемая конечно-моренными валами.

Положение концов ясно выраженных свежих моренных валов можно проследить лишь частично. Наиболее низко ледники этого времени (предположительно в 19 в., табл. V/7) опускались в центральных частях района оледенения, несколько выше они расположены на северо-западе и востоке.

Для экспонированных на юго-восток ледников характерен большой процент площади аккумуляции, что, наряду с относительно небольшим подъемом

концов ледников за истекшее столетие, свидетельствует о наибольшей устойчивости ледников на юго-востоке.

Следует отметить большую устойчивость оледенения в целом по району. Площадь ледников, отображеных на съемках 1955 и 1966 гг., почти не отличается. По сведениям Донченко, с середины 19 в. оледенение сократилось лишь на 20—25%, и, кроме того, «наряду с сократившимися ледниками есть ледники, отступившие очень мало или не отступившие совсем».

По данным Г. А. Авсяюка, ледники Алтая можно отнести к континентальному типу распределения температур льда, складывающегося в условиях отрицательных средних годовых температур при весьма низких зимних и довольно высоких летних температурах и большом количестве солнечной радиации.

ОСНОВНЫЕ ТАБЛИЦЫ КАТАЛОГА ЛЕДНИКОВ

ОСНОВНЫЕ СВЕДЕНИЯ

№ по схеме	Название	Название реки, вытекающей из ледника	Морфологический тип	Общая экспозиция	Наибольшая длина, км		Площадь, км ²	
					всего ледника	в том числе открытой части	всего ледника	в том числе открытой части
1	2	3	4	5	6	7	8	9

16-1-4

Бассейн р. Чуль-Ча

Восточный склон

50 57 89 20 1*	2580 № 1 385	руч. Узкий	кар.	СВ	0,6	0,5	0,2	0,2
50 57 89 20 2*	2640 № 2 386	руч. Узкий	кар.	СЗ	0,6	0,6	0,1	0,1
51 02 89 21 3*	2860 № 3 387	Каменная	кар.	ЮВ	0,6	0,6	0,2	0,2
51 02 89 22 4*	2840 № 4 388	Каменная	кар.	В	1,0	0,8	0,5	0,4
51 01 89 24 5*	2980 № 5 389	пр. р. Каменной	вис. (кар.)	С	0,6	0,6	0,2	0,2
51 01 89 24 6*	3020 № 6 390	пр. р. Ташухоль	кар.	В	0,9	0,9	0,3	0,3
51 01 89 25 7*	2250 № 7 391	Ташухоль	присклон. кар.	СВ	0,4	0,2	0,1	0,05
51 01 89 26 8*	3000 № 8 392	Ташухоль	кар.-вис.	С	0,6	0,6	0,3	0,3
8 ледников							1,9	

Кроме того, в бассейне р. Чуль-Ча имеется 2 ледника площадью менее 0,1 км² каждый, общей площадью 0,1 км²

Итого 10 ледников

Бассейн р. Улуг-

Западный склон хр. Скалистый

50 53 9*	2920 № 9 393	Улуг-Оруг	89 36	асимм. кар.	СВ	0,4	0,4	0,2	0,15
50 53 10*	3140 № 10 394	Улуг-Оруг	89 37	асимм. кар.	СЗ	0,8	0,7	0,3	0,25
50 53 11*	2800 № 11 395	Улуг-Оруг	89 37	кар.	С	0,4	0,3	0,1	0,1
51 90 12*	3020 № 12 396	Улуг-Оруг	89 38	вис. (кар.)	С	1,0	1,0	0,3	0,3
4 ледника							0,9		

Бассейн р. Чиндо

Восточный склон хр. Скалистый

51 01 13*	3220 № 13 89 39 397	пр. р. Тонгуль	89 39	кар.	В	0,5	0,4	0,2	0,2
51 00 14	2990 № 14 398	пр. р. Тонгуль	89 39	присклон. кар.	СВ	0,5	0,5	0,1	0,1
50 53 15	3025 № 15 399	пр. р. Тонгуль	89 39	асимм. кар.	СВ	0,6	0,5	0,2	0,15
50 53 16*	2920 № 16 400	Тонгуль	89 39	кар.-дол.	СВ	2,3	2,2	1,4	1,3
50 53 17	3140 № 17 401	пр. р. Тонгуль	89 40	вис.	С	0,5	0,5	0,1	0,1
50 53 18	3300 № 18 402	пр. р. Холаш	89 41	вис.	В	0,3	0,3	0,1	0,1
50 53 19*	3240 № 19 403	пр. р. Холаш	89 41	кар.	В	0,9	0,8	0,3	0,3
50 53 20	3220 № 20 404	Холаш	89 40	вис. (кар.)	СВ	0,7	0,7	0,3	0,3
50 53 21*	2920 № 21 405	Холаш	89 41	кар.	СВ	0,7	0,6	0,3	0,25
50 53 22	2980 № 22 406	пр. р. Колташ-Су	89 37	кар.	ЮВ	0,5	0,5	0,1	0,1
50 53 23	2990 № 23 407	пр. р. Колташ-Су	89 37	кар.	В	1,0	1,0	0,4	0,4
50 53 24*	3060 № 24 408	пр. р. Колташ-Су	89 37	кар.	В	0,7	0,6	0,2	0,15
50 53 25*	2990 № 25 409	пр. р. Колташ-Су	89 37	кар.	СВ	1,4	1,3	0,6	0,5
50 53 26	2940 № 26 410	пр. р. Колташ-Су	89 37	кар.	В	0,7	0,7	0,2	0,15
50 53 27	3080 № 27 411	пр. р. Колташ-Су	89 37	присклон. кар.	СВ	0,5	0,5	0,3	0,3
50 53 28	3020 № 28 412	Колташ-Су	89 37	кар.	В	0,9	0,9	0,3	0,3
50 53 29	2820 № 29 413	Колташ-Су	89 37	кар.	В	0,5	0,5	0,1	0,1
50 53 30*	2860 № 30 414	Колташ-Су	89 39	кар.	С	0,5	0,5	0,1	0,1
18 ледников							5,3		

Кроме того, в бассейне р. Чиндо имеется 2 ледника площадью менее 0,1 км² каждый, общей площадью 0,1 км²

Итого 20 ледников

Бассейн р. Шагпай

Восточный склон

50 57 31 415	2700 № 31 89 34	пр. р. Шагпай		кар.	В	0,6	0,3	0,1	0,05
50 57 32 416	2680 № 32 89 35	пр. р. Шагпай		кар.	СВ	0,7	0,3	0,2	0,1
50 57 33 417	3120 № 33 89 36	пр. р. Шагпай		кул.	СЗ	0,6	0,6	0,1	0,1
51 00 34*418	2780 № 34 89 26	пр. р. Шагпай		кар.	В	0,9	0,8	0,3	0,3
51 01 35*419	2780 № 35 89 23	Малый Кемчик		присклон. кар.	В	0,4	0,3	0,1	0,1
50 57 36*420	2880 № 36 89 22	пр. р. Малый Кемчик		кар.	СВ	0,7	?	0,3	?
50 57 37*421	2680 № 37 89 22	пр. р. Малый Кемчик		кар.	СВ	0,7	?	0,3	?
7 ледников							1,4		

Кроме того, в бассейне р. Шагпай имеется 2 ледника площадью менее 0,1 км² каждый, общей площадью 0,1 км²

Итого 9 ледников

ТАБЛИЦА I

НИЯ О ЛЕДНИКАХ

Высота, м		Фирновая линия		Площадь области аблации, км ²		Ссылки на последующие таблицы (илюстрации)	
найменшей точки конца ледника	найменшей точки открытой части ледника	высшей точки ледника	высота, м	способ определения и дата	общая	в том числе открытой части	№ таблиц и иллюстраций порядковый № сведений в таблицах
10	11	12	13	14	15	16	17

(реки Алаш, Кемчик)

Шапшальского хребта

2470	2500	2700	2570	АФС 2/IX 1962 г.	0,1	0,1	V/7
2540	2550	2750	2650	АФС 2/IX 1962 г.	0,05	0,05	V/7
2770	2770	2950	2860	АФС 19/VIII 1964 г.	0,1	0,1	V/7
2740	2760	2950	2860	АФС 19/VIII 1964 г.	0,4	0,3	V/7
2800	2800	3150	2950	АФС 19/VIII 1964 г.	0,1	0,1	V/7
2900	2900	3150	3000	АФС 19/VIII 1964 г.	0,15	0,15	V/7
2600	2750	2900	2850	АФС 19/VIII 1964 г.	0,1	0,05	V/7
2800	2800	3200	3000	АФС 19/VIII 1964 г.	0,2	0,2	V/7

Оргу (р. Кемчик)

(восточный склон Шапшальского хребта)

2850	2870	2980	2930	АФС 19/VIII 1964 г.	0,15	0,1	V/6, 7
2870	2900	3400	3000	АФС 19/VIII 1964 г.	0,15	0,1	V/6, 7
2700	2750	2900	2780	АФС 19/VIII 1964 г.	0,05	0,05	рис. 19
2700	2700	3330	2950	АФС 19/VIII 1964 г.	0,15	0,15	V/6, 7; рис. 19

зын (р. Кемчик)

(восточный склон Шапшальского хребта)

3140	3150	3300	3240	АФС 19/VIII 1964 г.	0,15	0,15	V/7
2900	2900	3080	2980	АФС 19/VIII 1964 г.	0,05	0,05	V/7; рис. 19
2900	2920	3150	3050	АФС 19/VIII 1964 г.	0,15	0,1	V/6, 7; рис. 19
2580	2600	3250	2900	АФС 19/VIII 1964 г.	0,8	0,7	V/6, 7; рис. 19
2980	2980	3300	2980	АФС 19/VIII 1964 г.	—	—	
3220	3220	3380	3220	АФС 19/VIII 1964 г.	—	—	
3090	3120	3400	3250	АФС 19/VIII 1964 г.	0,15	0,15	V/6, 7
2950	2950	3480	3020	АФС 19/VIII 1964 г.	0,05	0,05	V/6, 7
2780	2800	3050	2950	АФС 19/VIII 1964 г.	0,2	0,15	V/6, 7
2900	2900	3050	3000	АФС 19/VIII 1964 г.	0,05	0,05	V/6, 7; рис. 18
2830	2830	3150	3000	АФС 19/VIII 1964 г.	0,2	0,2	V/6, 7; рис. 18
2950	2970	3170	3100	АФС 19/VIII 1964 г.	0,15	0,1	V/6, 7; рис. 18
2680	2700	3300	3050	АФС 19/VIII 1964 г.	0,4	0,3	V/6, 7; рис. 18
2770	2770	3100	3000	АФС 19/VIII 1964 г.	0,15	0,1	V/6, 7; рис. 18
2900	2900	3250	3100	АФС 19/VIII 1964 г.	0,2	0,2	V/6, 7
2870	2870	3180	3080	АФС 19/VIII 1964 г.	0,2	0,2	V/6, 7
2740	2740	2900	2870	АФС 19/VIII 1964 г.	0,05	0,05	V/6, 7
2750	2750	2970	2930	АФС 19/VIII 1964 г.	0,1	0,1	V/6, 7

ср. 2970

(р. Кемчик)

Шапшальского хребта

2550	2650	2850	2700	АФС 19/VIII 1964 г.	0,05	—	
2570	2680	2800	2700	АФС 19/VIII 1964 г.	0,1	—	
2900	2900	3350	2900	АФС 19/VIII 1964 г.	—	—	
2760	2800	3100	3000	АФС 19/VIII 1964 г.	0,2	0,2	V/7
2720	2740	2850	2800	АФС 19/VIII 1964 г.	0,05	0,05	V/7
2730	2750	3050					V/6, 7, 10
2550	2570	2800					V/6, 7, 10

№ по схеме	Название	Название реки, вытекающей из ледника	Морфологический тип	Общая экспозиция	Наибольшая длина, км		Площадь, км²	
					всего ледника	в том числе открытой части	всего ледника	в том числе открытой части
1	2	3	4	5	6	7	8	9

Бассейн

Южный склон хр. Высокий, Восточ

50 56 89 22 38*42 2810 № 38 | пр. р. Кемчик | асимм. кар. | В | 0,5 | 0,5 | 0,1 | 0,1 |

Бассейн р. Чон-Восточный склон

50 47 89 30 39 42 2880 № 39	пр. р. Куль-Хем	вис. (кар.)	СВ	0,4	0,4	0,1	0,1
50 44 89 31 40 42 2850 № 40	Куль-Хем	кар.	В	0,4	0,4	0,1	0,1
50 44 89 33 41 42 2830 № 41	Куль-Хем	кар.	С	0,5	0,5	0,1	0,1
50 40 89 36 42 42 2950 № 42	Таш-Су	кар.	В	0,6	0,6	0,2	0,15
50 40 89 37 43 42 3050 № 43	пр. р. Таш-Су	вис. (кар.)	С	0,5	0,4	0,2	0,15
50 39 89 37 44 42 3120 № 44	пр. р. Чон-Хем	вис. (кар.)	СВ	0,3	0,3	0,1	0,1
50 39 89 38 45 42 2880 № 45	пр. р. Чон-Хем	асимм. кар.	СВ	0,3	0,3	0,1	0,1
50 39 89 38 46 42 2920 № 46	пр. р. Чон-Хем	асимм. кар.	СВ	0,4	0,4	0,2	0,2
50 38 89 38 47 42 2780 № 47	пр. р. Чон-Хем	кар.	СВ	0,2	0,2	0,1	0,05
50 38 89 38 48 42 2980 № 48	пр. р. Чон-Хем	кар.	СВ	1,3	1,2	0,6	0,5
50 37 89 39 49 42 3090 № 49	пр. р. Чон-Хем	кар.	СВ	1,5	1,4	0,8	0,7
50 37 89 39 50 42 3010 № 50	пр. р. Чон-Хем	присклон. кар.	С	0,4	0,4	0,2	0,2
50 37 89 41 51 42 2880 № 51	пр. р. Чон-Хем	кар.	СВ	0,8	0,7	0,2	0,1
50 36 89 40 52 42 3040 № 52	Чон-Хем	кар.	СВ	1,3	1,3	0,4	0,4
50 36 89 39 53 42 3020 № 53	Чон-Хем	кар.	СВ	1,0	1,0	0,4	0,4
50 35 89 39 54 42 3080 № 54	пр. р. Чон-Хем	кар.	СВ	1,5	1,5	1,8	1,7
50 34 89 42 55 42 3020 № 55	пр. р. Чон-Хем	асимм. кар.	СВ	0,6	0,4	0,2	0,15
50 35 89 43 56 42 3060 № 56	пр. р. Чон-Хем	присклон. кар.	СЗ	0,4	0,4	0,1	0,1
50 35 89 43 57 42 2980 № 57	пр. р. Чон-Хем	присклон. кар.	С	0,5	0,3	0,2	0,15
50 34 89 43 58 42 3050 № 58	пр. р. Чон-Хем	кар.	С	1,0	1,0	0,4	0,4
50 35 89 43 59 42 3080 № 59	пр. р. Чон-Хем	вис. (кар.)	С	0,5	0,4	0,1	0,1

21 ледник

Кроме того, в бассейне р. Чон-Хем имеется 5 ледников площадью менее 0,1 км² каждый, общей площадью 0,2 км²

Итого 26 ледников

Бассейн р. Чинге-

Северный склон массива Мозур-Тайга (восточ

50 38 89 45 60 42 3080 № 60	Чинге-Хем	кар.	С	1,1	1,1	0,4	0,35
50 39 89 50 61 42 3130 № 61	пр. р. Чинге-Хем	кар.	С	1,2	1,1	0,5	0,4
50 40 89 50 62 42 3320 № 62	пр. р. Чинге-Хем	вис. (кар.)	СЗ	0,5	0,5	0,2	0,2

3 ледника

Кроме того, в бассейне р. Чинге-Хем имеется 6 ледников площадью менее 0,1 км² каждый, общей площадью 0,3 км²

Итого 9 ледников

Бассейн р. Шуй (реки

Северо-восточный склон Шапшальского

50 40 89 51 63 42 3280 № 63	Алды-Мешту-Хем	кар.-вис.	В	1,2	1,2	0,6	0,6
50 33 89 48 64 42 3120 № 64	пр. р. Онглу-Оюк	кар.	СВ	1,5	1,5	0,6	0,5
50 38 89 48 65 42 3110 № 65	пр. р. Онглу-Оюк	кар.	СВ	0,8	0,8	0,3	0,3
50 36 89 49 66 42 3040 № 66	Онглу-Оюк	кар.	С	0,9	0,8	0,4	0,3
50 37 89 45 67 42 3325 № 67	пр. р. Ак-Оюк	кар.-вис.	ЮВ	0,5	0,5	0,2	0,2
50 35 89 46 68 42 3150 № 68	пр. р. Ак-Оюк	асимм. кар.	СВ	0,9	0,8	0,4	0,35
50 34 89 45 69 42 3160 № 69	Ак-Оюк	вис. (кар.)	СВ	0,5	0,4	0,2	0,15
50 34 89 45 70 42 3060 № 70	Ак-Оюк	кар.	СВ	1,0	0,8	0,3	0,25
50 33 89 45 71 42 3040 № 71	Ак-Оюк	кар.	С	0,7	0,7	0,2	0,2
50 33 89 48 72 42 3080 № 72	пр. р. Ак-Оюк	асимм. кар.	СВ	0,8	0,6	0,2	0,15
50 32 89 51 73 42 3100 № 73	Кара-Оюк	вис. (кар.)	С	0,3	0,3	0,2	0,2
50 33 89 54 74 42 3200 № 74	пр. р. Шуй	вис.	СВ	0,2	0,2	0,1	0,1
50 33 89 54 75 42 3220 № 75	пр. р. Шуй	кар.	С3	1,5	1,5	0,7	0,6
50 33 89 55 76 42 3260 № 76	пр. р. Узун-Хем	кар. вис. переметн.	С3	1,0	1,0	0,6	0,55
50 32 89 56 77 42 3300 № 77	пр. р. Узун-Хем	вис. переметн.	ЮВ	0,4	0,4	0,1	0,1
50 31 89 57 78 42 3160 № 78	пр. р. Узун-Хем	кар.	С	0,3	0,3	0,1	0,1
50 31 89 57 79 42 3150 № 79	пр. р. Узун-Хем	кар.	С	0,7	0,7	0,2	0,2
50 31 89 59 80 42 3140 № 80	пр. р. Узун-Хем	кар.	С	1,0	0,9	0,4	0,35
50 31 89 59 81 42 3040 № 81	Узун-Хем	асимм. кар.	СВ	0,4	0,3	0,1	0,1
50 30 90 01 82 42 3100 № 82	Узун-Хем	асимм. кар.	С	0,4	0,4	0,1	0,1
50 30 90 02 83 42 3120 № 83	Узун-Хем	вис. (кар.)	С	0,5	0,4	0,2	0,15
50 31 90 04 84 42 3260 № 84	пр. р. Узун-Хем	вис. (кар.)	С	0,4	0,4	0,1	0,1
50 31 90 06 85 42 3180 № 85	пр. р. Узун-Хем	вис. (кар.)	С	0,9	?	0,3	?
50 32 90 06 86 42 3180 № 86	пр. р. Узун-Хем	кар.	С3	1,2	1,2	0,4	0,4

Высота, м			Фирновая линия		Площадь области аблации, км ²		Ссылки на последующие таблицы (иллюстрации)		
низшей точки конца ледника	низшей точки открытой части ледника	высшей точки ледника	высота, м	способ определения и дата	общая	в том числе открытой части	Объем льда, км ³	№ таблиц и иллюстраций порядковый № сведений в таблицах	
10	11	12	13	14	15	16	17	18	

р. Кемчик

ный склон Шапшальского хребта)

2710	2710	2900	2800	АФС 2 /IX 1962 г.	0,05	0,05		V/7
------	------	------	------	-------------------	------	------	--	-----

Хем (р. Кемчик)

Шапшальского хребта

2750	2750	3000	2850	АФС 23/VII 1965 г.	0,05	0,05		
2800	2800	2900	2850	АФС 23/VII 1965 г.	0,05	0,05		
2710	2710	2950	2900	АФС 11/VII 1965 г.	0,1	0,1		
2740	2740	3050	2900	АФС 17/VIII 1955 г.	0,15	0,1		
2900	2950	3200	3150	АФС 17/VIII 1955 г.	0,15	0,1		
3000	3000	3250	3050	АФС 17/VIII 1955 г.	—	—		
2800	2800	2950	2900	АФС 17/VIII 1955 г.	0,1	0,1		
2800	2800	3050	3000	АФС 17/VIII 1955 г.	0,15	0,15		
2700	2700	2850	2800	АФС 17/VIII 1955 г.	0,1	0,05		
2750	2770	3200	2960	АФС 17/VIII 1955 г.	0,4	0,3		
2780	2800	3200	3100	АФС 17/VIII 1955 г.	0,6	0,5		
2900	2900	3120	3080	АФС 17/VIII 1955 г.	0,15	0,15		
2770	2800	3000	2900	АФС 17/VIII 1955 г.	0,15	0,05		V/10
2880	2880	3200	3050	АФС 17/VIII 1955 г.	0,2	0,2		V/6, 7, 10
2890	2890	3150	3030	АФС 17/VIII 1955 г.	0,2	0,2		V/6, 7, 10
2810	2810	3350	3000	АФС 17/VIII 1955 г.	1,3	1,2		V/6, 7, 10; рис. 17
2940	2980	3200	3130	АФС 17/VIII 1955 г.	0,15	0,1		V/6, 7, 10
2900	2900	3100	3050	АФС 17/VIII 1955 г.	0,1	0,1		
2900	2950	3070	3020	АФС 17/VIII 1955 г.	0,2	0,15		V/10
2850	2850	3250	3100	АФС 17/VIII 1955 г.	0,25	0,25		V/6, 7, 10
2900	2950	3250	3100	АФС 17/VIII 1955 г.	0,07	0,07		V/10

Хем (р. Кемчик)

ный склон Шапшальского хребта)

2860	2860	3300	3050	АФС 17/VIII 1955 г.	0,2	0,15		V/6, 7, 10
2760	2800	3500	3200	АФС 17/VIII 1955 г.	0,3	0,2		V/7, 10
3050	3050	3550	3400	АФС 17/VIII 1955 г.	0,07	0,07		V/6, 7, 10

Барлык, Кемчик)

хребта и северный склон хр. Цаган-Шибэту

3050	3050	3500	3250	АФС 17/VIII 1955 г.	0,3	0,3		V/6, 7, 10
2950	2980	3300	3150	АФС 17/VIII 1955 г.	0,4	0,3		V/7, 10
2970	2970	3250	3150	АФС 17/VIII 1955 г.	0,2	0,2		V/6, 7, 10
2840	2850	3250	3000	АФС 17/VIII 1955 г.	0,3	0,2		
3220	3220	3430	3300	АФС 17/VIII 1955 г.	0,1	0,1		V/7
2950	2970	3350	3150	АФС 17/VIII 1955 г.	0,2	0,15		V/6, 7, 10
3030	3050	3280	3150	АФС 17/VIII 1955 г.	0,1	0,05		V/6, 7, 10
2930	2860	3200	3120	АФС 17/VIII 1955 г.	0,25	0,20		V/6, 7, 10
2930	2930	3150	3100	АФС 17/VIII 1955 г.	0,15	0,15		V/6, 7, 10
2870	2950	3300	3000	АФС 17/VIII 1955 г.	0,15	0,1		V/6, 7, 10
3000	3000	3200	3100	АФС 17/VIII 1955 г.	0,1	0,1		
3100	3100	3300	3200	АФС 17/VIII 1955 г.	0,05	0,05		V/10
3000	3000	3450	3200	АФС 17/VIII 1955 г.	0,35	0,25		V/6, 7, 10
3030	3030	3500	3180	АФС 17/VIII 1955 г.	0,3	0,25		V/6, 7, 10; рис. 20
3100	3100	3500	3180	АФС 17/VIII 1955 г.	0,05	0,05		Rис. 20
3070	3070	3250	3170	АФС 17/VIII 1955 г.	0,05	0,05		
2950	2950	3350	3250	АФС 17/VIII 1955 г.	0,15	0,15		V/6, 7, 10
2980	3000	3300	3150	АФС 17/VIII 1955 г.	0,3	0,25		V/6, 7, 10
2940	2950	3150	3100	АФС 17/VIII 1955 г.	0,1	0,1		
3010	3010	3200						
2950	3000	3300	3150	АФС 17/VIII 1955 г.	0,15	0,1		
3080	3080	3450						
2950	?	3450						
2970	2970	3400						

№ по схеме	Название	Название реки, вытекающей из ледника	Морфологический тип	Общая экспозиция	Наибольшая длина, км		Площадь, км ²	
					всего ледника	в том числе открытой части	всего ледника	в том числе открытой части
1	2	3	4	5	6	7	8	9
50 32 90 0487*	3320 № 87	пр. р. Узун-Хем	вис. (кар.)	C3	0,5	0,5	0,2	0,2
50 32 88 58 88	3400 № 88	пр. р. Шуй	вис.	C3	0,5	0,5	0,4	0,4
50 38 89 59 89	3180 № 89	пр. р. Сайлыхем	асимм. кар.	CB	0,7	0,5	0,3	0,2
50 32 90 00 90	3280 № 90	пр. р. Сайлыхем	кар.	IOB	0,6	0,6	0,4	0,4
50 34 91	3150 № 91 90 02	пр. р. Сайлыхем	асимм. кар.	C3	1,0	1,0	0,5	0,5
50 33 92*	3060 № 92 90 02	пр. р. Сайлыхем	асимм. кар.	CB	0,5	0,2	0,1	0,05
50 32 93*	3150 № 93 90 05	Сайлыхем	вис. кар.	C3	0,6	0,6	0,2	0,2
50 33 94*	3150 № 94 90 06	Сайлыхем	кар.	C3	0,9	?	0,3	?
50 34 95*	3210 № 95 90 05	пр. р. Маганаты	вис. (кар.)	C	1,0	1,0	0,6	0,6
50 32 96*	3200 № 96 90 07	пр. р. Маганаты	кар.-вис.	C3	0,7	0,7	0,3	0,3
50 33 97*	3150 № 97	пр. р. Маганаты	кар.	B	0,6	?	0,3	?
50 35 98*	3490 № 98	пр. р. Маганаты	вис.	IO	0,4	0,4	0,1	0,1
50 36 99*	3220 № 99	пр. р. Маганаты	вис. (кар.)	C	0,7	0,7	0,2	0,2
50 36 100*	3240 № 100	пр. р. Маганаты	асимм. кар.	C	0,8	?	0,4	?
38 ледников							11,3	
Кроме того, в бассейне р. Шуй имеется 6 ледников площадью менее 0,1 км ² каждый, общей площадью 0,3 км ²								
Итого 44 ледника								
Бассейн р. Бар Северный склон								

50 37	101* № 101	пр. р. Аккем	90 27	асимм. кар.	C	0,6	?	0,2
50 35	102* № 102	пр. р. Балыктык	90 16	вис.	IO	0,4	0,4	0,1
50 33	103* № 103	пр. р. Балыктык	90 19	кар.-вис.	CB	0,5	?	0,1
3 ледника							0,5	
Кроме того, в бассейне р. Шуй имеется 2 ледника площадью менее 0,1 км ² каждый, общей площадью 0,1 км ²								
Итого 5 ледников								
Всего по бассейну р. Кемчик 128 ледников общей площадью 30,3 км ² , в том числе 25 ледников площадью менее 0,1								

ПОЯСНЕНИЯ К ТАБЛИЦЕ I

№ ледника по таблице	Название	№ граф	Пояснения
1	2	3	4
1, 2, 3, 4	№ 1 № 1, 2, 3, 4	6—9, 15, 16 8	Площадь ледника, закрытая поверхностью мореной, 0,03 км ² Ледники получают лавинное питание со склонов площадью не менее 0,03 км ² каждый
5	№ 5	10—13	Высоты даны приближенно
6	№ 6	6—9, 15, 16 10—13	Площадь поверхности морены менее 0,05 км ² Высоты даны приближенно
7, 8 9 и 10, 11 и 12	№ 7, 8 № 9 и 10, 11 и 12	10—13 10	Каждые два ледника прежде составляли один ледник, в настоящее время имеют общую конечную морену Площадь поверхности морены каждого ледника менее 0,05 км ² Высоты даны приближенно
11, 13	№ 11, 13	6—9, 15, 16	Каждые два ледника прежде составляли один ледник, в настоящее время имеют общую конечную морену Площадь поверхности морены каждого ледника менее 0,05 км ² Высоты даны приближенно
13 16	№ 13 № 16	10—13 8	Ледник получает лавинное питание со склонов площадью не менее 0,02 км ² Высоты даны приближенно
19 21, 24, 25	№ 19 № 21, 24, 25	6—9, 15, 16 8	Площадь поверхности морены 0,03 км ² Каждый из ледников получает лавинное питание со склонов площадью не менее 0,03 км ²
24 и 25	№ 24 и 25	10	Прежде составляли один ледник, имеют единую конечную морену
25	№ 25	10, 12, 13	Ледник имеет сложную форму: состоит из слившихся карового и висячего в каре ледников
30 34	№ 7, 30 № 34	12, 13, 15, 16 6—13, 15, 16	Площадь области питания ледника 0,02 км ² Высоты даны приближенно, площадь поверхности морены 0,03 км ² , ледник получает лавинное питание со склонов площадью не менее 0,1 км ²
35 36, 37	№ 35 № 36, 37	6—9, 15, 16 8, 13—16	Площадь поверхности морены 0,01 км ² Ледники получают лавинное питание со склонов площадью не менее 0,1 км ² ; заснежены, аэрофотосъемка 2/IX 1962 г.
38	№ 38	6—9, 15, 16	Площадь поверхности морены 0,02 км ² , ледник получает лавинное питание со склонов площадью не менее 0,03 км ²

Высота, м		Фирновая линия		Площадь области аблации, км ²		Ссылки на последующие таблицы (иллюстрации)	
найвысшей точки конца ледника	найвысшей точки открытой части ледника	высшая точки ледника	высота, м	способ определения и дата	общая	в том числе открытой части	Объем льда, км ³
10	11	12	13	14	15	16	17
3150	3150	3490	3320	АФС 17/VIII 1955 г.	—	—	V/6, 7
3320	3320	3480	3320	АФС 17/VIII 1955 г.	0,15	0,05	V/6, 7
2950	3000	3400	3050	АФС 17/VIII 1955 г.	0,2	0,2	V/6, 7
3160	3170	3400	3270	АФС 17/VIII 1955 г.	0,3	0,3	V/6, 7
2850	2850	3450	3250	АФС 17/VIII 1955 г.			
2970	3050	3150					
3000	3000	3300					
2900	?	3400					
2980	2980	3440					
3000	3000	3400					
3050	?	3250					
3400	3400	3550					
2950	2950	3500					
2930	?	3550					
Лык (р. Кемчик) хр. Цаган-Шибэту							
2950	?	3250					
3450	3450	3570					
3000	?	3320					

км² каждый, общей площадью 1,2 км² и 103 ледника площадью более 0,1 км² каждый, общей площадью 29,1 км²

№ ледника по таблице	Название	№ граф	Пояснения	
			1	2
3	4	5	6	7
41 43, 44, 45, 46	№ 41 № 43, 44, 45, 46	12, 13, 15, 16 10—13	Площадь области питания 0,02 км ² Высоты даны приближенно	
44 45	№ 44 № 45	13, 15, 16 9—16	Площадь области аблации 0,02 км ² Площади открытой части ледника и области аблации преувеличены: площадь фирновой области 0,03 км ² , площадь поверхности морены 0,02 км ²	
48 и 49, 52 и 53	№ 48 и 49, 52 и 53	10	Каждые два ледника прежде составляли один ледник, в настоящее время имеют единую конечную морену	
54 56, 57 59	№ 54 № 56, 57 № 59	8, 9, 15, 16 12, 13, 15, 16 9—16	Дана площадь боковой морены Площадь области питания 0,03 км ² Площади открытой части ледника и области аблации преувеличены: площадь поверхности морены 0,02 км ² , площадь фирновой области 0,03 км ²	
60, 61	№ 60, 61	8	Ледники получают лавинное питание со склонов площадью не менее 0,1 км ²	
62 и 63 70 и 71	№ 62 и 63 № 70 и 71	8, 15 10, 15	Области питания ледников соединены в верховых Ледники смыкаются в области аблации, имеют единую конечную морену	
81 82 84 и 85	№ 81 № 82 № 84 и 85	6—9, 15, 16 7, 9, 11, 13—16 7, 9, 11, 13—16	Площадь поверхности морены 0,02 км ² Ледник заснежен, аэросъемка 15/VII 1959 г. Аэрофотосъемка 15/VII 1959 г. Ледники заснежены, их верхья скрыты под единственным снежным покровом. Граница между ледниками проведена условно	
86, 96	№ 86, 96	7, 9, 11, 13—16	Аэрофотосъемка 15/VII 1959 г. Ледники заснежены, но часть поверхности области аблации освобождена от снега	
87, 92—95, 97—103 98 и 102	№ 87, 92, 93, 94, 95, 97, 98, 99, 100, 101, 102, 103 № 98 и 102	7, 9, 11, 13—16 8	Ледники заснежены. Аэрофотосъемка 1/IX 1959 г. Ледники скрыты под единственным снежным покровом, граница между ледниками проведена условно, их общая площадь, по-видимому, завышена	
101	№ 101	10—12	Высоты даны приближенно	

СПИСОК ГИДРОМЕТЕОРОЛОГИЧЕСКИХ

№ п/п	Название реки, в бассейне которой расположена станция	Название станции или поста	В чьем ведении находится	Абсолютная высота, м	Площадь водосбора гидрометео- логиче- ских постов, км ²
1	2	3	4	5	6
1	Телецкое озеро	мст Беля	ЗСУГМС	550 усл.	—
2	Телецкое озеро	гп I Кыгинский залив (Чири)	ЗСУГМС	440 усл.	—
3	Чулышман	гп 2 Чодро	ЗСУГМС	950 усл.	4 700
4	Чулышман	гп I пос. Балыкча	ЗСУГМС	470 усл.	16 600
5	Башкаус	мст, гп I пос. Усть-Улаган	ЗСУГМС	1260 усл.	4 190
6	Кемчик	мст Чадан (Теви-Хая)	КУГМС	720	—
7	Кемчик	гп I сх Барлык	КУГМС	850	7 600
8	Кемчик	гп I, мп З Кызыл-Можалык	КУГМС	850	7 650
9	Кемчик	гп пос. Актоврак	Енисейстрой	840	7 650
10	Кемчик	гп II 2,7 км выше устья р. Алаш	Енисейстрой	790	9 210
11	Кемчик	гп III пос. Суг-Аксы	КУГМС	45 усл.	16 800
12	Кемчик	мп З Ийме	КУГМС	640	—
13	Кемчик	гп I Кызыл-Чира	ЛЕНГИДЭП	—	25 500
14	Кемчик	гмст Тэли	КУГМС	880	25 500
15	Ак-Суг	гп I пос. Болгаш-Божин (Боратайга)	КУГМС	44,0 усл.	2 950
16	Алаш	гп у Сомон Каражоль	Енисейстрой	0,0 усл.	3 140
17	Алаш	гп пос. Кызыл-Тайга	Енисейстрой	45 усл.	4 180
18	Алаш	гп 11 км от устья	Енисейстрой	830	4 600
19	Алаш	гп 5 км от устья	Енисейстрой	810	4 610
20	Каражоль	гп 1,2 км от истока	Енисейстрой	147 усл.	1 470
21	Моганаты	гп 0,6 км от устья	Енисейстрой	7,0 усл.	1 150

ТАБЛИЦА V
СПИСОК РАБОТ, СОДЕРЖАЩИХ СВЕДЕНИЯ О ЛЕДНИКАХ

№ п/п	Номера ледников по схеме	Авторы и наименование работ	Место издания работ
1	2	3	4
1		А в сюк Г. А. Температура льда в ледниках	Труды ИГАН, вып. 67. Работы Тяньшаньской физико-географической станции. М., 1956
2	Район оледенения в целом	Б ахти Н. П. Река Енисей	Л., Гидрометеоиздат, 1961
3		В оскресенский С. С. Геоморфология Сибири	М., Изд-во МГУ, 1962
4		Г румм-Гржимайл Г. Е. Западная Монголия и Урянхайский край. Т. 1—3	СПб, 1914, 1926, 1930
5		Гудилин И. С. Геоморфология	В кн.: «Геология СССР». Т. 29. М., «Недра», 1966
6	9, 10, 12, 15, 16, 18—30, 36, 37, 48, 49, 52—55, 58, 60, 62—64, 68—71, 75, 76, 79, 80, 87—90	Донченко Е. Д. Современное оледенение Шапшальского хребта	Информ. сб. о работах по Межд. геофиз. году, № 5. М., Изд-во МГУ, 1960
7	1—6, 8—10, 12—16, 18—30, 34—38, 48, 49, 52—55, 58, 60—65, 67—71, 75, 76, 79, 80, 87—90	Донченко Е. Д. Оледенение Шапшальского хребта и его динамика в историческое время	Гляциология Алтая, вып. 2. Томск, 1962

ТАБЛИЦА II

СТАНЦИИ И ПОСТОВ В РАЙОНЕ ЛЕДНИКОВ

уровень воды	сток воды	сток наносов	химический состав воды	основные метеорологические	Период наблюдений (годы)							
					7	8	9	10	11	12	13	14
—	—	—	—	1931—1969	1931—1969	1931—1969	1931—1969	—	—	—	—	—
1931—1969	—	—	—	—	1931—1969	1931—1969	1931—1969	1931—1969	—	—	—	—
1965—1969	—	—	—	—	1965—1969	1965—1969	1965—1969	1965—1969	—	—	—	—
1930—1969	—	—	—	—	1930—1969	1930—1969	1930—1969	1930—1969	—	—	—	—
1936—1969	1960—1962	—	—	1940—1969	1940—1969	1940—1969	1940—1969	1940—1969	1940—1969	1940—1969	1940—1969	1940—1969
—	—	—	—	1945—1969	1945—1969	1945—1969	1945—1969	1945—1969	1945—1969	1945—1969	1945—1969	1945—1969
1958—1969	1959—1961	—	1962	—	—	—	—	—	—	—	—	—
1951—1953	3 (1951)	—	—	—	1951—1969	1951—1969	1951—1969	1951—1969	1951—1969	1951—1969	1951—1969	1951—1969
1952, 1953	—	—	1953	—	—	—	—	—	—	—	—	—
1951—1953	1951—1953	—	1953	—	—	—	—	—	—	—	—	—
1956—1952	—	—	—	—	—	—	—	—	—	—	—	—
1953	—	—	—	—	1953—1969	1953—1969	1953—1969	1953—1969	1953—1969	1953—1969	1953—1969	1953—1969
1956—1960	1956—1960	10 (1956)	1960	—	1956—1960	1956—1960	1956—1960	1956—1960	1956—1960	1956—1960	1956—1960	1956—1960
1952—1954	—	—	—	1960—1969	1956—1969	1956—1969	1956—1969	1956—1969	1956—1969	1956—1969	1956—1969	1956—1969
1957—1968	7 (1957) 1958—1968	—	—	1957—1968	1957—1968	1957—1968	1957—1968	1957—1968	1957—1968	1957—1968	1957—1968	1957—1968
1952, 1953	11 (1952, 1953)	—	—	—	—	—	—	—	—	—	—	—
1952, 1953	1952—1953	—	—	—	—	—	—	—	—	—	—	—
1951—1953	1951—1953	—	1953	—	—	—	—	—	—	—	—	—
1951—1953	10 (1953)	—	1953	—	—	—	—	—	—	—	—	—
1952, 1953	1952, 1953	—	—	—	—	—	—	—	—	—	—	—
1953	11 (1952, 1953)	—	—	—	—	—	—	—	—	—	—	—

№ п/п	Номера ледников по схеме	Авторы и наименование работ	Место издания работ
1	2	3	4
8	Район оледенения в целом	Клопова А. С. Реки Тувы	Труды Тувинской компл. экспед., вып. 3. Природные условия Тувинской АО. М., Изд-во АН СССР, 1957
9	Район оледенения в целом	Лиханов Б. Н. О физико-географическом районировании Тувинской автономной области	Изв. АН СССР. Серия геогр. 1956, № 5
10	36, 37, 48—50, 52—55, 57—65, 68—71, 74—76, 79, 80	Михайлов Н. И. Современное оледенение Шапшальского хребта (Восточный Алтай)	Изв. АН СССР. Серия геогр. 1961, № 3
11	Район оледенения в целом	Ошурков В. А. Отчет о поездке, совершенной летом 1902 г. в Западные Саяны и западную часть хребта Танну-Ола	Зап. Красноярского подотдела В. С. О. ИРГО. Т. I, вып. 1, СПб, 1906
12	Район оледенения в целом	Сапожников В. В. Монгольский Алтай в истоках Иртыша и Кобдо. Путешествия 1905—1909 гг.	Томск, 1911
13	Район оледенения в целом	Скорняков В. А. Сток на территории бассейна Верхнего Енисея	Изв. АН СССР. Серия геогр., 1957, № 6
14		Средняя Сибирь	Природные условия и естественные ресурсы СССР. М., «Наука», 1964
15	Район оледенения в целом	Тронов М. В. Очерки оледенения Алтая	М., Географиз, 1949

ДОПОЛНИТЕЛЬНЫЕ
МАТЕРИАЛЫ

Таблица 9

Сведения о ледниках северо-западной экспозиции

№ ледника	Тип ледника												
	Вертикальная протяженность оледенения, м	Высота высшей точки ледника, м	Вертикальная протяженность области аккумуляции, м	Высота фирновой линии, м	Вертикальная протяженность области аблации, м	Высота низшей точки ледника, м	Вертикальная протяженность конечных морен, м	Высота низшей точки конечной морены, м	Общая площадь ледника, км ²	Площадь области аккумуляции, км ²	Площадь области аблации, км ²	Площадь поверхности морены, км ²	Площадь конечной морены, км ²
2	210	2 750	100	2 650	110	2 540	40	2 500	0,1	0,05	0,05	—	0,08
10	530	3 400	400	3 000	130	2 870	100	2 770	0,3	0,15	0,15	0,05	0,10
33	450	3 350	450	2 900	0	2 900	—	—	0,1	0,1	0,0	—	—
56	200	3 100	50	3 050	150	2 900	—	—	0,1	0,0	0,1	—	—
62	500	3 550	150	3 400	350	3 050	—	—	0,2	0,1	0,1	—	—
75	450	3 450	250	3 200	200	3 000	100	2 900	0,7	0,35	0,35	0,10	0,12
76	470	3 500	320	3 180	150	3 030	—	—	0,6	0,3	0,3	—	—
86	430	3 400	—	—	—	2 970	20	2 950	0,4	—	—	—	0,05
87	340	3 490	—	—	—	3 150	—	—	0,2	0,4	0,0	—	—
88	160	3 480	160	3 320	0	3 320	—	—	0,5	0,2	0,3	—	—
91	600	3 450	200	3 250	400	2 850	—	—	0,2	—	—	—	—
93	300	3 300	—	—	—	3 000	140	2 760	0,3	—	—	—	0,20
94	500	3 400	—	—	—	3 000	—	—	0,3	—	—	—	—
96	400	3 400	—	—	—	3 000	—	—	0,3	—	—	—	—
Итого 14	5540	47 020	2080	27 950	1490	41 480	400	13 880	4,4	1,65	1,35	0,15	0,55
Среднее	396	3 359	231	3 106	166	2 963	80	2 776	0,3	0,21	0,15	0,08	0,11

Таблица 10

Сведения о ледниках северной экспозиции

№ ледника	Тип ледника												
	Вертикальная протяженность оледенения, м	Высота высшей точки ледника, м	Вертикальная протяженность области аккумуляции, м	Высота фирновой линии, м	Вертикальная протяженность области аблации, м	Высота низшей точки ледника, м	Вертикальная протяженность конечных морен, м	Высота низшей точки конечной морены, м	Общая площадь ледника, км ²	Площадь области аккумуляции, км ²	Площадь области аблации, км ²	Площадь поверхности морены, км ²	Площадь конечной морены, км ²
5	350	3 150	200	2 950	150	2 800	—	—	0,2	0,1	0,1	—	—
8	400	3 200	200	3 000	200	2 800	—	—	0,3	0,1	0,2	—	—
11	200	2 900	120	2 780	80	2 700	—	—	0,1	0,05	0,05	—	—
12	600	3 300	350	2 950	250	2 700	90	2 610	0,3	0,15	0,15	0,05	0,05
17	320	3 300	320	2 980	0	2 980	—	—	0,1	0,1	0,0	—	—
30	220	2 970	40	2 930	180	2 750	—	—	0,1	0,0	0,1	—	—
41	240	2 950	50	2 900	190	2 710	10	2 700	0,1	0,0	0,1	—	—
43	300	3 200	50	3 150	250	2 900	—	—	0,2	0,05	0,15	0,0	0,02
50	220	3 120	40	3 080	180	2 900	30	2 870	0,2	0,05	0,15	0,0	0,05
57	170	3 070	50	3 020	120	2 900	50	2 850	0,2	0,00	0,2	0,05	0,15
58	400	3 250	150	3 100	250	2 850	120	2 730	0,4	0,15	0,25	0,00	0,20
59	350	3 250	150	3 100	200	2 900	—	—	0,1	0,0	0,1	—	—
60	440	3 300	250	3 050	190	2 860	0	2 860	0,4	0,2	0,2	0,05	0,05
61	740	3 500	300	3 200	440	2 760	60	2 700	0,5	0,2	0,3	0,10	0,25
66	410	3 250	250	3 000	160	2 840	30	2 810	0,4	0,1	0,3	0,10	0,35
71	220	3 150	50	3 100	170	2 930	30	2 900	0,2	0,05	0,15	0,05	0,05
73	200	3 200	100	3 100	100	3 000	—	—	0,2	0,1	0,1	—	—
78	180	3 250	80	3 170	100	3 070	—	—	0,1	0,05	0,05	—	—
79	400	3 350	100	3 250	300	2 950	—	—	0,2	0,05	0,15	—	—
80	320	3 300	150	3 150	170	2 980	80	2 900	0,4	0,1	0,30	0,05	0,15
82	180	3 200	—	—	—	3 010	—	—	0,1	—	—	—	—
83	350	3 300	150	3 150	200	2 950	—	—	0,2	0,05	0,1	—	—
84	370	3 450	—	—	—	3 080	—	—	0,1	—	—	—	—
85	500	3 450	—	—	—	2 950	—	—	0,3	—	—	—	—
95	460	3 440	—	—	—	2 980	—	—	0,6	—	—	—	—
99	550	3 500	—	—	—	2 950	90	2 840	0,2	—	—	—	—
100	620	3 550	—	—	—	2 930	50	2 900	0,4	—	—	—	0,12
101	300	3 250	—	—	—	2 950	—	—	0,2	—	—	—	0,05
Итого 28	10 010	91 100		64 110	3880	81 080	640	33 670	6,8	1,65	3,25	0,4	1,54
Среднее	358	3 254		3 053	185	2 896	53	2 806	0,24	0,08	0,16	0,04	0,13

Таблица 11

Сведения о ледниках северо-восточной экспозиции

№ ледника	Тип ледника										
	Вертикальная протяженность оледенения, м	Высота высшей точки ледника, м	Вертикальная протяженность области аккумуляции, м	Высота фирновой линии, м	Вертикальная протяженность области аккумуляции, м	Высота высшей точки ледника, м	Вертикальная протяженность области аккумуляции, м	Высота низшей точки ледника, м	Вертикальная протяженность конечных морен, м	Высота низшей точки конечной морены, м	
1	200	2 700	130	2 570	70	2 470	—	—	—	—	
7	200	2 800	100	2 700	100	2 600	20	2 580	присклон. кар.	0,1	
9	130	2 980	50	2 930	80	2 850	80	2 770	асимм. кар.	0,2	
14	180	3 080	100	2 980	80	2 900	—	—	присклон. кар.	0,1	
15	250	3 150	100	3 050	150	2 900	0	2 900	асимм. кар.	0,2	
16	720	3 250	350	2 900	320	2 580	20	2 560	кар.-дол.	1,4	
20	535	3 480	465	3 020	70	2 950	—	—	вис. (кар.)	0,3	
21	270	3 050	100	2 950	170	2 780	30	2 750	кар.	0,3	
25	620	3 300	250	3 050	370	2 680	30	2 630	кар.	0,6	
27	350	3 250	150	3 100	200	2 900	—	—	присклон. кар.	0,3	
32	230	2 800	100	2 700	130	2 570	50	2 520	кар.	0,2	
36	320	3 050	—	—	—	2 730	30	2 700	кар.	0,3	
37	250	2 800	—	—	—	2 550	50	2 500	кар.	0,3	
39	250	3 000	150	2 850	100	2 750	—	—	вис. (кар.)	0,1	
44	250	3 250	200	3 050	50	3 000	—	—	вис. (кар.)	0,1	
45	150	2 950	50	2 900	100	2 800	0	2 800	асимм. кар.	0,1	
46	250	3 050	50	3 000	200	2 800	0	2 800	асимм. кар.	0,2	
47	150	2 850	50	2 800	100	2 700	0	2 700	кар.	0,1	
48	450	3 200	240	2 960	210	2 750	0	2 750	кар.	0,6	
49	420	3 200	100	3 100	320	2 780	120	2 670	кар.	0,8	
51	230	3 000	100	2 900	130	2 770	90	2 680	кар.	0,2	
52	320	3 200	150	3 050	170	2 880	80	2 800	кар.	0,4	
53	260	3 150	120	3 030	140	2 890	90	2 800	кар.	0,4	
54	540	3 350	350	3 000	190	2 810	30	2 780	кар.	1,8	
55	260	3 200	70	3 130	190	2 940	—	—	асимм. кар.	0,2	
64	350	3 300	150	3 150	200	2 950	100	2 850	кар.	0,6	
65	280	3 250	100	3 150	180	2 970	70	2 900	кар.	0,3	
68	400	3 350	200	3 150	200	2 950	20	2 930	асимм. кар.	0,4	
69	250	3 280	130	3 150	120	3 030	—	—	вис. (кар.)	0,2	
70	275	3 200	80	3 120	195	2 930	30	2 900	кар.	0,3	
72	430	3 300	300	3 000	130	2 870	20	2 850	асимм. кар.	0,2	
74	200	3 300	100	3 200	100	3 100	—	—	вис.	0,1	
81	200	3 150	50	3 100	150	2 940	50	2 900	асимм. кар.	0,1	
89	450	3 400	350	3 050	100	2 950	50	2 900	асимм. кар.	0,3	
92	180	3 150	—	—	—	2 970	20	2 950	асимм. кар.	0,1	
103	320	3 320	—	—	—	3 000	—	—	кар.-вис.	0,2	
Итого	36	11 120	113 090	4985	95 790	5015	101 990	1080	74 370		12,3
Среднее		309	3 141	156	2 993	157	2 834	40	2 754		0,3

Таблица 12

Сведения о ледниках восточной экспозиции

№ ледника	Тип ледника									
	Общая площадь ледника, км ²	Площадь области аккумуляции, км ²	Площадь области абляции, км ²	Площадь поверхности морены, км ²	Площадь конечной морены, км ²					
4	210	2950	90	2860	120	2740	80	2650	кар.	0,5
6	250	3150	150	3000	100	2900	60	2840	кар.	0,3
13	160	3300	60	3240	100	3140	20	3120	кар.	0,2
18	160	3380	160	3220	0	3220	—	—	вис.	0,1
19	310	3400	150	3250	160	3090	0	3090	кар.	0,3
23	320	3150	150	3000	170	2830	80	2750	кар.	0,4
24	220	3170	70	3100	150	2950	—	—	кар.	0,2
26	330	3100	100	3000	230	2770	0	2770	кар.	0,2
28	310	3180	100	3080	210	2870	30	2840	кар.	0,3
29	160	2900	30	2870	130	2740	70	2670	кар.	0,1

№ ледника	Сведения о ледниках юго-восточной экспозиции									
	Вертикальная протяженность оледенения, м	Высота высшей точки ледника, м	Высота высшей точки ледника, м	Вертикальная протяженность области аккумуляции, м	Высота фирновой линии, м	Высота фирновой линии, м	Высота низшей точки ледника, м	Высота низшей точки ледника, м	Высота низшей точки ледника, м	Тип ледника
31	300	2 850	150	2 700	150	2 550	50	2 500	кар.	0,1
34	340	3 100	100	3 000	240	2 760	60	2 700	кар.	0,3
35	130	2 850	50	2 800	80	2 720	30	2 690	прислон. кар.	0,1
38	190	2 900	100	2 800	90	2 710	0	2 710	асимм. кар.	0,1
40	100	2 900	50	2 850	50	2 800	20	2 780	кар.	0,1
42	310	3 050	150	2 900	160	2 740	20	2 720	кар.	0,2
63	450	3 500	250	3 250	200	3 050	0	3 050	кар.-вис.	0,6
97	200	3 250	—	—	—	3 050	0	3 050	кар.	0,3
Итого 18	4450	56 080	1910	50 920	2340	51 630	520	44 930		4,4
Среднее	247	3 116	112	2 995	138	2 868	32	2 808		0,24
										0,11
										0,13
										0,03
										0,11

Таблица 13

Сведения о ледниках юго-восточной экспозиции

№ ледника	Сведения о ледниках юго-восточной экспозиции									
	Вертикальная протяженность оледенения, м	Высота высшей точки ледника, м	Высота высшей точки ледника, м	Вертикальная протяженность области аккумуляции, м	Высота фирновой линии, м	Высота фирновой линии, м	Высота низшей точки ледника, м	Высота низшей точки ледника, м	Высота низшей точки ледника, м	Тип ледника
3	180	2 950	90	2 860	90	2 770	70	2 700	кар.	0,2
22	150	3 050	50	3 000	100	2 900	50	2 850	кар.	0,1
67	230	3 430	130	3 300	100	3 220	—	3 100	кар.-вис.	0,2
77	400	3 500	320	3 180	80	3 100	0	3 170	вис. перем.	0,1
90	240	3 400	130	3 270	110	3 160	—	3 170	кар.	0,4
Итого 5	1200	16 330	720	15 610	480	15 150	120	8 720		1,0
Среднее	240	3 266	144	3 122	96	30 30	40	2 907		0,2
										0,5
										0,5
										0,5
										0,6

Таблица 14

Сведения о ледниках южной экспозиции

№ ледника	Сведения о ледниках южной экспозиции									
	Общая площадь ледника, км ²	Площадь области аккумуляции, км ²	Площадь области аккумуляции, км ²	Площадь поверхности морены, км ²	Площадь конечной морены, км ²					
98	150	3 550	—	—	0,1	0,1	0,1	0,03	0,1	0,3
102	120	3 570	—	—	0,1	0,1	0,1	0	—	0,2
Итого 2	270	7 120	—	—	0,2	0,2	0,1	—	—	0,6
Среднее	135	3 560	—	—	0,1	0,1	0,1	0,01	0,01	0,2
										0,6
										0,2
										0,3

СОДЕРЖАНИЕ

ВЫПУСК 1, ЧАСТИ 3 И 5. ВЫПУСК 2, ЧАСТЬ 1

Предисловие	4
Деление Каталога ледников СССР на тома, выпуски и части	6
Список томов, выпусков и частей Каталога ледников СССР	6
Список принятых сокращений	8
Характеристика географического положения, морфологии, климатических условий и режима ледников	9
Схемы расположения ледников (рис. 12—14)	18

Основные таблицы Каталога ледников

Выпуск 1, часть 3. Бассейны рек Казыр, Кан

Таблица I. Основные сведения о ледниках бассейнов рек Казыра	22
Пояснения к таблице I	26
Таблица II. Список гидрометеорологических станций и постов в районе ледников	26
Таблица IV. Экспедиционные и стационарные исследования ледников	26
Таблица V. Список работ, содержащих сведения о ледниках	27

Выпуск 1, часть 5. Бассейн верховьев р. Енисея (выше устья р. Кемчик)

Таблица I. Основные сведения о ледниках	28
Пояснения к таблице I	30
Таблица II. Список гидрометеорологических станций и постов в районе ледников	30
Таблица IV. Экспедиционные и стационарные исследования ледников	30
Таблица V. Список работ, содержащих сведения о ледниках	30

Выпуск 2, часть 1. Бассейны верховьев рек Оки, Уды

Таблица I. Основные сведения о ледниках	32
Пояснения к таблице I	34
Таблица II. Список гидрометеорологических станций и постов в районе ледников	34
Таблица IV. Экспедиционные и стационарные исследования ледников	36
Таблица V. Список работ, содержащих сведения о ледниках	36

ВЫПУСК 1, ЧАСТЬ 4. БАССЕЙН р. КЕМЧИК

Предисловие	40
Характеристика географического положения, морфологии, климатических условий и режима ледников	41
Схемы расположения ледников (рис. 22—23)	47

Основные таблицы Каталога ледников

Таблица I. Основные сведения о ледниках	50
Пояснения к таблице I	54
Таблица II. Список гидрометеорологических станций и постов в районе ледников	56
Таблица V. Список работ, содержащих сведения о ледниках	56
Дополнительные материалы (табл. 9—14)	61

Каталог ледников СССР, т. 16 вып. 1, ч. 3—5, вып. 2, ч. 1

Редактор И. С. Якорь
Технический редактор А. Г. Алексеев
Корректор И. А. Каспарова

Сдано в набор 30/XI 1972 г. Подписано к печати 19/I 1973 г. М-11033.
Бум. тип. № 1, 60×90^{1/8}. Печ. л. 8. Уч.-изд. л. 7,45. Тираж 400 экз. Индекс ГЛ-139.
Зак. 659. Цена 59 коп. Гидрометеоиздат, Ленинград, В-53, 2-я линия, д. 23

Ленинградская типография № 8 «Союзполиграфпрома» при Государственном комитете
Совета Министров СССР по делам издательств, полиграфии и книжной торговли.
190000, Ленинград, Прачечный пер., 6